



Liberté
Égalité
Fraternité



ÉTUDE DES PLANS D'EAU DU PROGRAMME DE SURVEILLANCE
DES BASSINS RHÔNE-MÉDITERRANÉE ET CORSE –
LOT N°3 SUD
RAPPORT DE DONNEES BRUTES ET INTERPRETATION
Retenue de Vinça (66)

SUIVI ANNUEL 2024

Rapport n° 20-8343 – Vinça – Aout 2025

Sciences et Techniques de l'Environnement (S.T.E.)
Savoie Technolac – BP90374 –
17 Allée du Lac d'Aiguebelette
73372 Le Bourget-du-Lac cedex
Tel : 04-79-25-08-06 – site internet : ste-eau.com

STE
L'innovation
au service de l'eau

Fiche qualité du document

Agence de l'Eau Rhône Méditerranée Corse (AERMC)
DCP- Service Données Techniques
2-4, Allée de Lodz
69363 Lyon Cedex 07
Maître d'ouvrage
Interlocuteur : Mr IMBERT Loïc
Coordonnées : loic.imbert@eaurmfc.fr

Titre du projet Etude des plans d'eau du programme de surveillance des bassins Rhône-Méditerranée et Corse – Rapport de données brutes et interprétation – Retenue de Vinça (66)

Référence du document Rapport n°20-8342 Rapport Vinça 2024

Date Aout 2025

Auteur(s) S.T.E. Sciences et Techniques de l'Environnement

Contrôle qualité

Version	Rédigée par	Date	Visée par	Date
V0	Marthe Moiron, Audrey Péricat Sonia Baillot (phytoplancton)	28/07/2025	Audrey Péricat	06/08/2025
VF	Audrey Péricat	2/10/2025	Prise en compte des remarques de L. Imbert, courriel du 18/09/25.	

Thématique

Mots-clés Géographiques : Bassin Rhône-Méditerranée et Corse – Occitanie – Pyrénées Orientales - Vinça

Thématiques : Réseaux de surveillance – Etat trophique – Plan d'eau

Résumé Le rapport rend compte de l'ensemble des données collectées sur la retenue de Vinça lors des campagnes de suivi 2024. Une présentation du plan d'eau et du cadre d'intervention est menée puis les résultats des investigations sont développés dans la suite du document.

Diffusion

Nom	Organisme	Date	Format(s)
Loïc IMBERT	AERMC	07/10/2025	Informatique

Sommaire

1	Cadre du programme de suivi	8
2	Déroulement des investigations.....	10
2.1	Présentation du plan d'eau et localisation	10
2.2	Contenu du suivi 2024.....	11
2.3	Planning de réalisation.....	12
2.4	Étapes de la vie lacustre.....	13
2.5	Bilan climatique de l'année 2024.....	14
3	Rappel méthodologique	15
3.1	Investigations physicochimiques	15
3.1.1	Méthodologie	15
3.1.2	Programme analytique	17
3.2	Investigations hydrobiologiques	18
3.2.1	l'étude des peuplements phytoplanctoniques	18
3.2.2	Etude des peuplements invertébrés benthiques	20
4	Résultats des investigations	23
4.1	Investigations physicochimiques	23
4.1.1	Profils verticaux et évolutions saisonnières	23
4.1.2	Analyses physico-chimiques sur eau	26
4.1.3	Analyses des sédiments	30
4.2	Phytoplancton	34
4.2.1	Prélèvements intégrés	34
4.2.2	Listes floristiques	35
4.2.3	Evolutions saisonnières des groupements phytoplanctoniques	38
4.2.4	Indice Phytoplanctonique IPLAC.....	40
4.2.5	Comparaison avec les inventaires antérieurs.....	40
4.2.6	Bibliographie	40
4.3	Macroinvertébrés lacustres	41
4.3.1	Echantillonnage	41
4.3.2	Listes faunistiques.....	43
4.3.3	Interprétation et indices	44
4.3.4	comparaison avec les résultats antérieurs	45
5	Appréciation globale de la qualité du plan d'eau.....	46
6	Annexes	48
6.1	Annexe 1 : Liste des micropolluants analysés sur eau	49

6.2	Annexe 2 : Liste des micropolluants analysés sur sédiments	51
6.3	Annexe 3 : Comptes-rendus des campagnes physico-chimiques et phytoplanctoniques.....	61
6.4	Annexe 4 : Compte rendus campagne IML	63

Tables des illustrations

Carte 1 : Localisation du réservoir de Vinça (66).....	10
Carte 2 : Présentation du point de prélèvement.....	11
Carte 3 : Localisation des points de prélèvements IML sur la retenue de Vinça en 2024	42

Tableau 1 : Synoptique générique des investigations menées sur une année de suivi d'un plan d'eau	8
Tableau 2 : Liste des plans d'eau suivis sur le sud du bassin Rhône-Méditerranée et bassin Corse	9
Tableau 3 : Synoptique des interventions de terrain et de laboratoire sur le plan d'eau	12
Tableau 4 : Résultats des paramètres de minéralisation	26
Tableau 5 : Résultats des paramètres de physico-chimie classique sur eau.....	27
Tableau 6 : Résultats d'analyses de métaux sur eau.....	28
Tableau 7 : Résultats d'analyses de micropolluants organiques présents sur eau	29
Tableau 8 : Synthèse granulométrique sur le sédiment du point de plus grande profondeur.....	30
Tableau 9 : Analyse de sédiments	31
Tableau 10 : Résultats d'analyses de micropolluants minéraux sur sédiment	32
Tableau 11 : Résultats d'analyses de micropolluants organiques présents sur sédiment.....	33
Tableau 12 : Analyses des pigments chlorophylliens	34
Tableau 13 : Liste taxonomique du phytoplancton (en nombre de cellules/ml)	35
Tableau 14 : Liste taxonomique du phytoplancton (en mm ³ /l)	36
Tableau 15 : Evolution des Indices IPLAC depuis 2009.....	40
Tableau 16 : Recouvrements des substrats.....	41
Tableau 17 : Listes faunistiques du protocole IML sur la retenue de Vinça en 2024.....	43
Tableau 18 : Indices relatifs à l'IML sur la retenue de Vinça	44

Figure 1 : Moyennes mensuelles de température à la station de Perpignan - Rivesaltes (Infoclimat).....	14
Figure 2 : Cumuls mensuels de précipitations à la station de Perpignan – Rivesaltes (Infoclimat)	14
Figure 3 : Représentation schématique des différentes stratégies de comptage	18
Figure 4 : Seuils des classes d'état définis pour chaque métrique et pour l'IPLAC	19
Figure 5 : Echantillonnage IML sur la zone littorale d'un plan d'eau	21
Figure 6 : Profils verticaux de température au point de plus grande profondeur.....	23
Figure 7 : Profils verticaux de conductivité au point de plus grande profondeur.....	24
Figure 8 : Profils verticaux de pH au point de plus grande profondeur	24
Figure 9 : Profils verticaux d'oxygène (mg/l) au point de plus grande profondeur	25
Figure 10 : Profils verticaux d'oxygène (% sat.) au point de plus grande profondeur	25
Figure 11 : Profils verticaux de la teneur en chlorophylle <i>a</i>	26
Figure 12: Évolution de la transparence et de la zone euphotique lors des 4 campagnes	34
Figure 13 : Répartition du phytoplancton à partir des abondances (cellules/ml).....	38
Figure 14 : Evolution saisonnière des biovolumes des principaux groupes algaux de phytoplancton (en mm ³ /l).....	38
Figure 15 : Vue sur la retenue de Vinça lors des prélèvements IML	41

Figure 16 : à gauche : capsule céphalique de *Polypedilum* (x400), à droite : capsule céphalique de *Psectrocladius* (x400)..... 45

1 Cadre du programme de suivi

Dans le cadre de la mise en œuvre de la Directive Cadre européenne sur l'Eau (DCE), adoptée le 23 octobre 2000 et transposée en droit français le 21 avril 2004, un programme de surveillance a été mis en place au niveau national afin de suivre l'état écologique et l'état chimique des eaux douces de surface (cours d'eau et plans d'eau).

L'Agence de l'Eau Rhône Méditerranée Corse a en charge le suivi des plans d'eau faisant partie du programme de surveillance sur les bassins Rhône-Méditerranée et Corse.

Le suivi comprend la réalisation de prélèvements d'eau et de sédiments répartis sur quatre campagnes dans l'année pour analyse des paramètres physico-chimiques et des micropolluants. Différents compartiments biologiques sont étudiés (phytoplancton, macrophytes, diatomées, faune benthique). Le Tableau 1 synthétise les différentes mesures qui sont réalisées dans le cadre du suivi type (selon la nature des plans d'eau et les éléments déjà suivis antérieurement, le contenu du suivi n'englobera pas nécessairement l'ensemble des éléments listés dans le Tableau 1). Un suivi du peuplement piscicole doit également être réalisé dans le cadre du programme de surveillance sur certains types de plans d'eau.

Tableau 1 : Synoptique générique des investigations menées sur une année de suivi d'un plan d'eau

		Paramètres	Type de prélèvements/ Mesures	HIVER	PRINTEMPS	ETE	AUTOMNE	
Sur EAU	Mesures in situ	O2 dis. (mg/l, %sat.), pH, COND (25°C), T°, Matières organiques dissoutes fluorescentes, transparence	Profils verticaux	X	X	X	X	
		PO4, Ptot, NH4, NKJ, NO3, NO2, Corg, MEST, Turbidité, Si dissoute, Matières minérales en suspension	Intégré Ponctuel de fond	X	X	X	X	
	Physico-chimie classique et micropolluants	Micropolluants sur eau*	Intégré Ponctuel de fond	X	X	X	X	
		Chlorophylle a + phéopigments	Intégré Ponctuel de fond	X	X	X	X	
		Paramètres de Minéralisation	Ca ²⁺ , Na ⁺ , Mg ²⁺ , K ⁺ , dureté, TAC, SO ₄ ²⁻ , Cl ⁻ , HCO ₃ ⁻	Intégré Ponctuel de fond	X			
	Sur SEDIMENTS	Eau interst.: Physico-chimie	PO4, Ptot, NH4					
		Phase solide	Physico-chimie classique	Corg., Ptot, Norg, Granulométrie, perte au feu	Prélèvement au point de plus grande profondeur			
			Micropolluants	Micropolluants sur sédiments*	X			
HYDROBIOLOGIE et HYDROMORPHOLOGIE			Phytoplancton	Intégré - Norme XP T90-719 Protocole IRSTEA/Utermöhl	X	X	X	
			Invertébrés	Protocole Test - Université de Franche-Comté (Dedieu, Vemeaux)	X			
			Diatomées	Protocole IRSTEA		X		
			Macrophytes	Norme NF T 90-328		X		

* : se référer à l'arrêté modificatif "Surveillance" du 17 octobre 2018

RCS : un passage par plan de gestion pour le suivi complet (soit une fois tous les six ans / tous les trois ans pour le phytoplancton)

CO : un passage tous les trois ans

Poissons et hydromorphologie en charge de l'OFB (un passage tous les 6 ans)

Différents réseaux constituent le programme de surveillance. Parmi ceux-ci, deux réseaux sont actuellement mis en œuvre sur les plans d'eau :

- ✓ Le réseau de contrôle de surveillance (RCS) vise à donner une image globale de la qualité des eaux. Tous les plans d'eau naturels de superficie supérieure à 50 ha ont été pris en compte sur les bassins Rhône-Méditerranée et Corse. Pour les plans d'eau d'origine anthropique, une sélection a été opérée parmi les plans d'eau de superficie supérieure à 50 ha, afin de couvrir au mieux les différents types présents sur les bassins Rhône-Méditerranée et Corse (grandes retenues, plans d'eau de digue, plans d'eau de creusement).
- ✓ Le contrôle opérationnel (CO) vise à suivre spécifiquement les plans d'eau (naturels ou anthropiques) de superficie supérieure à 50 ha qui risquent de ne pas atteindre leurs objectifs environnementaux (le bon état ou le bon potentiel).

Au total, 73 plans d'eau sont suivis sur les bassins Rhône-Méditerranée et Corse dans le cadre de ces deux réseaux.

La liste des plans d'eau suivis en 2024 pour le sud du bassin Rhône-Méditerranée et le bassin Corse, précisant pour chaque plan d'eau le réseau qui le concerne, est fournie dans le Tableau 2.

Tableau 2 : Liste des plans d'eau suivis sur le sud du bassin Rhône-Méditerranée et bassin Corse

Code lac	Libellé	Origine	Dept	Réseaux	Type de suivi réalisé
Y0405263	Bouillouses	MEFM	66	RCS	Phytoplancton
Y7615003	Codore	MEFM	2B	RCS/CO	Classique
Y9905043	Figari	MEFM	2A	RCS	Classique
Y2505003	Avène	MEFM	34	CO	Classique
Y1355003	Laprade basse	MEFM	11	CO	Classique
V5045103	Puylaurent	MEA	48	CO	Classique
V5045003	Villefort	MEA	48	CO	Classique
Y0305003	Villeneuve de la raho	MEA	66	CO	Macroinvertébrés
Y0455043	Vinça	MEFM	66	CO	Classique
Y4125003	Réaltor ²	MEA	13	CO	Classique

² échantillonnages invertébrés, diatomées et macrophytes réalisés par l'OFB PACA

MEFM : masses d'eau fortement modifiée

MEA : masses d'eau artificielle

RCS : réseau de contrôle de surveillance

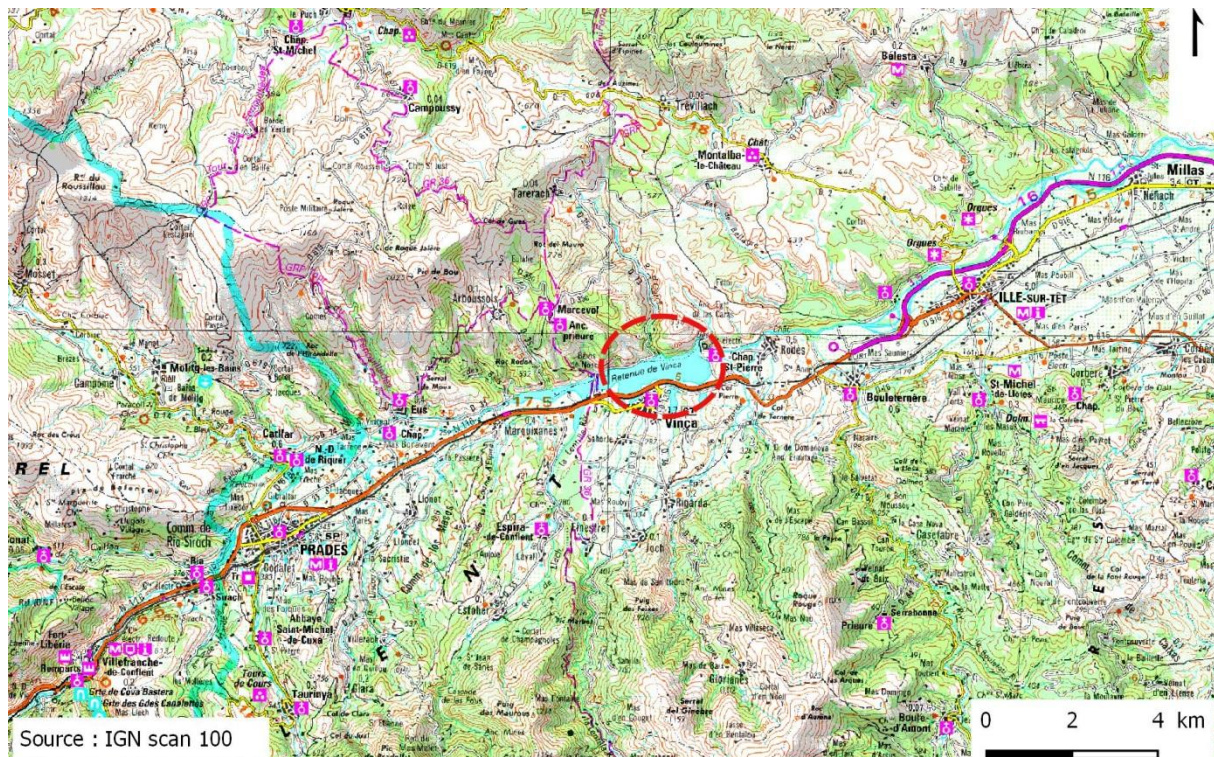
CO : contrôle opérationnel

2 Déroulement des investigations

2.1 Présentation du plan d'eau et localisation

La retenue de Vinça est située à une altitude de 244 m, dans le département des Pyrénées-Orientales (66), à environ 30 km à l'Ouest de Perpignan. Elle est formée par un barrage sur la Têt atteignant 55 m de haut, dont la construction s'est achevée en 1976.

Le plan d'eau formé est de taille relativement importante avec 155 ha pour un volume de 24,6 millions de m³ en Cote Normale d'Exploitation. Quasi orienté Est-Ouest, le plan d'eau s'étend sur environ 4 km de long et reçoit les eaux de la Têt et de quelques affluents se jetant dans la retenue (petits ruisseaux secondaires). Son temps de séjour théorique est de 32 jours environ. La Têt présente des fluctuations saisonnières typiques d'un régime à dominante nivale avec une période d'importantes crues au printemps et une période de basses eaux en été.

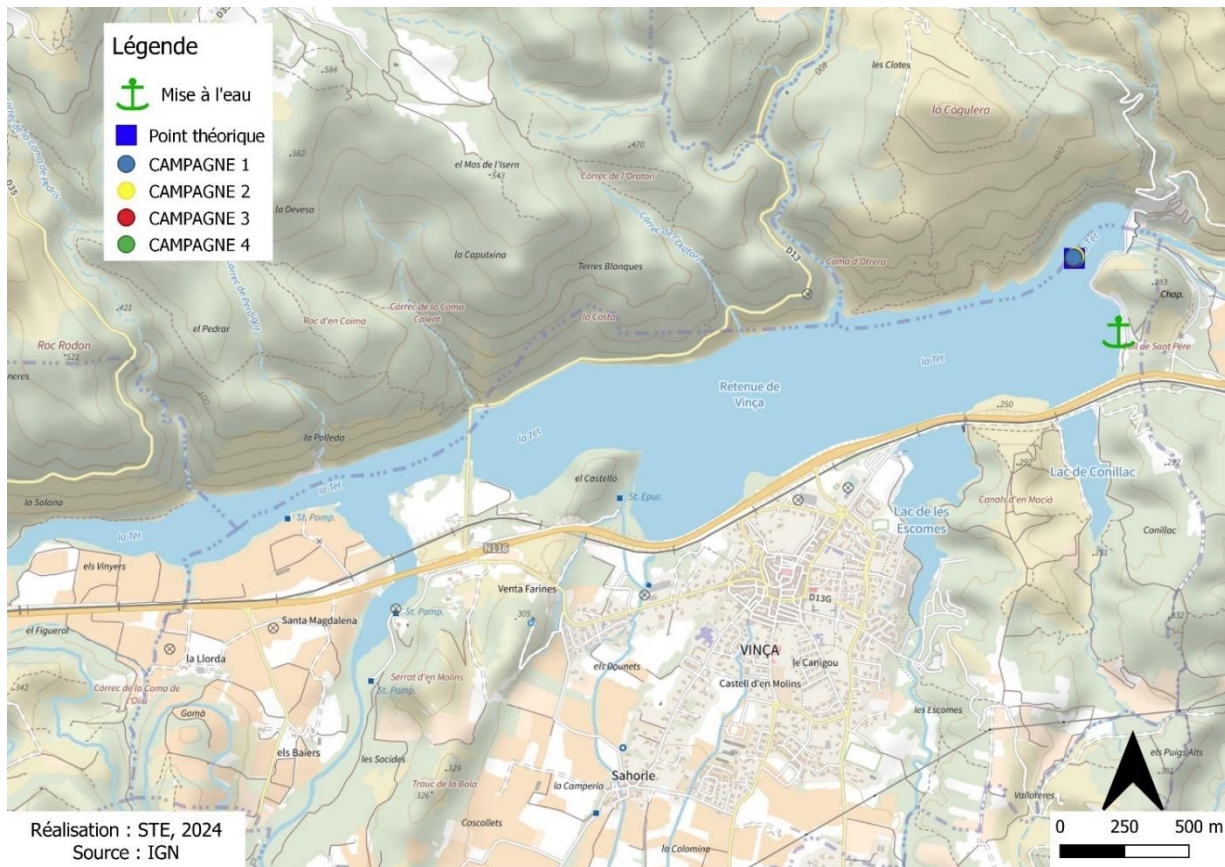


Carte 1 : Localisation du réservoir de Vinça (66)

La cote du plan d'eau varie de façon saisonnière entre 218 et 247 m NGF en fonction des apports pluviométriques et de la gestion du barrage, qui est fonction des besoins en eau. Globalement, le remplissage s'effectue en automne puis au printemps, périodes de hautes eaux. En été, les apports sont réduits, et c'est à cette période que la demande en eau est la plus forte pour l'irrigation. Le plan d'eau est donc abaissé à partir de juin-juillet et ce, jusqu'en octobre.

La retenue de Vinça est gérée par la Compagnie du Bas Rhône Languedoc (BRL), le Conseil Général des Pyrénées-Orientales en étant le propriétaire. Le barrage répond à 2 fonctions principales qui sont de stocker l'eau nécessaire à la satisfaction des besoins estivaux, et d'assurer l'écrêtage des crues. Aucune activité nautique n'y est pratiquée, mais la pêche y est autorisée.

La zone de plus grande profondeur se situe à proximité du barrage dans le chenal central. Le point de plus grande profondeur atteint 33 m pour cette année 2024 (Carte 2). Le marnage maximal enregistré en 2024 était très important : 18 m le 25 septembre.



Carte 2 : Présentation du point de prélèvement

Le lac de Vinça est monomictique, c'est-à-dire qu'il s'agit d'un plan d'eau présentant une seule phase de stratification annuelle en période estivale.

2.2 Contenu du suivi 2024

La retenue de Vinça est suivie au titre du Contrôle Opérationnel (CO). Les précédents suivis ont eu lieu en 2021, 2018, 2015, 2012 et 2009 (suivis complets).

La retenue de Vinça présente les pressions suivantes à l'origine du risque de non atteinte des objectifs environnementaux fixés par la DCE :

- Pollutions par les nutriments agricoles ;
- Pollutions par les nutriments urbains et industriels ;
- Altération du régime hydrologique.

Les compartiments biologiques ont été suivis à travers l'étude des peuplements phytoplanctoniques (IPLAC) et par l'étude de la faune macroinvertébrés lacustre (IML). Les autres éléments de qualité biologiques (Macrophytes, Diatomées) sont considérés comme non pertinents à suivre sur cette typologie de plans d'eau selon l'arrêté de « Surveillance » modificatif du 26 avril 2022.

2.3 Planning de réalisation

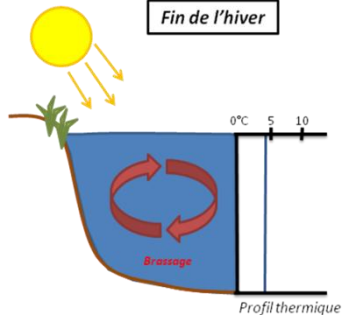
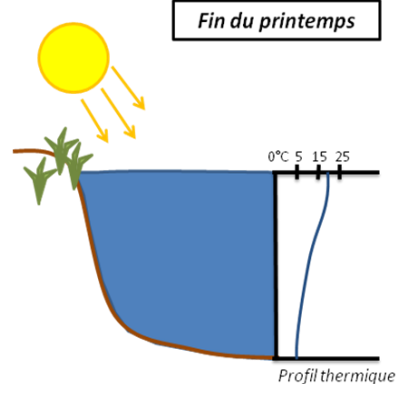
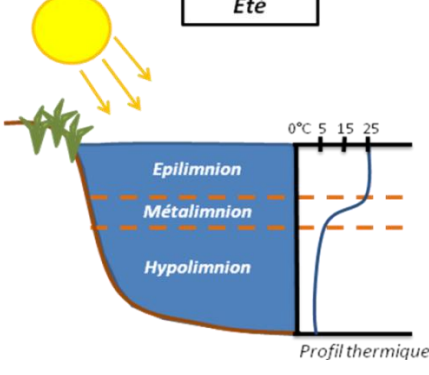
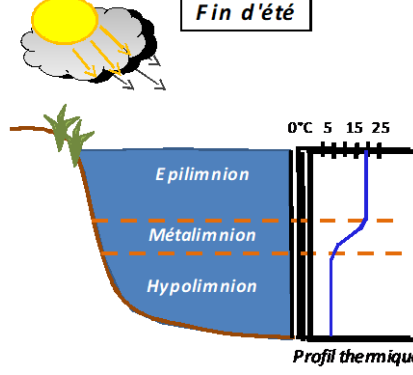
Le tableau ci-dessous indique la répartition des missions aussi bien en phase terrain qu'en phase laboratoire/détermination. S.T.E. a, en outre, eu en charge de coordonner la mission et de collecter l'ensemble des données pour établir les rapports et mener l'exploitation des données.

Tableau 3 : Synoptique des interventions de terrain et de laboratoire sur le plan d'eau

Retenue de Vinça	Phase terrain					Laboratoire - détermination
	C1	C2	Biologie IML	C3	C4	
Campagne						
Date	19/03/2024	13/05/2024	28/05/2024	30/07/2024	25/09/2024	Automne/hiver 2024-2025
Physicochimie des eaux	S.T.E.	S.T.E.		S.T.E.	S.T.E.	CARSO
Physicochimie des sédiments					S.T.E.	TERANA 26
Phytoplancton	S.T.E.	S.T.E.		S.T.E.	S.T.E.	LEMNA
Indice macroinvertébrés lacustres (IML)			S.T.E.			S.T.E. - ECOMA

2.4 Étapes de la vie lacustre

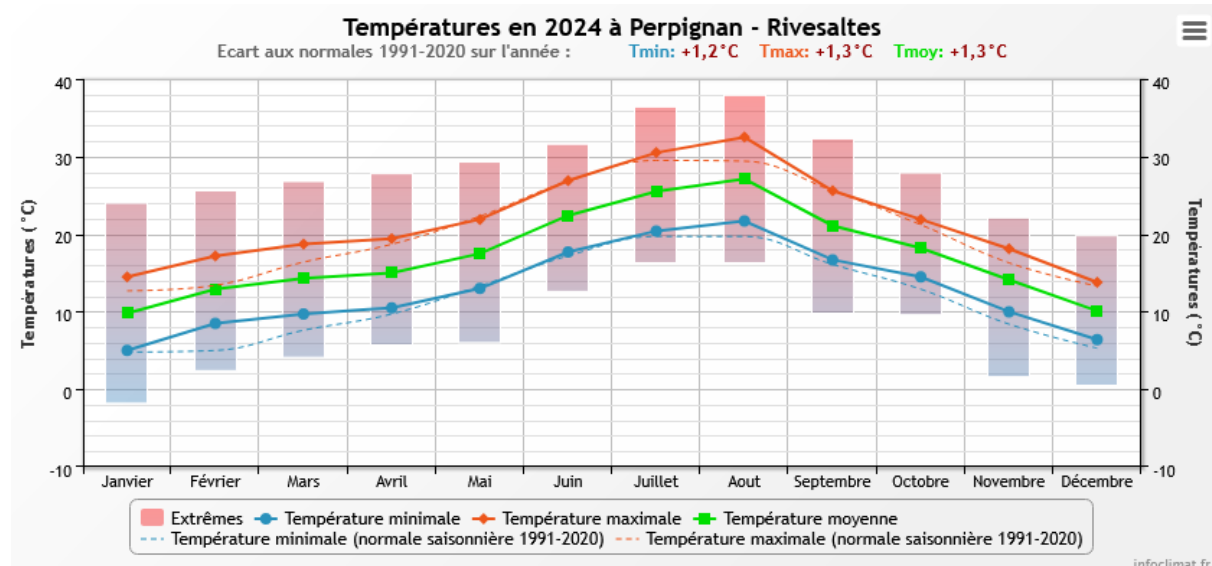
Les investigations physicochimiques ont été réalisées lors de quatre campagnes qui correspondent aux différentes étapes de développement de la vie lacustre.

<p>Campagne 1</p> <p>La première campagne correspond à la phase d'homothermie du plan d'eau. La masse d'eau est homogène (en température et en oxygène). Sur les lacs monomictiques, cette phase intervient en hiver. La campagne est donc réalisée en fin d'hiver avant que l'activité biologique ne débute (février-mars).</p>	 <p>Fin de l'hiver</p> <p>0°C 5 10</p> <p>Brassage</p> <p>Profil thermique</p>
<p>Campagne 2</p> <p>La seconde campagne correspond à la période de démarrage et de développement de l'activité biologique des lacs. Il s'agit de la période de mise en place de la stratification thermique conditionnée par le réchauffement. Cette campagne correspond à la phase printanière de croissance du phytoplancton. La campagne est donc généralement réalisée durant les mois de mai à juin.</p>	 <p>Fin du printemps</p> <p>0°C 5 15 25</p> <p>Profil thermique</p>
<p>Campagne 3</p> <p>La troisième campagne correspond à la période de stratification maximum du plan d'eau avec une thermocline bien installée avec une 2^{ème} phase de croissance du phytoplancton. Cette phase intervient en période estivale. La campagne est donc réalisée durant les mois de juillet à août, lorsque l'activité biologique est généralement maximale.</p>	 <p>Eté</p> <p>Epilimnion</p> <p>Méetalimnion</p> <p>Hypolimnion</p> <p>0°C 5 15 25</p> <p>Profil thermique</p>
<p>Campagne 4</p> <p>La quatrième campagne correspond à la fin de la stratification estivale du plan d'eau. Elle intervient avant la baisse de la température et la disparition de la thermocline. L'épilimnion présente alors son épaisseur maximale. Cette phase intervient en fin d'été : la campagne est donc réalisée durant le mois de septembre voire début octobre selon l'altitude du plan d'eau et le climat de l'année.</p>	 <p>Fin d'été</p> <p>0°C 5 15 25</p> <p>Epilimnion</p> <p>Méetalimnion</p> <p>Hypolimnion</p> <p>Profil thermique</p>

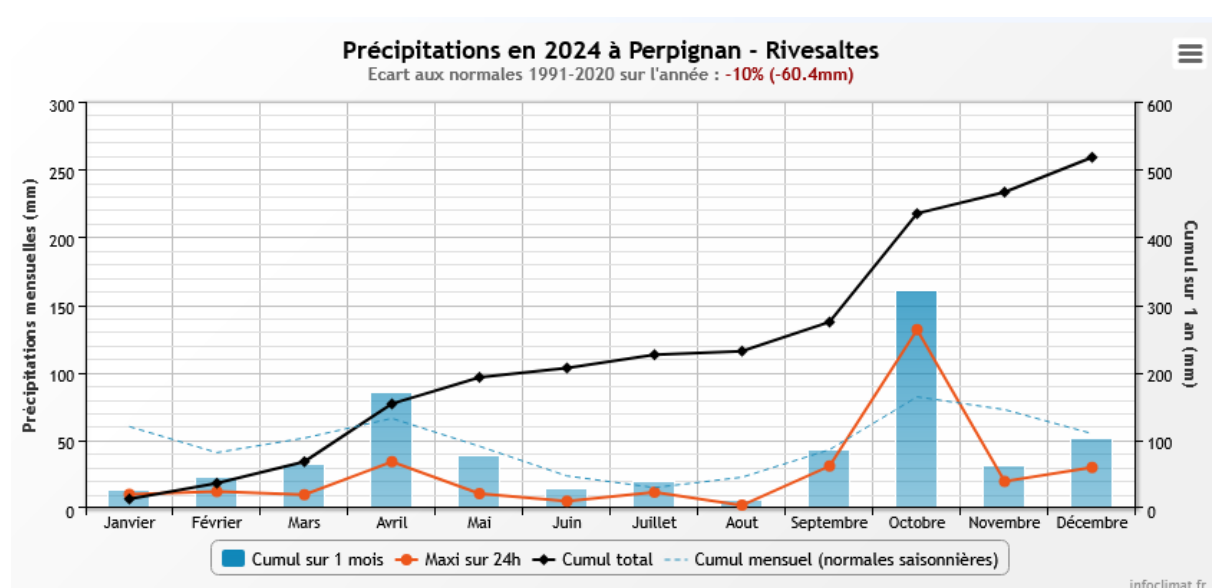
2.5 Bilan climatique de l'année 2024

Les conditions climatiques de l'année 2024 pour le lac de Vinça sont analysées à partir de la station météorologique de Perpignan-Rivesaltes (42 m NGF), située au pied des Pyrénées à 30 km à l'Est de la retenue de Vinça. La station se trouve à l'extrémité aval de la vallée de la Têt.

L'année 2024 a été chaude, avec une température moyenne de 17.3°C, soit +1.3°C par rapport aux normales saisonnières. Les températures pour l'année 2024 sont conformes sur le printemps et l'automne, en revanche, elles sont très élevées sur l'hiver et au mois d'août (27.1°C en T° moyenne)



Le cumul de précipitations en 2024 est de 518 mm, soit légèrement déficitaire (-10%) par rapport aux normales saisonnières. Elles sont cependant très irrégulières avec un cumul très important en octobre (160 mm) tandis que la pluviométrie a été quasi nulle en janvier, juin et aout. Ces données sont présentées sur la Figure 2.



Il ressort les éléments suivants :

- Très forts cumuls en octobre avec un épisode de crue majeur ;

- L'été et l'hiver ont été très sec avec des cumuls inférieurs à 30 mm en juin, juillet et aout.

L'année 2024 a été chaude et peu pluvieuse sur le 1^{er} semestre. Les apports en eau sont déficitaires sur les Pyrénées-Orientales depuis plusieurs années.

3 Rappel méthodologique

3.1 Investigations physicochimiques

3.1.1 METHODOLOGIE

Le contenu des investigations physicochimiques est similaire sur les quatre campagnes réalisées.

Le profil vertical et les prélèvements sont réalisés dans le secteur de plus grande profondeur que l'on recherche à partir des données collectées au préalable (fiche station fournie par l'Agence de l'Eau, bathymétrie, étude, communication avec les gestionnaires). Dans le cas des retenues, cette zone se situe en général à proximité du barrage dans le chenal central. Sur le terrain, la recherche du point de plus grande profondeur est menée à l'aide d'un échosondeur.

Au point de plus grande profondeur, sont effectués, dans l'ordre :

- a) **une mesure de transparence** au disque de Secchi, avec lecture côté "ombre" du bateau pour une parfaite acuité visuelle. Chacun des deux opérateurs fait la lecture en aveugle (1^{ère} lecture non indiquée au 2^{ème} lecteur).
- b) **un profil vertical** de température (°C), conductivité ($\mu\text{S}/\text{cm}$ à 25°C), pH (u. pH) et oxygène dissous (% sat. et mg/l). Il est réalisé à l'aide de 2 sondes multiparamètres OTT MS5 et EXO qui peuvent effectuer des mesures jusqu'à 200 m de profondeur : les sondes MS1 et MS2 disposant d'une mémoire interne pouvant être programmée pour enregistrer les données à une fréquence de temps définie préalablement (5 secondes). Les sondes sont équipées d'un capteur de pression permettant d'enregistrer la profondeur de la mesure. Les deux sondes sont descendues en parallèle sur la colonne d'eau pour le recueil du profil vertical.

Un profil vertical du paramètre Chlorophylle a est également mené lors de toutes les campagnes à l'aide d'une sonde EXO.

c) **deux prélèvements pour analyses physicochimiques :**

- **l'échantillon intégré** est en général constitué de prélèvements ponctuels tous les mètres¹ sur la zone euphotique (soit 2,5 fois la transparence) ; ces prélèvements unitaires, de même volume, sont réalisés à l'aide d'une bouteille Kemmerer 1,2 L (téflon) et disposés, pour conditionner les échantillons dans une cuve en inox de 25 L équipée d'un robinet inox. Pour les analyses physicochimiques (uniquement micropolluants minéraux et organiques), 10 litres sont nécessaires. Une fois l'échantillon finalisé, le conditionnement est réalisé en respectant l'ensemble des prescriptions du laboratoire.

¹ Compte tenu de la transparence Tr. de certains plans d'eau, exprimable en plusieurs mètres, la règle du Tr. x 2,5 a parfois conduit à une valeur calculée supérieure à la profondeur du plan d'eau. Dans ces cas, le prélèvement a été arrêté à 1 m du fond, pour éviter le prélèvement d'eau de contact avec le sédiment, qui peut, selon les cas, présenter des caractéristiques spécifiques. Inversement, lorsque la transparence est très faible, amenant à une épaisseur de zone euphotique d'à peine quelques mètres, les prélèvements peuvent être resserrés à un pas moindre que 1 m (par exemple : tous les 50 cm).

- **l'échantillon ponctuel de fond** est prélevé à environ 2 m du fond, pour éviter la mise en suspension des sédiments. Les prélèvements sont réalisés à l'aide d'une bouteille Niskin X *General Oceanics* téflonnée (2,5 L ou 5,3 L) et disposés dans une cuve en inox de 25 litres et équipée d'un robinet inox pour conditionner les échantillons. Pour les analyses physicochimiques (physico-chimie classique, micropolluants minéraux et organiques), 15 litres sont nécessaires. Une fois l'échantillon finalisé, le conditionnement est réalisé en respectant l'ensemble des prescriptions du laboratoire.

Pour chaque échantillon, le laboratoire CARSO fournit une glacière avec les flaconnages préalablement étiquetés adaptés aux analyses demandées par l'Agence de l'Eau RM&C.

Les échantillons sont conservés dans une enceinte isolée au contact de blocs réfrigérants, puis envoyés par transporteur TNT pour un acheminement au laboratoire CARSO dans un délai de 24h, sauf cas particuliers.

d) un prélèvement intégré destiné à l'analyse du phytoplancton et de la chlorophylle et aux analyses de physico-chimie classique :

Les prélèvements doivent être obligatoirement intégrateurs de la colonne d'eau correspondant à la zone euphotique. Pour les analyses, 7 litres sont nécessaires. Ainsi, selon la profondeur de la zone euphotique, plusieurs matériels peuvent être utilisés, l'objectif étant de limiter les aliquotes, et donc les manipulations afin que l'échantillon soit le plus homogène possible :

- ✓ le tuyau intégrateur (système décrit dans le protocole de l'IRSTEA) est adaptable pour toute profondeur, le volume échantillonné dépend du diamètre du tuyau. S.T.E. a mis au point 2 tuyaux : l'un de 5 ou 9 m de diamètre élevé (\varnothing 18 mm) pour les zones euphotiques réduites, et l'autre de 30 m (\varnothing 14 mm) pour les transparencies élevées.

Depuis 2022, la filtration de la chlorophylle n'est plus effectuée sur le terrain par S.T.E. Un flacon de 1L blanc opaque est envoyé au laboratoire d'analyses qui réalise la filtration directement au laboratoire.

Pour l'analyse du phytoplancton, 2 échantillons sont réalisés dans des flacons blancs opaques en PP de 250 ml dûment étiquetés (nom du lac, date, préleur, campagne). Un volume connu de lugol (3 à 5 ml) est ajouté pour fixation. Les échantillons sont conservés au réfrigérateur. Un des deux échantillons est ensuite transmis au bureau d'études LEMNA en charge de la détermination et du comptage du phytoplancton. L'autre échantillon est conservé dans les locaux de S.T.E. dans le cadre du contrôle qualité.

Pour les analyses de physico-chimie classique, le laboratoire CARSO fournit une glacière avec les flaconnages préalablement étiquetés adaptés aux analyses demandées par l'Agence de l'Eau RM&C.

Les échantillons sont conservés dans une enceinte isolée au contact de blocs réfrigérants, puis envoyés par transporteur TNT pour un acheminement au laboratoire CARSO dans un délai de 24h, sauf cas particuliers.

e) un prélèvement de sédiment :

Ce type de prélèvement n'est réalisé que lors d'une seule campagne, celle de fin d'été (septembre), susceptible de représenter la phase la plus critique pour ce compartiment. Le prélèvement de sédiments est réalisé impérativement **après** les prélèvements d'eau afin

d'éviter tout risque de mise en suspension de particules du sédiment lors de son échantillonnage, et donc de contamination du prélèvement d'eau (surtout celui du fond).

Il est réalisé par une série de prélèvements à la benne Ekman. Au vu de sa taille et de la fraction ramenée par ce type de benne (en forme de secteur angulaire), de 2 à 5 prélèvements sont réalisés pour ramener une surface de l'ordre de 1/10 m². La structure du sédiment est observée sur chacun des échantillons dans le double but de :

- ✓ description (couleur, odeur, aspect, granulométrie...) ;
- ✓ sélection de la seule tranche superficielle (environ 2-3 premiers cm) destinée à l'analyse.

Pour chaque échantillon, le laboratoire TERANA 26 fournit une glacière avec le flaconnage adapté aux analyses demandées par l'Agence de l'Eau RM&C. Les échantillons sont conservés dans une enceinte isolée au contact de blocs réfrigérants, puis envoyés par transporteur Chronopost pour un acheminement au Laboratoire de la Drôme (TERANA 26) dans un délai de 24h, sauf cas particuliers.

3.1.2 PROGRAMME ANALYTIQUE

Concernant les analyses, les paramètres suivants sont mesurés :

- ✓ sur le prélèvement intégré destiné aux analyses de physico-chimie classique et de la chlorophylle :
 - turbidité, MES, COD, DBO₅, DCO, PO₄³⁻, Ptot, NH₄⁺, NKJ, NO₃⁻, NO₂⁻, silicates ;
 - chlorophylle *a* et indice phéopigments ;
 - dureté, TAC, HCO₃⁻, Ca⁺⁺, Mg⁺⁺, Na⁺, K⁺, Cl⁻, SO₄²⁻, F⁻ ;
- ✓ sur le prélèvement intégré destiné aux analyses de micropolluants minéraux et organiques :
 - micropolluants minéraux et organiques : liste des substances fournie en annexe I.
- ✓ sur le prélèvement de fond :
 - turbidité, MES, COD, DBO₅, DCO, PO₄³⁻, Ptot, NH₄⁺, NKJ, NO₃⁻, NO₂⁻, silicates ;
 - micropolluants minéraux et organiques : liste des substances fournie en annexe I.

Les paramètres analysés sur les sédiments prélevés lors de la 4ème campagne sont les suivants :

- ✓ sur la phase solide (fraction < 2 mm) :
 - granulométrie ;
 - matières sèches minérales, perte au feu, matières sèches totales ;
 - carbone organique ;
 - phosphore total ;
 - azote Kjeldahl ;
 - micropolluants minéraux et organiques : liste des substances fournie en annexe II.
- ✓ Sur l'eau interstitielle :
 - orthophosphates ;
 - phosphore total ;
 - ammonium.

3.2 Investigations hydrobiologiques

Les investigations hydrobiologiques menées en 2024 comprennent :

- ✓ l'étude des peuplements phytoplanctoniques à partir de la norme XP T 90-719, « Échantillonnage du phytoplancton dans les eaux intérieures » pour la phase d'échantillonnage. Pour la partie détermination, on se réfère à la Norme guide pour le dénombrement du phytoplancton par microscopie inversée (norme NF EN 15204, décembre 2006), correspondant à la méthode d'Utermöhl, et suivant les spécifications particulières décrites au chapitre 5 du « Protocole standardisé d'échantillonnage, de conservation, d'observation et de dénombrement du phytoplancton en plan pour la mise en œuvre de la DCE » - Version 3.3.1, septembre 2009 ;
- ✓ l'étude du peuplement invertébré à partir du protocole mis au point par l'Université de Franche-Comté (N. Dedieu – V. Verneaux, Avril 2022) : « Indice Macroinvertébrés Lacustres (IML), GUIDE TECHNIQUE, Notice d'application et de calcul».

3.2.1 L'ETUDE DES PEUPLEMENTS PHYTOPLANCTONIQUES

3.2.1.1 *Prélèvement des échantillons*

Les prélèvements ont été effectués par S.T.E. lors des campagnes de prélèvements pour analyses physico-chimiques. La détermination a été réalisée par Sonia Baillot du bureau d'études LEMNA, spécialiste en systématique et écologie des algues d'eau douce. Les prélèvements ont été réalisés selon la méthodologie présentée au point d) du §3.1.1 « Méthodologie » du présent chapitre « Rappel méthodologique ».

3.2.1.2 *Détermination des taxons*

La détermination est faite au microscope inversé, à l'espèce dans la mesure du possible.

À noter : la systématique du phytoplancton est en perpétuelle évolution, les références bibliographiques se confortent ou se complètent, mais s'opposent quelquefois. Il est donc important de rappeler qu'il vaut mieux une bonne détermination à un niveau taxonomique moindre qu'une mauvaise à un niveau supérieur (Laplace-Treyture et al., 2009).

L'analyse quantitative implique l'identification et le dénombrement des taxons observés dans une surface connue de la chambre de comptage. Selon la concentration en algues décroissante, le comptage peut être réalisé de trois manières différentes (Figure 3- S.Baillot, 2013).

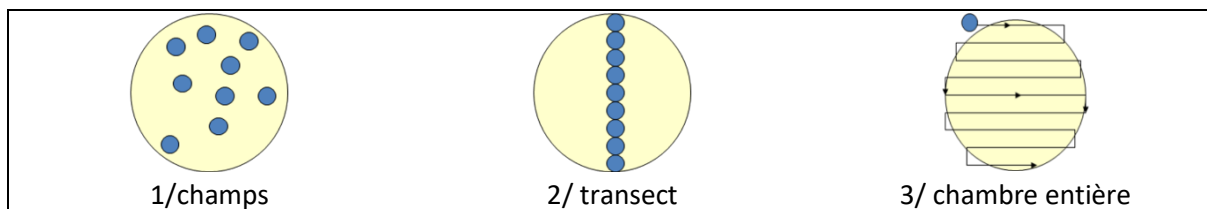


Figure 3 : Représentation schématique des différentes stratégies de comptage

Le comptage est réalisé en balayant des champs strictement aléatoires, ou des transects, ou la chambre entière jusqu'à atteindre 400 individus algues. La stratégie de comptage utilisée est fonction de la concentration des algues.

Différentes règles de comptage sont appliquées, en respect des échanges inter-opérateurs issus des réunions d'harmonisation phytoplancton INRA 2015-2016. Il est entendu que :

- ✓ tout filament, colonie, ou cœnobe, compte pour un individu algal à X cellules. Le nombre de cellules présentes dans le champ et par individu est dénombré (cellules/individus algaux) ;
- ✓ seules les cellules contenant un plastique (excepté pour les cyanobactéries et chrysophycées à logettes) sont comptées. Les cellules vides des colonies, des cœnobes, des filaments ou des diatomées ne sont pas dénombrées ;
- ✓ les logettes des chrysophycées (ex : *Dinobryon*, *Kephyrion*,...) sont dénombrées même si elles sont vides, les cellules de flagellés isolées ne sont pas dénombrées ;
- ✓ pour les diatomées, en cas de difficulté d'identification et de fortes abondances (supérieures à 20% de l'abondance totale), une préparation entre lame et lamelle selon le mode préparatoire décrit par la norme NF T 90-354 (AFNOR) est effectuée.

3.2.1.3 Traitement des données

Les résultats sont exprimés en nombre de cellules par millilitre. Ils sont également exprimés en biovolume (mm³/l), ce qui reflète l'occupation des différentes espèces. En effet, les espèces de petite taille n'occupent pas un même volume que les espèces de grandes tailles. Les biovolumes sont obtenus de trois manières :

- ✓ grâce aux données proposées par le logiciel Phytobs (version 3.2.3), d'aide au dénombrement ;
- ✓ si les données sont absentes, les mesures sur 30 individus lors de l'observation au microscope sont employées pour calculer un biovolume robuste ;
- ✓ si l'ensemble des dimensions utiles au calcul n'est pas observé, les données complémentaires issues de la bibliographie sont employées.

Le comptage terminé, la liste bancarisée dans l'outil de comptage PHYTOBS est exportée au format .xls ou .csv. Cet outil permet de présenter des résultats complets.

Le calcul de l'indice Phytoplancton lacustre ou IPLAC est réalisé à l'aide du Système d'Évaluation de l'État des Eaux (SEEE). Il s'appuie sur 2 métriques :

- ✓ la Métrique de biomasse algale ou MBA est basée sur la concentration moyenne de la chlorophylle a sur la période de végétation ;
- ✓ la Métrique de Composition Spécifique ou MCS exprime une note en fonction de la présence (exprimée en biovolume) de taxons indicateurs, figurant dans une liste de référence de 165 taxons (SEEE 1.1.0). À chaque taxon correspond une cote spécifique et une note de sténoécie, représentant l'amplitude écologique du taxon. La note finale est obtenue en mesurant l'écart avec la valeur prédictive en condition de référence.

La note IPLAC résulte de l'agrégation par somme pondérée de ces deux métriques.

Valeurs de limite	Classe
[1 - 0.8]	Très bon
[0.8 - 0.6]	Bon
[0.6 - 0.4]	Moyen
[0.4 - 0.2]	Médiocre
[0.2 - 0]	Mauvais

Figure 4 : Seuils des classes d'état définis pour chaque métrique et pour l'IPLAC

L'interprétation des caractéristiques écologiques du peuplement permet d'établir si une dégradation de la note indicielle peut être expliquée par la présence de taxons polluotolérants ou favorisés par une abondance de nutriments liée à l'eutrophisation du milieu, ou être liée au fonctionnement du milieu (stratification, anoxie,...).

L'utilisation de la bibliographie et des groupes morpho-fonctionnels permet d'affiner notre analyse et d'évaluer la robustesse de la note IPLAC obtenue.

3.2.2 ETUDE DES PEUPLEMENTS INVERTEBRES BENTHIQUES

Le peuplement invertébré fait l'objet d'un protocole d'échantillonnage mis au point par l'Université de Franche-Comté (N. Dedieu – V. Verneaux, Avril 2022) : « Indice Macroinvertébrés Lacustres (IML), GUIDE TECHNIQUE, Notice d'application et de calcul ».

Ce protocole doit permettre d'étudier les pressions physiques et chimiques subies par les populations invertébrées peuplant les littoraux. Un indice de qualité est calculé : l'Indice Macroinvertébrés Lacustres (IML).

Afin de récolter le maximum de taxons, la période d'échantillonnage est celle qui précède les émergences des imagos d'insectes, c'est-à-dire avant le réchauffement printanier des eaux. Cette période est à adapter à la situation géographique des hydrosystèmes et aux conditions climatiques. Elle peut donc s'étaler de fin mars à début juillet. Pour les plans d'eau marnants, il faut combiner cette période à celle où le plan d'eau atteint une cote stabilisée depuis au moins 15 jours.

L'étude des peuplements invertébrés a été réalisée par S.T.E. pour la partie prélèvements et conjointement avec le laboratoire ECOMA pour la partie analyse-détermination.

3.2.2.1 Sélection des points d'échantillonnages

15 points sont à échantillonner pour la réalisation du protocole IML. La sélection des points se base sur le travail de description des habitats réalisés par l'OFB lors de l'étude menée sur les conditions morphologiques du plan d'eau (protocole CHARLI : Caractérisation des Habitats des Rives et du Littoral des plans d'eau). Une base de données « CHARLI » intègre ces informations et est disponible auprès de l'INRAE – pôle ECLA.

Les recouvrements des substrats littoraux sont connus et peuvent donc servir à établir un plan d'échantillonnage pour les prélèvements IML. Seuls les substrats dont le recouvrement dépasse 5% sont pris en compte. Les pourcentages de recouvrement des substrats sélectionnés sont ramenés à 100%. Enfin le nombre d'échantillons à prélever sur chaque substrat est défini par la formule suivante :

$$n = \frac{\% \text{rec}}{100} \times 15$$

avec n = nombre d'échantillon à prélever sur le substrat

%rec = pourcentage de recouvrement des substrats sélectionnés (>5%)

Les 15 points sont ensuite placés sur une carte selon les règles du protocole : par exemple les zones de baignade ou de travaux sont évitées et les zones les plus représentatives pour chaque substrat sont privilégiées afin d'obtenir un échantillon homogène. Les coordonnées des points ainsi placés sont exportées sur la fiche terrain ou directement sur le GPS terrain pour s'orienter rapidement une fois sur le lac.

3.2.2.2 Phase de prélèvements

Les prélèvements s'effectuent à l'aide d'une embarcation et d'un troubleau équipé d'un filet de maille 300 µm. Les opérateurs se repèrent sur le lac grâce à un GPS de terrain et la carte de localisation des points d'échantillonnages préalablement établie.

Seule la zone littorale située hors de l'influence du batillage est visée. Les prélèvements doivent donc être effectués dans une bande d'une largeur limitée à 10 m de la berge et à des profondeurs comprises entre 50 cm et 1 m (Figure 6). La méthode consiste à ramener par des mouvements de va et vient une partie du substrat dans le filet. L'opérateur peut rester dans l'embarcation ou en descendre pour plus de stabilité selon la configuration du littoral. Au moins 3 balayages sont réalisés sur chaque point sur une longueur de 40 cm afin d'atteindre une surface de prélèvement de 0.1m² (largeur troubleau= 25cm x longueur balayage 40 cm). Le premier passage met en suspension la faune et les suivants permettent de la récolter. Il est demandé de prélever un volume maximum de 1L.



Figure 5 : Echantillonnage IML sur la zone littorale d'un plan d'eau

Une fois la faune et le substrat collectés, les opérateurs nettoient et retirent les éléments les plus grossiers afin de préserver l'échantillon pendant le transport et la conservation (risque d'endommagement des invertébrés). Chaque échantillon est ensuite conditionné séparément dans un flacon identifié de manière non équivoque et conservé à l'alcool 95%.

Une fiche terrain est renseignée avec les substrats effectivement prélevés, leur profondeur, les coordonnées précises des points d'échantillonnages et toutes les informations nécessaires à l'interprétation des résultats (conditions hydrologiques, problèmes rencontrés, ...).

3.2.2.3 Phase laboratoire

Le traitement des échantillons au laboratoire s'apparente à celui préconisé par la norme NF T 90-388 destinée aux échantillons d'invertébrés prélevés en rivières. Il s'agit de séparer la faune du substrat (tri) et d'identifier au niveau taxonomique requis les larves et imagos collectés (détermination) à l'aide de tamis, pinces, loupe et stéréomicroscope.

A la différence de la norme NF T 90-388, certains taxons comme les oligochètes et hydracariens ne sont pas pris en compte. La détermination des larves de *Chironomidae* est également plus poussée : le niveau requis pour la norme en rivières est la famille alors que le protocole mis en œuvre en plan d'eau va jusqu'au genre. Cette détermination générique étant basée essentiellement sur l'observation des caractéristiques de la capsule céphalique des chironomes, elle requiert l'utilisation d'un microscope avec montage de chaque individu entre lame et lamelle après un pré-traitement des larves à la potasse (KOH 10%) et à l'acide (HCl 10%).

3.2.2.4 Traitement des données

Toutes les données récoltées (cotes journalières et taxons) sont saisies aux formats demandés. La liste des taxons identifiés est saisie dans un tableur, ainsi que les caractéristiques du lac

étudié (altitude, conductivité, géologie, cotes journalières...). Les données mésologiques sont issues du guide technique relatif à l'Indice Macroinvertébrés Lacustres – IML établi par l'Université de Franche-Comté (N. Dedieu – V. Verneaux, Avril 2022), et du fichier disponible *via* le SEEE. Trois fichiers sont nécessaires au calcul de l'indicateur : liste faunistique, suivi hydro et données abiotiques.

Le calcul de l'IML est établi à partir de l'outil d'évaluation du SEEE, IML version 1.0.3. Le script réalise le calcul de l'IML en « Ecological Quality Ratio » (EQR) pour l'évaluation de l'état écologique au sens de la Directive-cadre sur l'eau (DCE) des plans d'eau naturels et le potentiel écologique des lacs artificiels/fortement modifiés au sens de la directive-cadre sur l'eau (DCE).

- ✓ Pour tous les lacs naturels (LN), et les lacs artificiels (LA) dont le marnage maximal est inférieur ou égal à 2m, leur état écologique (pour les LN) ou potentiel écologique (pour les LA) seront évalués par le calcul de l'IML_{E-PE} (Code sandre 8965).
- ✓ Pour les LA dont le marnage maximal est supérieur à 2m, leur potentiel écologique sera évalué par le calcul de l'IML_{PE} (Code sandre 8969).

Ces indices comportent chacun trois sous-indices (chimie, habitat et marnage) utiles à la compréhension de la qualité finale.

Les seuils de classes d'état des indices et sous-indices de l'IML_{E-PE} et IML_{PE} sont donnés dans le tableau ci-après :

Limites de classe	$1 \leq \text{IML} \leq 0,8$	$0,8 < \text{IML} \leq 0,6$	$0,6 < \text{IML} \leq 0,4$	$0,4 < \text{IML} \leq 0,2$	$0,2 < \text{IML} \leq 0$
Classe d'état	Très bon	Bon	Moyen	Médiocre	Mauvais

Les résultats de l'indice sont donnés à titre indicatif, celui-ci n'étant pas encore intégré aux règles officielles d'évaluation de l'état des plans d'eau actuellement utilisées (Arrêté du 27/07/2018 modifiant l'Arrêté « Evaluation » du 25 janvier 2010).

Des indices de diversité et d'équitabilité sont également calculés (indice de Shannon et de Piérou) afin d'étudier la variété et la répartition des taxons au sein du peuplement.

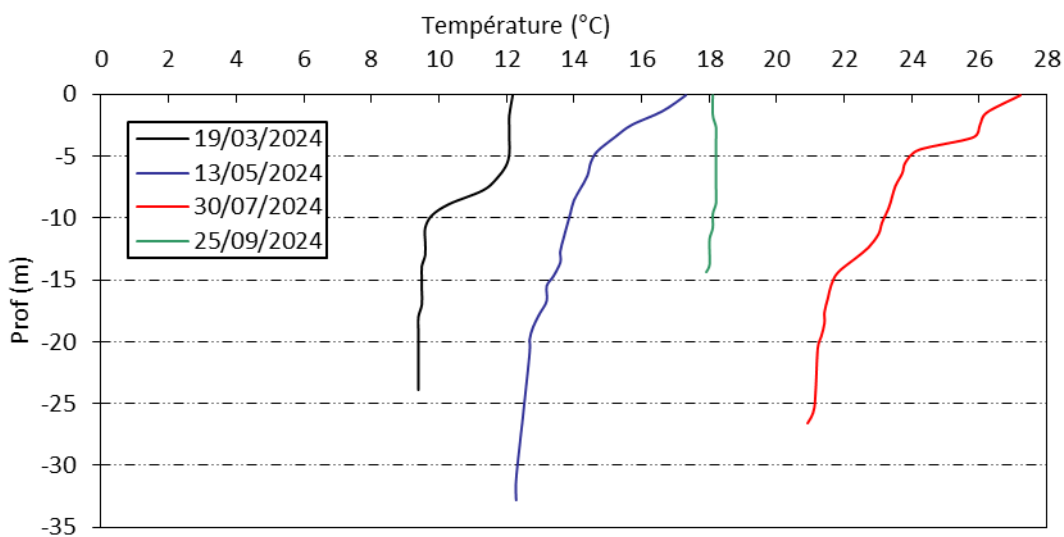
4 Résultats des investigations

4.1 Investigations physicochimiques

Les comptes rendus des campagnes de prélèvements physicochimiques et phytoplanctoniques sont présentés en annexe II.

4.1.1 PROFILS VERTICAUX ET EVOLUTIONS SAISONNIERES

Le suivi prévoit la réalisation de profils verticaux sur la colonne d'eau à chaque campagne. Six paramètres sont mesurés : la température, la conductivité, le pH, l'oxygène (en concentration et en % saturation) et la teneur en chlorophylle *a*. Les graphiques regroupant ces résultats pour chaque paramètre lors des 4 campagnes, sont affichés dans ce chapitre.



Lors de la 1^{ère} campagne, le plan d'eau est partiellement rempli (marnage de 11 m). Une stratification thermique est déjà en place avec 12°C sur les 6 premiers mètres et 9,5°C de 10 à 24 m de profondeur (thermocline entre 6 m et 10 m de profondeur).

La campagne 2 est marquée par un net réchauffement de l'ensemble de la colonne d'eau (12,3 à 17,3°C, contre 9,4 à 12,2°C mi-mars). La colonne d'eau est déstratifiée, du fait du remplissage de la retenue (Cote normale atteinte).

La campagne 3 se caractérise par un réchauffement encore plus marqué des eaux (27,2°C en surface, contre 17,3°C fin mai). La stratification thermique est faible avec un 1^{er} saut thermique proche de 3 m de profondeur, et un second vers -12m. Ce phénomène provient probablement cette fois-ci du déstockage de la retenue (-6,7 m) qui a entraîné un brassage des eaux.

Fin septembre, la colonne d'eau est de nouveau homogène thermiquement (18°C). La baisse du niveau de la retenue (-18 m !) a entraîné le brassage de ses eaux.

La stratification thermique est très instable dans la retenue de Vinça. Les brassages réguliers liés à la gestion hydraulique du plan d'eau ne permettent pas l'établissement d'une stratification marquée.

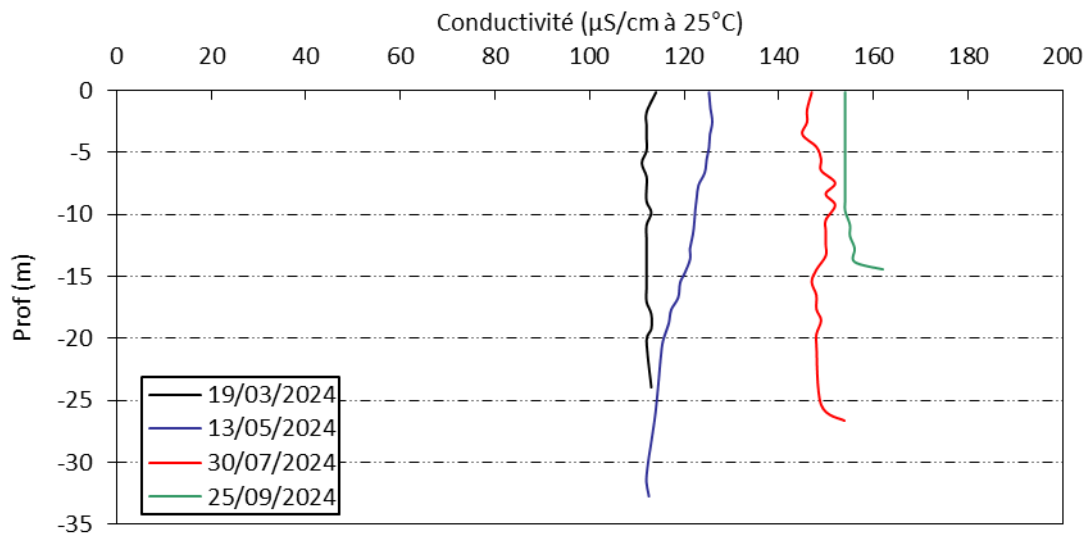


Figure 7 : Profils verticaux de conductivité au point de plus grande profondeur

La conductivité est relativement faible sur la retenue de Vinça, comprise entre 112 et 155 µS/cm en lien avec la nature cristalline des substrats du bassin versant (granites et gneiss). La conductivité est homogène sur la colonne d'eau lors des quatre campagnes, elle augmente au fil de la saison : 112 µS/cm le 19 mars, 112 à 126 µS/cm le 13 mai, 150 µS/cm fin juillet puis 155 µS/cm en campagne 4.

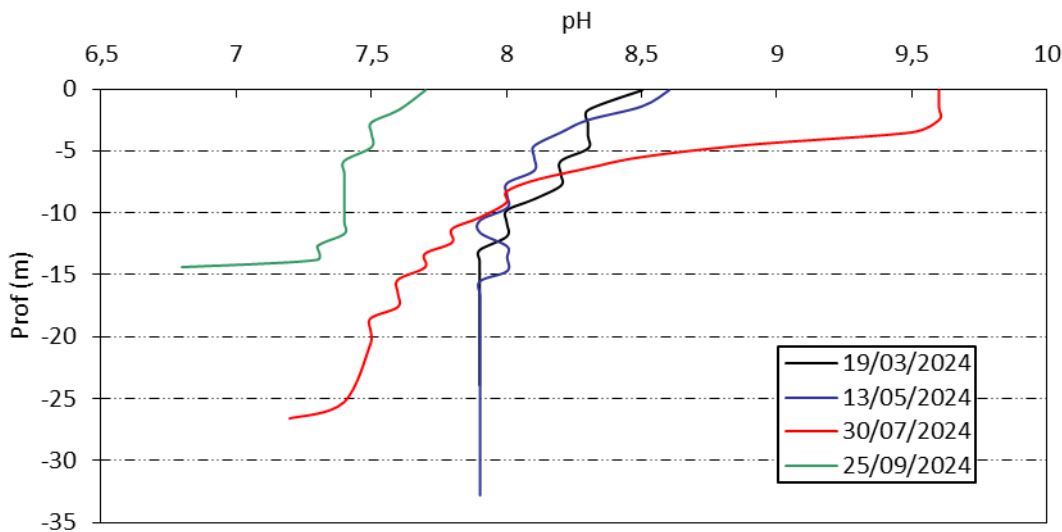


Figure 8 : Profils verticaux de pH au point de plus grande profondeur

Les profils de pH sont assez similaires lors des 2 premières campagnes. Le pH est plus important dans l'épilimnion (8.5), et atteint 7.9 au fond de la retenue.

En période estivale, le pH est très alcalin en surface (9.6) en raison d'un bloom algal (activité photosynthétique marquée). Il diminue dans le fond du plan d'eau du fait des processus de minéralisation de la matière organique et de respiration des organismes vivants.

En dernière campagne, le pH est plus faible, compris entre 7.7 en surface et 6.8 au fond de la retenue de Vinça.

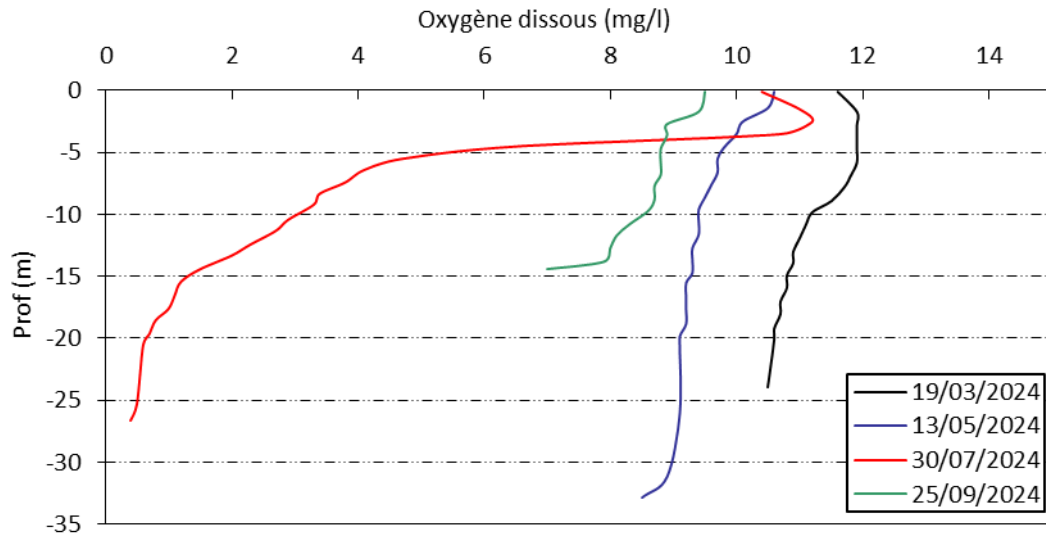


Figure 9 : Profils verticaux d'oxygène (mg/l) au point de plus grande profondeur

La première campagne est caractérisée par une légère sursaturation en oxygène en surface (111 %sat), puis une oxygénation optimale à partir de 9 m de profondeur.

La 2^{ème} campagne affiche une légère sursaturation en oxygène en surface (115 %sat), puis une oxygénation optimale jusqu'à 5,5 m de profondeur. Une désoxygénation progressive s'active ensuite et le fond de la masse d'eau est saturé à 82 %.

La campagne 3 est marquée par une importante sursaturation en oxygène sur les trois premiers mètres de colonne d'eau (135-140 %sat), puis une désoxygénation progressive dès -4,5 m environ (79 %sat). Le fond de la masse d'eau est anoxique (5 %sat et 0,4 mg/l).

La campagne 4 est caractérisée par une réoxygénation de la colonne d'eau. L'oxygénation est quasi optimale en surface (98%sat). La désoxygénation est progressive et le fond est saturé à 73%, en raison du brassage partiel des eaux (gestion hydraulique).

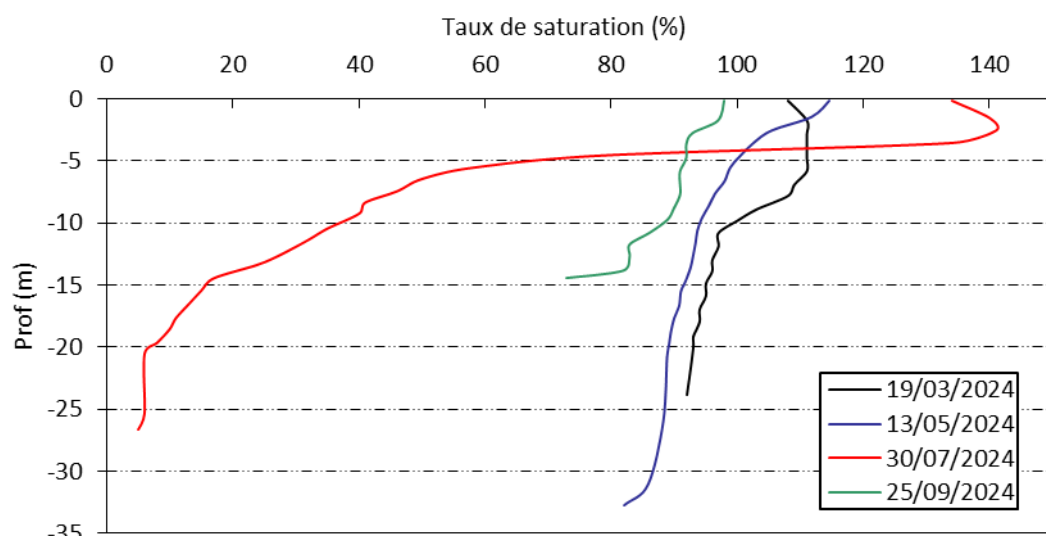
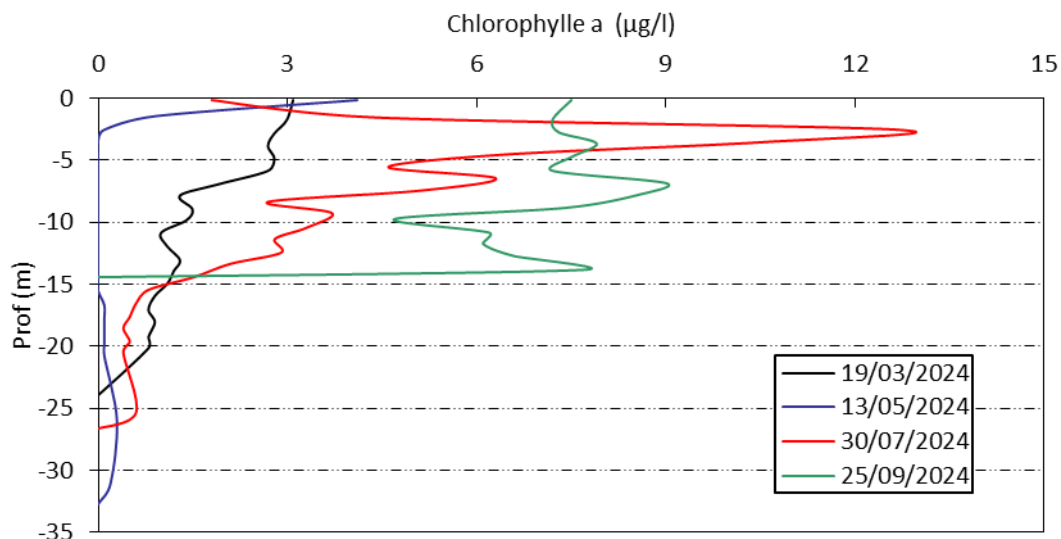


Figure 10 : Profils verticaux d'oxygène (% sat.) au point de plus grande profondeur

Les teneurs en chlorophylle *a*, sont étudiées à l'aide d'une sonde EXO. Les profils pour les 4 campagnes sont présentés sur la Figure 11.

Figure 11 : Profils verticaux de la teneur en chlorophylle *a*

Sur la retenue de Vinça, les profils montrent une production chlorophyllienne plutôt élevée dès la fin de l'hiver (3 µg/l en surface). La concentration en *chlorophylle a*, diminue ensuite avec la profondeur.

Lors de la campagne de juin, les teneurs en chlorophylles sont non négligeables en surface (4.1 µg/l). Les eaux étaient verdâtres (bloom). Les concentrations en chlorophylle sont ensuite très faibles sur le reste de la colonne d'eau.

A partir du mois de juillet, les concentrations en *chlorophylle a* explosent dans la couche 0-15m (jusqu'à 12.7 µg/l en juillet et 9µg/l en septembre – bloom avec flocs en surface), valeurs cohérentes avec les résultats d'analyses de laboratoire (Cf. § 4.2.1).

4.1.2 ANALYSES PHYSICO-CHIMIQUES SUR EAU

N.B. pour tous les tableaux suivants : LQ = limite de quantification.

Les résultats des paramètres de minéralisation des campagnes 2024 sont présentés dans le Tableau 4.

Tableau 4 : Résultats des paramètres de minéralisation

Retenue de Vinça (66)		Unité	Code sandre	LQ	19/03/2024		13/05/2024		30/07/2024		25/09/2024	
Code plan d'eau : Y0455043					intégré	fond	intégré	fond	intégré	fond	intégré	fond
Minéralisation	Bicarbonates	mg(HCO ₃)/L	1327	6,1	52	55	55	49	49	70	82	81
	Dureté	°F	1345	0,5	4,41	4,41	4,62	4,07	5,44	5,51	6,33	6,18
	TAC	°F	1347	0,5	4,3	4,5	4,5	4,0	5,5	5,8	6,8	6,6
	Calcium	mg(Ca)/L	1374	0,1	14,2	14,2	14,7	13,0	17,3	17,6	20,2	19,8
	Chlorures	mg(Cl)/L	1337	0,1	3,8	3,4	3,8	3,6	3,4	3,5	3,8	3,7
	Magnésium	mg(Mg)/L	1372	0,05	2,1	2,1	2,3	2,0	2,7	2,7	3,1	3,0
	Potassium	mg(K)/L	1367	0,1	1,0	0,9	1,0	1,0	1,0	1,1	1,2	1,2
	Sodium	mg(Na)/L	1375	0,2	4,8	4,8	4,7	4,4	5,0	4,9	6,2	6,0
	Sulfates	mg(SO ₄)/L	1338	0,2	8,5	8,1	7,5	7,0	7,7	7,5	9,0	8,8

Les résultats indiquent une eau assez faiblement carbonatée et de dureté faible (4.1 à 6.3°F). La retenue de Vinça et son bassin versant se trouvent sur des terrains métamorphiques (granites et gneiss) du Pic du Canigou, ce qui explique la faible minéralisation des eaux.

4.1.2.1 Analyses physicochimiques des eaux (hors micropolluants)

Tableau 5 : Résultats des paramètres de physico-chimie classique sur eau

Retenue de Vinça (66)		Unité	Code sandre	LQ	19/03/2024		13/05/2024		30/07/2024		25/09/2024	
Code plan d'eau : Y0455043					intégré	fond	intégré	fond	intégré	fond	intégré	fond
PC eau	Carbone organique	mg(C)/L	1841	0,2	2,0	1,4	2,5	2,7	3,0	2,6	1,7	1,6
	DBO	mg(O2)/L	1313	0,5	2,6	1,0	1,2	0,8	2,6	1,1	2,2	1,4
	DCO	mg(O2)/L	1314	20	< LQ	< LQ						
	Azote Kjeldahl	mg(N)/L	1319	0,5	< LQ	< LQ						
	Ammonium	mg(NH4)/L	1335	0,01	0,05	0,17	0,03	0,06	< LQ	0,09	0,04	0,07
	Nitrates	mg(NO3)/L	1340	0,5	0,65	< LQ	1,40	1,10	< LQ	0,84	< LQ	< LQ
	Nitrites	mg(NO2)/L	1339	0,01	0,02	0,02	0,03	0,03	< LQ	0,06	< LQ	0,01
	Phosphates	mg(PO4)/L	1433	0,01	0,07	0,08	0,06	0,09	0,04	0,18	0,02	0,02
	Phosphore total	mg(P)/L	1350	0,005	0,035	0,044	0,029	0,059	0,033	0,110	0,026	0,040
	Silicates	mg(SiO2)/L	1342	0,05	6,1	6,0	7,7	8,5	2,4	8,5	2,8	3,9
	MeS	mg/L	1305	1	3,0	2,5	1,1	2,0	6,5	8,5	5,7	8,1
	Turbidité	NFU	1295	0,1	0,92	0,89	1,60	3,30	7,10	7,60	5,20	4,30

Les analyses des fractions dissoutes ont été réalisées sur eau filtrée (COD, NH4, NO3, NO2, PO4, Si).

La charge organique est faible à moyenne dans les eaux de la retenue de Vinça : les concentrations en carbone organique dissous sont comprises entre 1.4 et 3.0 mg/l. La DBO₅ reste faible, mais non négligeable dans l'échantillon intégré en fin d'hiver et dans les deux derniers échantillons de zone euphotique (bloom algues – 2.2 à 2.6 mg/l).

La DCO et l'azote Kjeldahl ne sont pas quantifiés.

Globalement, les matières en suspension sont peu abondantes et la turbidité est faible lors des deux premières campagnes. A partir du mois de juillet, les teneurs en MES sont non négligeables dans les eaux du fond, comme dans celles de zone euphotique (5.7 à 8.5 mg/l). Le même constat peut se faire avec la turbidité.

En fin d'hiver, les eaux de la retenue de Vinça sont assez pauvres en matières azotées : les nitrates sont mesurés à 0.65 mg/l mais ils sont pour partie déjà consommés par le développement phytoplanctonique précoce. Les matières phosphorées sont *a contrario* biodisponibles pour la production biologique : la concentration en phosphates est de 70 µg/l. Ainsi, le rapport N/P² est assez faible (17). L'azote devient limitant pour la production biologique au fil de la saison et surtout en dernière campagne dans les deux échantillons (<0,5 mg/l). Les phosphates restent bien biodisponibles en zone euphotique (20 à 70 µg/l) tout au long du suivi. Les matières phosphorées se concentrent dans le fond du plan d'eau (80 à 180 µg/l de phosphates et 40 à 110 µg/l de phosphore total). Une partie du phosphore est probablement relargué depuis les sédiments, notamment en troisième campagne, lors de l'anoxie des eaux du fond. En fin d'été, les concentrations en éléments phosphorés sont moins importantes que sur le reste de la saison.

Le phosphore total est présent en concentrations assez importantes, entre 26 et 35 µg/l, dans la zone trophogène tandis qu'il s'accumule dans le fond du plan d'eau (40 à 110 µg/l). Les nitrites sont présents de manière assez anecdotique. En revanche, l'ammonium est présent à des concentrations assez élevées dès la 1^{ère} campagne au fond de la retenue (0.17 mg/l).

La teneur en silicates est élevée lors des deux premières campagnes (6.0 à 8.5 mg/l). Elle diminue ensuite en zone euphotique, tout en restant moyenne (2.4 à 2.8 mg/l). Les silicates

² le rapport N/P est calculé à partir de [Nminéral]/[P-PO₄³⁻] avec N minéral = [N-NO₃⁻]+[N-NO₂⁻]+[N-NH₄⁺] sur la campagne de fin d'hiver.

restent présents en quantité importante dans les eaux du fond en été (8.5 mg/l), et diminuent de moitié à l'automne (3.9 mg/l).

4.1.2.2 Micropolluants minéraux

Le Tableau 6 expose les micropolluants minéraux qui ont été quantifiés lors des campagnes de prélèvements.

Tableau 6 : Résultats d'analyses de métaux sur eau

Retenue de Vinça (66)		Unité	Code sandre	LQ	19/03/2024		13/05/2024		30/07/2024		25/09/2024	
Code plan d'eau : Y0455043					intégré	fond	intégré	fond	intégré	fond	intégré	fond
Métaux	Aluminium	µg(Al)/L	1370	2	2,3	< LQ	9,7	14,1	10,7	< LQ	< LQ	2,7
	Antimoine	µg(Sb)/L	1376	0,5	< LQ	< LQ	< LQ	< LQ	< LQ	< LQ	< LQ	< LQ
	Argent	µg(Ag)/L	1368	0,01	< LQ	< LQ	< LQ	< LQ	< LQ	< LQ	< LQ	< LQ
	Arsenic	µg(As)/L	1369	0,05	2,12	2,46	1,97	1,85	3,23	3,96	2,29	2,54
	Baryum	µg(Ba)/L	1396	0,5	6,8	7,5	7,5	7,1	8,6	9,8	10,6	12,0
	Beryllium	µg(Be)/L	1377	0,01	< LQ	< LQ	< LQ	< LQ	< LQ	< LQ	< LQ	< LQ
	Bore	µg(B)/L	1362	10	< LQ	< LQ	< LQ	< LQ	< LQ	< LQ	< LQ	< LQ
	Cadmium	µg(Cd)/L	1388	0,01	< LQ	< LQ	< LQ	< LQ	< LQ	< LQ	< LQ	< LQ
	Chrome	µg(Cr)/L	1389	0,5	< LQ	< LQ	< LQ	< LQ	< LQ	< LQ	< LQ	< LQ
	Cobalt	µg(Co)/L	1379	0,05	< LQ	< LQ	< LQ	< LQ	0,05	< LQ	< LQ	< LQ
	Cuivre	µg(Cu)/L	1392	0,1	0,56	0,55	0,61	0,67	0,73	0,33	0,50	0,45
	Etain	µg(Sn)/L	1380	0,5	< LQ	< LQ	< LQ	< LQ	< LQ	< LQ	< LQ	< LQ
	Fer	µg(Fe)/L	1393	1	6,3	8,0	16,2	26,2	19,5	120,0	18,7	31,7
	Lithium	µg(Li)/L	1364	0,5	2,5	2,7	2,4	2,2	3,1	3,0	3,4	3,8
	Manganèse	µg(Mn)/L	1394	0,5	< LQ	0,9	0,6	1,3	1,8	2,4	< LQ	< LQ
	Mercure	µg(Hg)/L	1387	0,01	< LQ	< LQ	< LQ	< LQ	< LQ	< LQ	< LQ	< LQ
	Molybdène	µg(Mo)/L	1395	1	< LQ	< LQ	< LQ	< LQ	< LQ	< LQ	< LQ	< LQ
	Nickel	µg(Ni)/L	1386	0,5	< LQ	0,8	< LQ	< LQ	< LQ	< LQ	< LQ	< LQ
	Plomb	µg(Pb)/L	1382	0,05	< LQ	< LQ	< LQ	< LQ	< LQ	< LQ	< LQ	< LQ
	Sélénium	µg(Se)/L	1385	0,1	< LQ	< LQ	< LQ	< LQ	0,19	0,22	< LQ	< LQ
	Tellure	µg(Te)/L	2559	0,5	< LQ	< LQ	< LQ	< LQ	< LQ	< LQ	< LQ	< LQ
	Thallium	µg(Tl)/L	2555	0,01	< LQ	< LQ	< LQ	< LQ	< LQ	0,014	< LQ	< LQ
	Titane	µg(Ti)/L	1373	0,5	< LQ	< LQ	< LQ	< LQ	0,5	< LQ	< LQ	< LQ
	Uranium	µg(U)/L	1361	0,05	0,52	0,55	0,52	0,54	0,66	0,36	1,02	1,08
	Vanadium	µg(V)/L	1384	0,1	0,16	0,20	0,20	0,23	0,37	0,12	0,23	0,26
	Zinc	µg(Zn)/L	1383	1	< LQ	< LQ	< LQ	1,55	< LQ	< LQ	< LQ	< LQ

Les analyses sont faites sur eau filtrée (0.45 µm)

Les micropolluants minéraux sont faiblement présents dans les eaux de la retenue de Vinça, 13 éléments parmi les 26 analysés sont à des teneurs inférieures ou égales au seuil de quantification. Parmi les minéraux identifiés, certains sont en quantité non négligeables :

- ✓ l'aluminium présente des concentrations élevées, surtout en période estivale (9.7 à 14.1 µg/l) ;
- ✓ le fer (Fe) présente des concentrations assez élevées, particulièrement dans les eaux du fond en période estivale (120 µg/l). Cela suggère un relargage de cet élément depuis les sédiments avec les conditions de désoxygénéation lors de cette campagne.
- ✓ l'arsenic est présent à des concentrations comprises entre 1.85 à 3.96 µg/l, bien supérieures à la norme de qualité environnementale (0.83 µg/l en moyenne annuelle) définie pour ce paramètre (le plan d'eau étant localisé sur un secteur à risque de fond géochimique élevé en As pour les eaux superficielles et souterraines, le fond géochimique doit cependant être considéré pour comparaison à la NQE) ;
- ✓ le cuivre à des concentrations comprises entre 0.33 à 0.73 µg/l.

Parmi les éléments de constitution, on retrouve le baryum, le lithium, l'uranium et le vanadium, qui ont pour origine le fond géochimique du secteur d'étude.

4.1.2.3 Micropolluants organiques

Le Tableau 7 indique les micropolluants organiques qui ont été quantifiés lors des campagnes de prélèvements sur eau brute. La liste de l'ensemble des substances analysées est fournie en annexe 1.

Tableau 7 : Résultats d'analyses de micropolluants organiques présents sur eau

Retenue de Vinça (66)		Unité	Code sandre	LQ	19/03/2024		13/05/2024		30/07/2024		25/09/2024	
Code plan d'eau : Y0455043					intégré	fond	intégré	fond	intégré	fond	intégré	fond
μpolluants orga	4-tert-butylphénol	μg/L	2610	0.01	< LQ	< LQ	< LQ	< LQ	0.021	0.046	0.013	0.011
μpolluants orga	Benzotriazole	μg/L	7543	0.02	< LQ	< LQ	< LQ	< LQ	< LQ	< LQ	0.023	< LQ
μpolluants orga	Tolyltriazole	μg/L	6660	0.005	< LQ	< LQ	< LQ	< LQ	0.006	< LQ	< LQ	0.005
μpolluants orga	Crésol-ortho	μg/L	1640	0.01	< LQ	< LQ	< LQ	< LQ	< LQ	< LQ	0.01	< LQ
μpolluants orga	Ethyl tert-butyl ether	μg/L	2673	0.5	< LQ	< LQ	< LQ	< LQ	< LQ	< LQ	0.51	< LQ
ANALGESIQUES ET ANTALGIQUES	Paracetamol	μg/L	5354	0.025	0.041	0.025	0.043	< LQ	< LQ	< LQ	< LQ	< LQ
ANALGESIQUES ET ANTALGIQUES	Tramadol	μg/L	6720	0.005	0.006	0.005	0.013	0.006	< LQ	0.006	0.011	0.009
ANTIBIOTIQUES	Sulfaméthoxazole	μg/L	5356	0.005	< LQ	0.006	< LQ	< LQ	0.005	0.006	0.007	0.008
ANTI-DEPRESSEURS ET ANXIOLYTIQUES	Oxazepam	μg/L	5375	0.005	0.008	0.010	0.016	0.010	< LQ	0.009	0.016	0.008
medic ANTI-DIABÉTIQUES	Metformine	μg/L	6755	0.005	0.180	0.178	0.129	0.106	0.340	0.484	0.263	0.217
ANTI-EPILEPTIQUES	Carbamazepine	μg/L	5296	0.005	< LQ	0.007	0.005	< LQ	< LQ	< LQ	0.009	0.008
ANTI-EPILEPTIQUES	Gabapentine	μg/L	7602	0.01	0.019	0.020	0.016	< LQ	0.028	0.024	0.033	0.031
ANTI-HYPERTENSEURS	Irbesartan	μg/L	6535	0.005	0.031	0.029	0.037	0.030	< LQ	0.013	0.032	0.035
ANTI-INFLAMMATOIRES	Diclofenac	μg/L	5349	0.005	< LQ	< LQ	0.006	< LQ	< LQ	< LQ	< LQ	< LQ
medic METABOLITES PHARMACEUTIQUES	2-Hydroxy Ibuprofen	μg/L	7012	0.01	0.013	0.014	< LQ	< LQ	0.012	< LQ	0.017	0.017
PRODUITS DE CONTRASTE	Iobitridol	μg/L	6706	0.05	< LQ	< LQ	< LQ	< LQ	< LQ	< LQ	0.101	0.076
MUSCS	Galaxolide	μg/L	6618	0.025	0.028	< LQ	< LQ	< LQ	< LQ	< LQ	< LQ	< LQ
AUTRE	Cyanures libres	μg(CN)/L	1084	0.2	< LQ	< LQ	< LQ	< LQ	< LQ	0.3	< LQ	< LQ
AUTRE	Perchlorate	μg/L	6219	0.1	< LQ	< LQ	< LQ	< LQ	< LQ	< LQ	0.1	< LQ
STIMULANTS métabolites	1,7-Diméthylxanthine	μg/L	6751	0.02	0.041	0.056	0.286	0.050	0.022	0.023	0.043	0.044
STIMULANTS	Caféine	μg/L	6519	0.01	0.027	0.070	0.637	0.041	< LQ	< LQ	< LQ	< LQ
STIMULANTS	Nicotine	μg/L	5657	0.02	< LQ	< LQ	0.157	0.176	0.087	0.563	< LQ	< LQ
STIMULANTS	Cotinine	μg/L	6520	0.005	0.006	< LQ	0.109	0.009	0.008	0.009	0.006	0.006
BTEX	Benzène	μg/L	1114	0.5	< LQ	< LQ	< LQ	< LQ	< LQ	< LQ	0.53	< LQ
BTEX	Ethylbenzène	μg/L	1497	0.5	< LQ	< LQ	< LQ	< LQ	< LQ	< LQ	0.7	< LQ
BTEX	Toluène	μg/L	1278	0.5	< LQ	< LQ	< LQ	< LQ	< LQ	< LQ	6.9	< LQ
BTEX	Xylène-meta	μg/L	1293	0.1	< LQ	< LQ	0.13	< LQ	< LQ	< LQ	3.0	< LQ
BTEX	Xylène-ortho	μg/L	1292	0.05	< LQ	< LQ	< LQ	< LQ	< LQ	< LQ	1.1	< LQ
BTEX	Xylène-para	μg/L	1294	0.1	< LQ	< LQ	0.13	< LQ	< LQ	< LQ	3.0	< LQ
HAP	Naphtalène	μg/L	1517	0.005	< LQ	< LQ	< LQ	< LQ	0.0094	< LQ	0.0125	0.0075
METABOLITES HERBICIDES	AMPA	μg/L	1907	0.02	0.043	0.061	0.080	0.046	0.040	0.066	0.121	0.096
PLASTIFIANT	DEHP	μg/L	6616	0.2	0.28	0.33	0.32	< LQ	1.92	< LQ	< LQ	< LQ
PLASTIFIANT	n-Butyl Phthalate	μg/L	1462	0.05	0.10	0.08	< LQ	< LQ	0.07	0.07	0.29	< LQ

Les eaux de Vinça sont riches en micropolluants organiques. Une dizaine de molécules n'est quantifiée que ponctuellement (principalement dans l'échantillon intégré de la dernière campagne). Comme en 2021, les échantillons sont riches en substances médicamenteuses.

11 composés utilisés dans l'industrie pharmaceutique sont mesurés dans les eaux de Vinça : Paracétamol, Tramadol, Sulfaméthoxazole, Oxazepam, Metformine, Carbamazepine, Gabapentine, Irbesartan, Diclofénac, 2-Hydroxy Ibuprofen, Iobitridol. Une bonne partie de ces substances avait déjà été quantifiée lors des suivis antérieurs. La présence des substances médicamenteuses est toujours tout aussi marquée qu'en 2021, avec 56 quantifications (contre 51 en 2021).

Seule la Metformine est quantifiée dans tous les échantillons, mais la Gabapentine, le Tramadol, l'Irbesartan, et l'Oxazepam sont mesurés à chaque campagne dans au moins l'un des échantillons.

La Metformine est mesurée à des valeurs assez élevées comprises entre 0.106 et 0.484 µg/l, nettement supérieures à celles observées en 2021 et 2018 (0.07 à 0.21 µg/l en 2021 et 0.02 à 0.14 µg/l en 2018). Il s'agit d'une substance médicamenteuse, analysée dans les eaux depuis 2018. C'est un antidiabétique oral appartenant à la famille des biguanides qui est retrouvé dans de nombreux plans d'eau des bassins RM et C.

Un herbicide est également retrouvé dans tous les échantillons : l'AMPA, produit de dégradation du glyphosate (0.04 à 0.121 µg/l).

Enfin, des stimulants d'origine naturelle végétale ou leurs métabolites (caféine, 1,7-diméthylxanthine, cotinine, nicotine), traceurs de pollution domestique, sont détectés lors de toutes les campagnes.

Les autres composés détectés ponctuellement sont :

- ✓ 2 composés utilisés entre-autres dans l'industrie du plastique : le DEHP, le n-ButylPhtalate ;
- ✓ le 4-tert-butylphénol, utilisé pour la production de résines époxy ;
- ✓ des cyanures libres dans l'échantillon de fond en C3 (0.3 µg(C)/l) ;
- ✓ 1 HAP : le naphtalène (3 échantillons) ;
- ✓ Les BTEX (benzène, toluène, éthylbenzène, xylènes) issues de la combustion, le crésol-ortho et l'ETBE (éthyl tert-butyl éther, additif pour les carburants à base d'essence), sont pour la plupart quantifiés uniquement dans l'échantillon intégré de la dernière campagne, suggérant une pollution ponctuelle lors de cette campagne. Les prélèvements lors de la 4^{ème} campagne ont été effectués à partir d'une embarcation à moteur électrique, ce qui semble exclure une contamination liée à l'opération d'échantillonnage. La proximité de la route départementale D66, longeant la rive sud du plan d'eau, peut constituer une source d'apport de ce type de substances au plan d'eau par lessivage de la chaussée lors des épisodes pluvieux.

Ces analyses montrent toujours une contamination en substances médicamenteuses et en herbicide (AMPA) dans les eaux de la retenue de Vinça. Une contamination en solvants (BTEX) est observée lors de la dernière campagne (zone euphotique).

4.1.3 ANALYSES DES SEDIMENTS

4.1.3.1 Analyses physicochimiques des sédiments (hors micropolluants)

Le Tableau 8 fournit la synthèse de l'analyse granulométrique menée sur les sédiments prélevés.

Tableau 8 : Synthèse granulométrique sur le sédiment du point de plus grande profondeur

Retenue de Vinça (66)	Unité	Code sandre	25/09/2024
Code plan d'eau : Y0455043			
< 20 µm	% MS	6228	8,9
20 à 63 µm	% MS	3054	13,6
63 à 150 µm	% MS	7042	23,0
150 à 200 µm	% MS	7043	6,5
> 200 µm	% MS	7044	48,1

Les sédiments prélevés sur la retenue de Vinça sont limono-vaseux très noirs. Les analyses de laboratoire apparaissent assez surprenantes puisqu'elles font état de sédiments grossiers > 200 µm à 48.1%, avec une fraction de sédiments plus fins (0 à 150 µm à 45.5%).

Les analyses de physico-chimie classique menées sur la fraction solide et sur l'eau interstitielle du sédiment sont rapportées au Tableau 9.

Tableau 9 : Analyse de sédiments

Physico-chimie du sédiment				
Retenue de Vinça (66)	Unité	Code sandre	LQ	25/09/2024
Code plan d'eau : Y0455043				
Matière sèche à 105°C	%	1307	0,1	52,2
Matière Sèche Minérale (M.S.M)	% MS	5539		92,4
Perte au feu à 550°C	% MS	6578	0,1	7,6
Carbone organique	mg/(kg MS)	1841	1000	17400
Azote Kjeldahl	mg/(kg MS)	1319	200	1070
Phosphore total	mg/(kg MS)	1350	2	480
Physico-chimie du sédiment : Eau interstitielle				
Ammonium	mg(NH4)/L	1335	0,5	4,0
Phosphates	mg(PO4)/L	1433	1,5	< LQ
Phosphore total	mg(P)/L	1350	0,1	2,01

Dans les sédiments, la teneur en matière organique est moyenne avec 7.6 % de perte au feu. La concentration en azote organique est modérée (1.07 g/kg MS). Le rapport C/N est de 16.3, et indique une prédominance de matériel macrophytique dont la dégradation est à venir. La concentration en phosphore est faible à moyenne, avec 0.48 g/kg MS. Ces teneurs en C, N et P apparaissent très faibles par rapport à l'historique des analyses de sédiments sur ce plan d'eau, mais les valeurs ont été confirmées par le laboratoire d'analyses.

L'eau interstitielle contient les minéraux facilement mobilisables dans les sédiments. La concentration en ammonium (4 mg/l) est moyenne, tandis que celle en phosphore total (2.01 mg/l) est élevée. Elle suggère un relargage de cet élément à l'interface eau/sédiment. Ce processus est confirmé par les analyses physico-chimiques sur les eaux du fond.

4.1.3.2 Micropolluants minéraux

Ils ont été dosés sur la fraction solide du sédiment.

Tableau 10 : Résultats d'analyses de micropolluants minéraux sur sédiment

Sédiment : micropolluants minéraux				
Retenue de Vinça (66)	Unité	Code sandre	LQ	25/09/2024
Code plan d'eau : Y0455043				
Aluminium	mg(Al)/kg MS	1370	5	63700
Antimoine	mg(Sb)/kg MS	1376	0.1	0.7
Argent	mg(Ag)/kg MS	1368	0.1	< LQ
Arsenic	mg(As)/kg MS	1369	0.2	10.1
Baryum	mg(Ba)/kg MS	1396	0.4	535
Beryllium	mg(Be)/kg MS	1377	0.1	2.7
Bore	mg(B)/kg MS	1362	1	20.3
Cadmium	mg(Cd)/kg MS	1388	0.1	0.1
Chrome	mg(Cr)/kg MS	1389	0.2	33.3
Cobalt	mg(Co)/kg MS	1379	0.2	7.1
Cuivre	mg(Cu)/kg MS	1392	0.2	16.4
Etain	mg(Sn)/kg MS	1380	0.2	4.8
Fer	mg(Fe)/kg MS	1393	5	24700
Lithium	mg(Li)/kg MS	1364	0.2	28.2
Manganèse	mg(Mn)/kg MS	1394	0.4	348
Mercure	mg(Hg)/kg MS	1387	0.01	0.02
Molybdène	mg(Mo)/kg MS	1395	0.2	0.3
Nickel	mg(Ni)/kg MS	1386	0.2	14.9
Plomb	mg(Pb)/kg MS	1382	0.2	27
Sélénium	mg(Se)/kg MS	1385	2	< LQ
Tellure	mg(Te)/kg MS	2559	0.1	< LQ
Thallium	mg(Th)/kg MS	2555	0.1	0.6
Titane	mg(Ti)/kg MS	1373	1	2050
Uranium	mg(U)/kg MS	1361	0.2	2.5
Vanadium	mg(V)/kg MS	1384	0.2	43.8
Zinc	mg(Zn)/kg MS	1383	0.4	71.4

Les sédiments de la retenue de Vinça sont globalement assez pauvres en micropolluants minéraux. Les concentrations en aluminium (63.7 g/kg MS), en fer (24.7 g/kg MS) sont moyennes mais inférieures à celles observées en 2021. Elles sont à relier au fond géochimique.

Parmi les métaux lourds, l'arsenic, le chrome, le cuivre, le plomb et le zinc présentent des concentrations faibles, bien en dessous des seuils S1³ de contamination des sédiments de curage.

4.1.3.3 Micropolluants organiques

Le Tableau 11 indique les micropolluants organiques qui ont été quantifiés dans les sédiments lors de la campagne de prélèvements. La liste de l'ensemble des substances analysées est fournie en annexe 2.

³ Seuil S1 seuils édictés par l'Arrêté du 9 août 2006.

Tableau 11 : Résultats d'analyses de micropolluants organiques présents sur sédiment

Sédiment : micropolluants organiques mis en évidence				
Retenue de Vinça (66)	Unité	Code sandre	LQ	25/09/2024
Code plan d'eau : Y0455043				
Acénaphthylène	µg/(kg MS)	1622	10	95,6
Anthanthrene	µg/(kg MS)	7102	10	105
Anthracène	µg/(kg MS)	1458	10	75,9
Anthraquinone	µg/(kg MS)	2013	4	28,8
Benzo (a) Anthracène	µg/(kg MS)	1082	10	241
Benzo (a) Pyrène	µg/(kg MS)	1115	10	365
Benzo (b) Fluoranthène	µg/(kg MS)	1116	10	453
Benzo (ghi) Pérylène	µg/(kg MS)	1118	10	272
Benzo (k) Fluoranthène	µg/(kg MS)	1117	10	158
Benzo(c)fluorène	µg/(kg MS)	7279	10	12
Benzo(e)pyrène	µg/(kg MS)	1460	10	292
Chrysène	µg/(kg MS)	1476	10	211
Crésol-para	µg/(kg MS)	1638	20	43,9
Dibenzo (ah) Anthracène	µg/(kg MS)	1621	10	39,9
Dibenzo(a,c)anthracene	µg/(kg MS)	7105	10	32,8
Dibenzofuran	µg/(kg MS)	2763	5	6,7
Fluoranthène	µg/(kg MS)	1191	10	442
Fluorène	µg/(kg MS)	1623	10	11,6
Indéno(1,2,3-cd)pyrène	µg/(kg MS)	1204	10	232
Méthyl-2-Fluoranthène	µg/(kg MS)	1619	10	39,6
Naphtalène	µg/(kg MS)	1517	10	32
Pérylène	µg/(kg MS)	1620	10	120
Phénanthrène	µg/(kg MS)	1524	10	126
Pyrène	µg/(kg MS)	1537	10	391
Triphenylene	µg/(kg MS)	7124	10	58,9

23 hydrocarbures aromatiques polycycliques (HAP) ont été recensés dans les sédiments de la retenue de Vinça pour une concentration totale très élevée de **3.84 g/kg**.

Le crésol-para, le Dibenzofuran ont également été faiblement quantifiés dans les sédiments.

Les résultats apparaissent étonnants par rapport à l'historique de la retenue de Vinça : ainsi les fortes teneurs en HAP mesurées en 2024 dans les sédiments sont bien plus élevées que les valeurs généralement obtenues sur ce plan d'eau (0.807 g/kg MS en 2021 et 1.235 g/kg MS en 2018).

4.2 Phytoplancton

4.2.1 PRELEVEMENTS INTEGRES

Les prélèvements intégrés destinés à l'analyse du phytoplancton ont été réalisés en même temps que les prélèvements pour analyses physicochimiques classiques.

L'étendue de la zone euphotique selon la transparence mesurée au fil des campagnes sur la retenue de Vinça est représentée en Figure 12.

La transparence est faible à moyenne (1.4 à 4.4 m). Elle est maximale lors de la campagne printanière avec une phase d'eaux claires ($Tr = 4.4$ m), et minimale en été et à l'automne (2 et 1.4 m).

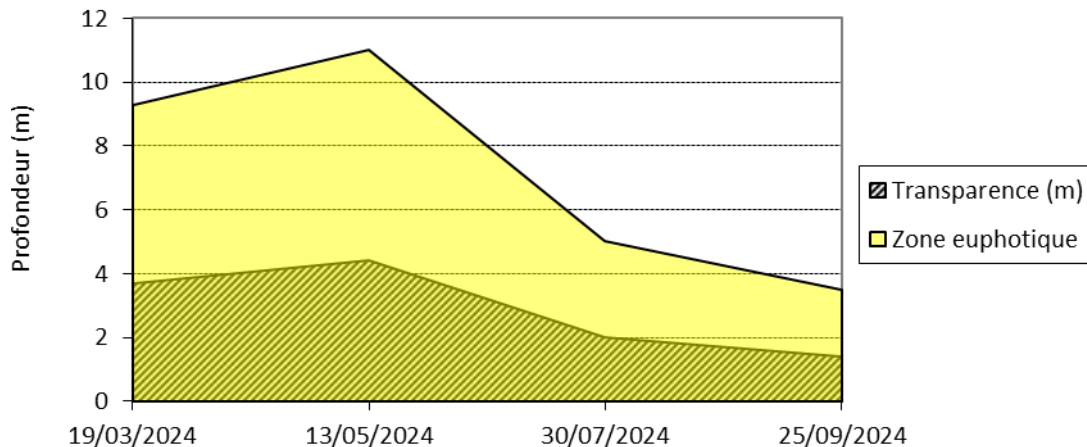


Figure 12: Évolution de la transparence et de la zone euphotique lors des 4 campagnes

Les échantillons destinés à la détermination du phytoplancton et de la chlorophylle *a*, sont constitués d'un prélèvement intégré sur la zone euphotique (équivalant à 2,5 fois la transparence lors de la campagne). Les échantillons 2024 concernent une colonne d'eau comprise entre 3.5 et 11 m.

Les concentrations en chlorophylle *a* et en phéopigments sont présentées dans le Tableau 12.

Tableau 12 : Analyses des pigments chlorophylliens

Retenue de Vinça (66)		Unité	Code sandre	LQ	19/03/2024	13/05/2024	30/07/2024	25/09/2024
Code plan d'eau : Y0455043					intégré	intégré	intégré	intégré
Indices chlorophylliens	Chlorophylle a	µg/L	1439	1	3	1	7	11
	Phéopigments	µg/L	1436	1	2	< LQ	< LQ	2
	Transparence	m	1332		3,7	4,4	2	1,4

Si la concentration en chlorophylle ou phéopigments est < LQ, alors la valeur considérée est LQ/2 soit 0,5 µg/l.

La concentration en chlorophylle *a* est faible à moyenne lors des premières campagnes (1 à 3 µg/l) en phase d'eaux claires, moyenne en C3 (7 µg/l) et élevée en C4 (11 µg/l). Cela traduit une forte production primaire dans le plan d'eau, en particulier en été avec la présence de blooms藻. La moyenne estivale de concentration en chlorophylle *a* est évaluée à 6.3 µg/l. La concentration en phéopigments reste plutôt faible toute l'année (≤ 2 µg/l).

4.2.2 LISTES FLORISTIQUES

Tableau 13 : Liste taxonomique du phytoplancton (en nombre de cellules/ml)

Embranchement	Nom taxon	Code Sandre	Cf.	19-mars	13-mai	30-juil.	25-sept.
BACILLARIOPHYTA	<i>Aulacoseira</i>	9476		0.5	1.4		
	<i>Aulacoseira granulata</i>	8559				21.9	931.5
	<i>Diatoma vulgaris</i>	6631		11.0			
	<i>Diatomées centriques indéf < 10 µm</i>	6598				438.3	164.4
	<i>Diatomées centriques indéf > 10 µm</i>	6598				21.9	
	<i>Fragilaria capucina</i>	9529	Cf,				54.8
	<i>Fragilaria crotensis</i>	6666		11.0	21.5	10629.6	712.3
	<i>Fragilaria sp,<100µm</i>	9533				21.9	
	<i>Gyrosigma</i>	9440	Cf,	0.1			
	<i>Melosira varians</i>	8719		4.9	0.3		
	<i>Rhoicosphenia abbreviata</i>	8420			1.4		
	<i>Stephanodiscus</i>	8760		65.7			
CHAROPHYTA	<i>Cladophora acutum var. linea</i>	9149				21.9	
	<i>Cosmarium obtusatum</i>	33665	Cf,		0.04		
	<i>Mougeotia</i>	1146					3561.5
	<i>Staurastrum</i>	1128					54.8
	<i>Staurastrum planctonicum</i>	5483				0.1	0.8
CHLOROPHYTA	<i>Staurastrum tetracerum</i>	5495					54.8
	<i>Ankyra judayi</i>	5596			2.8	21.9	
	<i>Chlorella</i>	5929	Cf,	8142.0			
	<i>Chlorella</i>	5929			2.8		
	<i>Chlorella [2-5µm]</i>	5929					1150.6
	<i>Chlorella vulgaris</i>	5933					931.5
	<i>Chlorococcales ellipsoidales 2-5 µm</i>	4746					1698.5
	<i>Chlorococcales unicellulaires 5-10 µm</i>	4746			9.7		109.6
	<i>Chlorophycées flagellées indéf diam 5 - 10 µm</i>	3332		43.8	7.0		
	<i>Choricystis minor</i>	10245	Cf,	153.4		2235.5	
	<i>Choricystis minor</i>	10245					33422.8
	<i>Coelastrum astroideum</i>	5608					54.8
	<i>Coelastrum microporum</i>	5610					54.8
	<i>Coronastrum aestivale</i>	69514				87.7	
	<i>Desmodesmus</i>	29998				43.8	
	<i>Hariotina polychorda</i>	24420				1402.7	
	<i>Lacunastrum gracillimum</i>	32747			7.5	1.1	9.6
	<i>Lanceola spatulifera</i>	5720			20.9		54.8
	<i>Lauterborniella elegantissima</i>	24427					54.8
	<i>Monactinus simplex</i>	32004	Cf,				1.4
	<i>Monoraphidium circinale</i>	5730	Cf,				274.0
	<i>Monoraphidium circinale</i>	5730		11.0		241.1	
	<i>Oocystis</i>	5752				21.9	
	<i>Oocystis marssonii</i>	9240	Cf,				54.8
	<i>Pandorina</i>	6045		53.7			
	<i>Pandorina morum</i>	6046					5.6
	<i>Pediastrum duplex</i>	5772			1.3		
	<i>Planktosphaeria gelatinosa</i>	5782			1.4		54.8
	<i>Pseudopediastrum boryanum</i>	42835			10.0	1.3	3.2
	<i>Radiococcaceae</i>	43542				21.9	
	<i>Sphaerocystis schroeteri</i>	5880			5.6		
	<i>Tetraedron minimum</i>	5888				87.7	164.4
	<i>Tetraselmis cordiformis</i>	5981		65.7			54.8
	<i>Volvocales indéf</i>	6012		42.7		40.0	
	<i>Volvox aureus</i>	6061				114.2	
CRYPTOPHYTA	<i>Cryptomonas</i>	6269		32.9		21.9	54.8
	<i>Cryptomonas marssonii</i>	6273		21.9	4.2	21.9	
	<i>Cryptomonas ovata</i>	6274	Cf,	21.9	1.4		
	<i>Cryptomonas pyrenoidifera</i>	20115	Cf,				109.6
	<i>Cryptomonas rostriformis</i>	6272			16.5		
	<i>Plagioselmis lacustris</i>	9633		54.8			
	<i>Plagioselmis nannoplantica</i>	9634		76.7			383.5

Embranchement	Nom taxon	Code Sandre	Cf.	19-mars	13-mai	30-juil.	25-sept.
CYANOBACTERIA	<i>Aphanizomenon klebahnii</i>	35569					31779.1
	<i>Aphanocapsa</i>	6307					3945.0
	<i>Asterocapsa</i>	44791					438.3
	<i>Chroococcales indét diam 2 - 10 µm</i>	4737				28842.3	
	<i>Chroococcus</i>	6355					54.8
	<i>Coelosphaerium kuetzingianum</i>	6316					54.8
	<i>Dolichospermum crassum</i>	33644					63.2
	<i>Dolichospermum mendotae</i>	36075			224.2	2.2	
	<i>Dolichospermum plantonicum</i>	31959					94.8
	<i>Pseudanabaena</i>	6453		197.2	12.5	263.0	
	<i>Pseudanabaena mucicola</i>	6460	Cf,		182.4		493.1
	<i>Synechocystis aquatilis</i>	20270	Cf,				931.5
EUGLENOZOA	<i>Euglena 20-50 µm</i>	6479		0.04			
	<i>Trachelomonas granulosa</i>	6530					54.8
HAPTOPHYTA	<i>Chrysochromulina parva</i>	31903				21.9	54.8
MIOZOA	<i>Ceratium furcoides</i>	20323				0.2	
	<i>Gymnodiniales indét < 20 µm</i>	5011			1.4		
	<i>Naiadinium polonicum</i>	42352				175.3	19.6
	<i>Parvodinium elpatiewskyi</i>	64504				21.9	
OCHROPHYTA	<i>Acanthochloris</i>	41899				43.8	
	<i>Characiopsis</i>	9601	Cf,		1.4		
	<i>Goniochloris mutica</i>	6237					54.8
	<i>Kephryion</i>	6150					109.6
	<i>Nephrodiella lunaris</i>	9616				613.7	109.6
	<i>Trachydiscus sexangulatus</i>	38374					54.8
	Nombre de taxons			20	23	31	45
	Nombre de cellules/ml			9011	538	45504	82550

Tableau 14 : Liste taxonomique du phytoplancton (en mm³/l)

Embranchement	Nom taxon	Code Sandre	Cf.	19-mars	13-mai	30-juil.	25-sept.
BACILLARIOPHYTA	<i>Aulacoseira</i>	9476		0.000052	0.000144		
	<i>Aulacoseira granulata</i>	8559				0.029587	1.257470
	<i>Diatoma vulgaris</i>	6631		0.039450			
	<i>Diatomées centriques indét < 10 µm</i>	6598				0.048217	0.018081
	<i>Diatomées centriques indét > 10 µm</i>	6598				0.011769	
	<i>Fragilaria capucina</i>	9529	Cf,				0.084269
	<i>Fragilaria crotonensis</i>	6666		0.003287	0.006444	3.188870	0.213687
	<i>Fragilaria sp,<100µm</i>	9533				0.003266	
	<i>Gyrosigma</i>	9440	Cf,	0.000888			
	<i>Melosira varians</i>	8719		0.018602	0.001220		
	<i>Rhoicosphenia abbreviata</i>	8420			0.001342		
	<i>Stephanodiscus</i>	8760		0.322174			
CHAROPHYTA	<i>Cladophora acutum var. linea</i>	9149				0.015429	
	<i>Cosmarium obtusatum</i>	33665	Cf,		0.001092		
	<i>Mougeotia</i>	1146					9.046080
	<i>Staurastrum</i>	1128					0.408087
	<i>Staurastrum plantonicum</i>	5483				0.000795	0.007949
	<i>Staurastrum tetracerum</i>	5495					0.367432
CHLOROPHYTA	<i>Ankyra judayi</i>	5596			0.000292	0.002301	
	<i>Chlorella</i>	5929	Cf,	0.569942			
	<i>Chlorella</i>	5929			0.000195		
	<i>Chlorella [2-5µm]</i>	5929					0.025314
	<i>Chlorella vulgaris</i>	5933					0.093146
	<i>Chlorococcales ellipsoïdales 2-5 µm</i>	4746					0.038047
	<i>Chlorococcales unicellulaires 5-10 µm</i>	4746			0.002154		0.024218
	<i>Chlorophycées flagellées indét diam 5 - 10 µm</i>	3332		0.022793	0.003620		
	<i>Choricystis minor</i>	10245	Cf,	0.001381		0.020120	
	<i>Choricystis minor</i>	10245					0.300806
	<i>Coelastrum astroideum</i>	5608					0.003945
	<i>Coelastrum microporum</i>	5610					0.010246
	<i>Coronastrum aestivale</i>	69514				0.007425	
	<i>Desmodesmus</i>	29998				0.003507	
	<i>Hariotina polychorda</i>	24420				0.084160	
	<i>Lacunastrum gracillimum</i>	32747			0.000241	0.000036	0.000307
	<i>Lanceola spatulifera</i>	5720			0.006057		0.015890
	<i>Lauterborniella elegantissima</i>	24427					0.000553
	<i>Monactinus simplex</i>	32004	Cf,				0.000876
	<i>Monoraphidium circinale</i>	5730	Cf,				0.006849

Embranchement	Nom taxon	Code Sandre	Cf.	19-mars	13-mai	30-juil.	25-sept.
CHLOROPHYTA	<i>Monoraphidium circinale</i>	5730		0.000274		0.006027	
	<i>Oocystis</i>	5752				0.005260	
	<i>Oocystis marssonii</i>	9240	Cf,				0.014575
	<i>Pandorina</i>	6045		0.025873			
	<i>Pandorina morum</i>	6046					0.003993
	<i>Pediastrum duplex</i>	5772			0.001037		
	<i>Planktosphaeria gelatinosa</i>	5782			0.001259		0.049532
	<i>Pseudopediastrum boryanum</i>	42835			0.007711	0.000983	0.002458
	<i>Radiococcaceae</i>	43542				0.004844	
	<i>Sphaerocystis schroeteri</i>	5880			0.002139		
	<i>Tetraedron minimum</i>	5888				0.030683	0.057531
	<i>Tetraselmis cordiformis</i>	5981		0.130711			0.108926
	<i>Volvocales indét</i>	6012		0.007689		0.007200	
	<i>Volvox aureus</i>	6061				0.020434	
CRYPTOPHYTA	<i>Cryptomonas</i>	6269		0.058254		0.038836	0.028656
	<i>Cryptomonas marssonii</i>	6273		0.026300	0.005012	0.026300	
	<i>Cryptomonas ovata</i>	6274	Cf,	0.045893	0.002916		
	<i>Cryptomonas pyrenoidifera</i>	20115	Cf,				0.091502
	<i>Cryptomonas rostratiformis</i>	6272			0.044166		
	<i>Plagioselmis lacustris</i>	9633		0.010958			
	<i>Plagioselmis nannoplantica</i>	9634		0.005370			0.026848
CYANOBACTERIA	<i>Aphanizomenon klebahnii</i>	35569					2.542330
	<i>Aphanocapsa</i>	6307					0.007890
	<i>Asterocapsa</i>	44791					0.059657
	<i>Chroococcales indét diam 2 - 10 µm</i>	4737				3.259180	
	<i>Chroococcus</i>	6355					0.006685
	<i>Coelosphaerium kuetzingianum</i>	6316					0.000548
	<i>Dolichospermum crassum</i>	33644					0.064633
	<i>Dolichospermum mendotae</i>	36075			0.014795	0.000143	
	<i>Dolichospermum plantonicum</i>	31959					0.029008
	<i>Pseudanabaena</i>	6453		0.008482	0.000539	0.011309	
	<i>Pseudanabaena mucicola</i>	6460	Cf,		0.012950		0.035012
	<i>Synechocystis aquatilis</i>	20270	Cf,				0.090351
	<i>Euglena 20-50 µm</i>	6479		0.000046			
EUGLENOZOA	<i>Trachelomonas granulosa</i>	6530					0.271766
HAPTOPHYTA	<i>Chryschromulina parva</i>	31903				0.000636	0.001589
MIOZOA	<i>Ceratium furcoides</i>	20323				0.004288	
	<i>Gymnodiniiales indét < 20 µm</i>	5011			0.000599		
	<i>Naiadinium polonicum</i>	42352				1.510140	0.168812
	<i>Parvodinium elpatiewskyi</i>	64504				0.323577	
OCHROPHYTA	<i>Acanthochloris</i>	41899				0.017227	
	<i>Characiopsis</i>	9601	Cf,		0.001679		
	<i>Goniochloris mutica</i>	6237					0.013150
	<i>Kephrion</i>	6150					0.006904
	<i>Nephrodiella lunaris</i>	9616				0.116596	0.020821
	<i>Trachydiscus sexangulatus</i>	38374					0.022163
Nombre de taxons				20	23	31	45
Biovolume (mm³/l)				1.298	0.118	8.799	15.649

4.2.3 EVOLUTIONS SAISONNIERES DES GROUPEMENTS PHYTOPLANCTONIQUES

Les graphiques suivants présentent la répartition du phytoplancton (relative) par groupe algal à partir des résultats exprimés en cellules/ml d'une part et à partir des biovolumes (mm^3/l) d'autre part. Sur chacun des graphiques, la courbe représente l'abondance totale par échantillon (Figure 13), et le biovolume de l'échantillon (Figure 14).

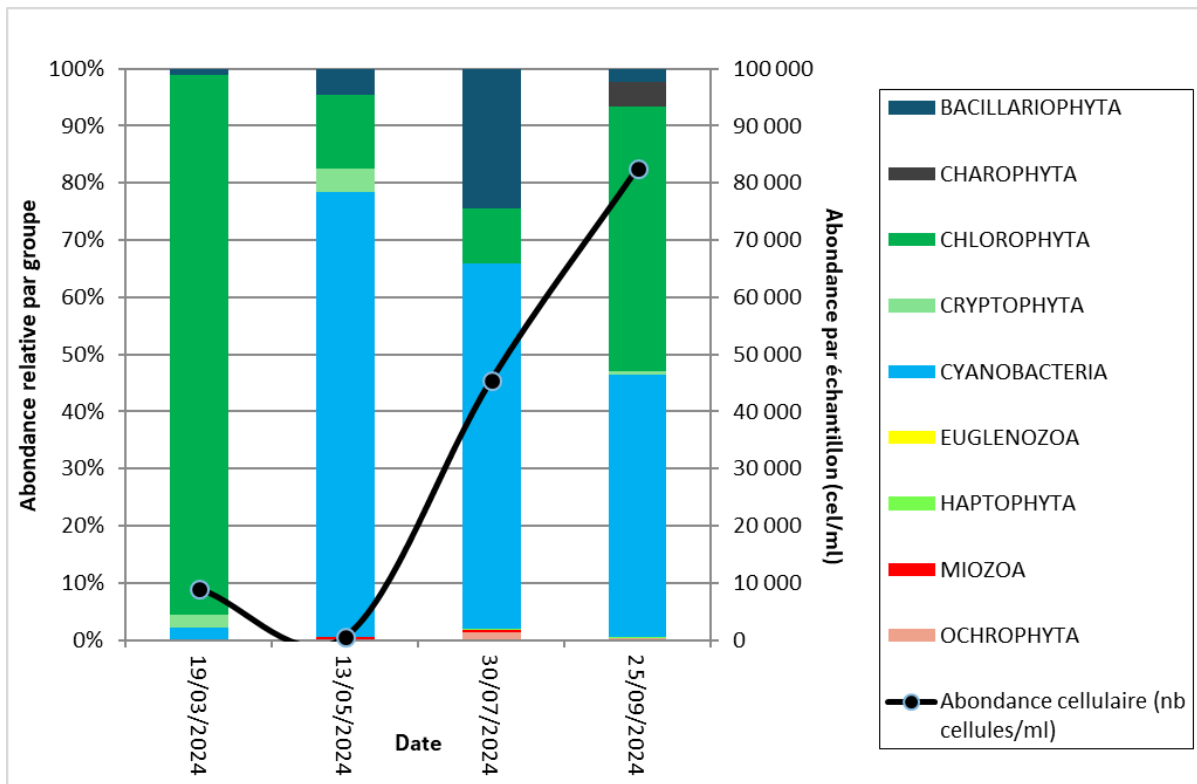


Figure 13 : Répartition du phytoplancton à partir des abondances (cellules/ml)

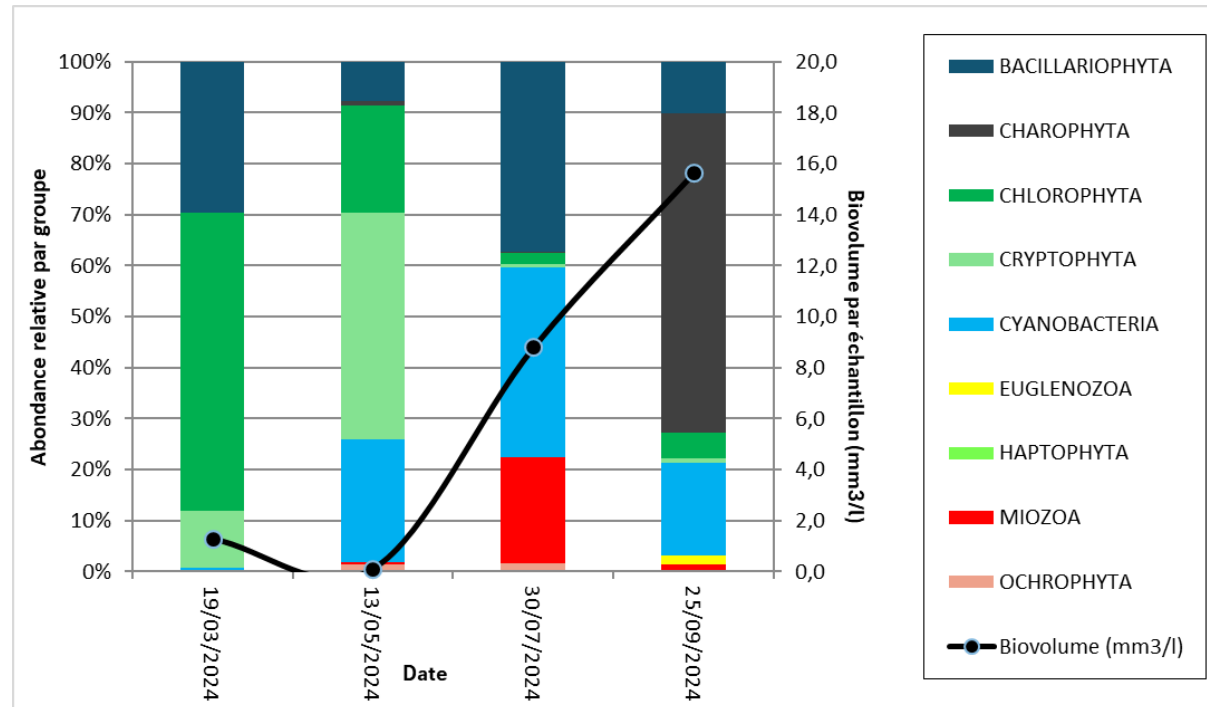


Figure 14 : Evolution saisonnière des biovolumes des principaux groupes algaux de phytoplancton (en mm^3/l)

Le peuplement de phytoplancton présente une productivité très fluctuante saisonnièrement avec des valeurs de biovolumes observés : modérée en mars ($1,3 \text{ mm}^3/\text{l}$), beaucoup plus faible en mai ($0,118 \text{ mm}^3/\text{l}$), nettement plus élevé en juillet ($8,8 \text{ mm}^3/\text{l}$), et vraiment très

élevée en septembre (15,6 mm³/l). Ces valeurs de biovolume correspondent en moyenne (6,5 mm³/l) à celles d'un milieu hypereutrophe (Willén, 2000). Les teneurs de chlorophylle *a*, quantifiées lors des 4 campagnes suivent les mêmes progressions, passant par un stade très peu productif en mai (1 µg/l). Elles correspondent cependant à un milieu moins enrichi en moyenne (5,5 µg/l), qualifié de milieu méso-eutrophe selon les seuils OCDE (1982).

Au sein des inventaires, la richesse taxonomique est modérée avec en moyenne 30 taxons identifiés, avec un pic à 45 taxons en septembre. Au total, seuls 24 taxons sur les 82 identifiés cotent pour l'IPLAC.

- En mars, un taxon n'ayant encore pas fait l'objet d'identification dans ce suivi occupe une majeure partie du phytoplancton inventorié (90% de l'abondance cellulaire, et 44% du biovolume). Après consultation de la bibliographie scientifique actuelle les critères morphologiques n'ont pas permis d'aboutir à une dénomination taxonomique certaine. Pour aller plus loin, des études moléculaires complémentaires semblent nécessaires. Après échange avec le laboratoire partenaire PHYTO-QUALITY, il a été décidé d'attribuer à ce taxon la dénomination de *Cf. Chlorella*, avec pour commentaire « Petites cellules ellipsoïdales sans pyrénoïde visible, s'apparentant à *Coccomyxa subellipsoidea*, *Choricystis nana* (Darienkos & al; 2015), *Choricystis nana* (Hindàk 1988), *Chlorella reisiglpii* (Broady, 1984) et *Auxenochlorella protothecoides* (Kalina & Puncochárová, 1987) ». Ces espèces apparentées sont de la classe trebouxyophyceae et ont pour point commun d'être aéroterrestres. Ainsi, la présence de ce taxon marque une influence terrestre du cortège phytoplanctonique sans doute lié aux fluctuations de niveau d'eau.
- La seconde campagne montre une baisse de productivité s'apparentant à la phase dite « des eaux claires », pouvant aussi être liée au régime hydraulique du barrage. On note une forte représentation d'une espèce de grande taille : *Cryptomonas rostratiformis* (38% du biovolume phytoplancton). Ces individus flagellés sont potentiellement favorisés par leur capacité de locomotion. Cette espèce est capable de phagotrophie en période d'absence de nutriment et tolère les milieux peu lumineux (groupe fonctionnel Reynolds Y).
- La troisième campagne présente une forte représentation de la diatomée rubanée *Fragilaria crotonensis* (Bacillaryophyta). Cette espèce est caractéristique des épilimnions eutrophes, elle est adaptée aux milieux stratifiés et riches en silice (groupe fonctionnel Reynolds P).

En termes d'abondance cellulaire, ce sont les cyanobactéries qui dominent les trois dernières campagnes (respectivement 78%, 64% et 46%). Il se succède *Dolichospermum mendotae/Pseudanabaena mucicola* (2^{nde} campagne), des chroococcales semblables à des cellules de *Microcystis* sénescentes (3^{ème} campagne) et *Aphanizomenon klebahnii* (4^{ème} campagne). Toutes ces espèces affectionnent les milieux eutrophes (Komárek, 2013). A noter qu'aucune de ces espèces n'est actuellement prise en compte dans le calcul de l'IPLAC.

Ces espèces sont potentiellement toxiques (Anses, 2020), tout comme quatre autres espèces inventoriées (*Aphanocapsa*, *Pseudanabaena*, *Pseudanabaena mucicola* et *Dolichospermum planctonicum*). En juillet et en septembre, les biovolumes de cyanobactéries potentiellement toxiques représentent un niveau d'alerte élevé pour les risques sanitaires (3.3 mm³/l, et 2.7 mm³/l - seuil d'alerte 1mm³/l ; Anses, 2020).

4.2.4 INDICE PHYTOPLANCTONIQUE IPLAC

L'indice phytoplancton lacustre ou IPLAC est calculé à partir du SEEE (v1.1.0 en date du 13/05/2025). Il s'appuie sur la moyenne pondérée de 2 métriques : l'une basée sur les teneurs en chlorophylle a ($\mu\text{g/l}$) (MBA ou métrique de biomasse algale totale), et l'autre sur la présence d'espèces indicatrices quantifiée en biovolume (mm^3/l) (MCS ou métrique de composition spécifique). Plus la valeur d'une métrique tend vers 1, plus la qualité est proche de la valeur prédictive en conditions de référence. Les 5 classes d'état sont fournies sur la Figure 4.

La classe d'état pour les deux métriques et l'IPLAC est donnée pour la retenue de Vinça dans le tableau suivant.

Code Lac	Nom Lac	Année	MBA	MCS	IPLAC	Classe IPLAC
Y0455043	VINCA	2024	0,493	0,503	0,500	MOY

Les profils écologiques des espèces printanières semblent liés à l'hydrodynamisme du barrage et les espèces estivales reflètent une forte disponibilité de nutriments. La métrique de composante spécifique obtenue (MCS=0,503), est surévaluée puisque les taxons de profil eutrophes dominants ne sont pas pris en compte dans le calcul de la note. La métrique de biomasse algale totale (MBA= 0,493) reflète les fortes productivités observées en fin d'été et début d'automne.

☞ La note IPLAC résultante de ces deux métriques est de 0,5. Elle correspond à une classe d' « état moyen » pour l'élément biologique phytoplancton. L'équilibre du milieu est très fluctuant et sensible à une eutrophisation, entraînant une présence de cyanobactéries potentiellement toxiques dépassant les seuils fixés par l'ANSES (2020).

4.2.5 COMPARAISON AVEC LES INVENTAIRES ANTERIEURS

L'historique des valeurs IPLAC acquises sur le plan d'eau de Vinça est présenté dans le Tableau 12.

Tableau 15 : Evolution des Indices IPLAC depuis 2009

Code lac	Nom Lac	Année	MBA	MCS	IPLAC	Classe IPLAC
Y0455043	VINCA	2009	0,051	0,316	0,237	Méd
Y0455043	VINCA	2012	0,286	0,486	0,426	MOY
Y0455043	VINCA	2015	0,346	0,480	0,440	MOY
Y0455043	VINCA	2018	0,130	0,570	0,438	MOY
Y0455043	VINCA	2021	0,291	0,561	0,480	MOY
Y0455043	VINCA	2024	0,493	0,503	0,500	MOY

Au niveau des indices, l'indice de 2009 était le plus faible (0.24 : état médiocre). L'IPLAC oscille ensuite entre 0.43 et 0.50 sur les 5 suivis réalisés. En 2024, les deux métriques constitutives de l'IPLAC présentent un état moyen, traduisant une productivité non négligeable.

Ces éléments indiquent une certaine stabilité de l'évaluation du compartiment phytoplancton à partir de l'IPLAC et qualifient l'élément de qualité phytoplancton de la retenue de Vinça en état moyen.

4.2.6 BIBLIOGRAPHIE

Anses (Agence nationale de sécurité sanitaire de l'alimentation, de l'environnement et du travail). 2020. Actualisation de l'évaluation des risques liés à la présence de cyanobactéries et leurs toxines dans les eaux destinées à l'alimentation, les eaux de loisirs et les eaux destinées aux activités de pêche professionnelle et de

loisir. - Avis de l'Anses, Rapport d'expertise collective, 438 pp.
<https://www.anses.fr/fr/system/files/EAUX2016SA0165Ra.pdf>

Komárek, J. 2013. Cyanoprokaryota 3. Teil: Heterocytous genera. Süßwasserflora von Mitteleuropa 19/3. Springer SpeKtrum edition. Springer, Berlin.

Organisation de coopération et de développement économiques, OCDE (1982). Eutrophisation des eaux. Méthodes de surveillance, d'évaluation et de lutte. Ed OCDE, Paris, 164p.

Reynolds, C. S., 2006 The Ecology of Phytoplankton (Cambridge University Press, 2006).
<https://doi.org/10.1017/CBO9780511542145>.

Willén E (2000) Phytoplankton in water quality assessment—an indicator concept. In: Heinonen P, Ziglio G, Van Der Beken A (eds) Hydrological and limnological aspects of lake monitoring. Wiley, New York

4.3 Macroinvertébrés lacustres

4.3.1 ECHANTILLONNAGE

L'échantillonnage a été réalisé par S.T.E. le 28 mai 2024 dans de bonnes conditions météorologiques (peu de vent) et sous un ciel ensoleillé. Les eaux étaient légèrement troubles. Les données relatives aux prélèvements (plan d'échantillonnage et caractéristiques du plan d'eau) font l'objet d'un rapport de campagne disponible en Annexe 4. La retenue est quasiment pleine et les substrats sont en eau depuis plus de trois semaines.



Figure 15 : Vue sur la retenue de Vinça lors des prélèvements IML

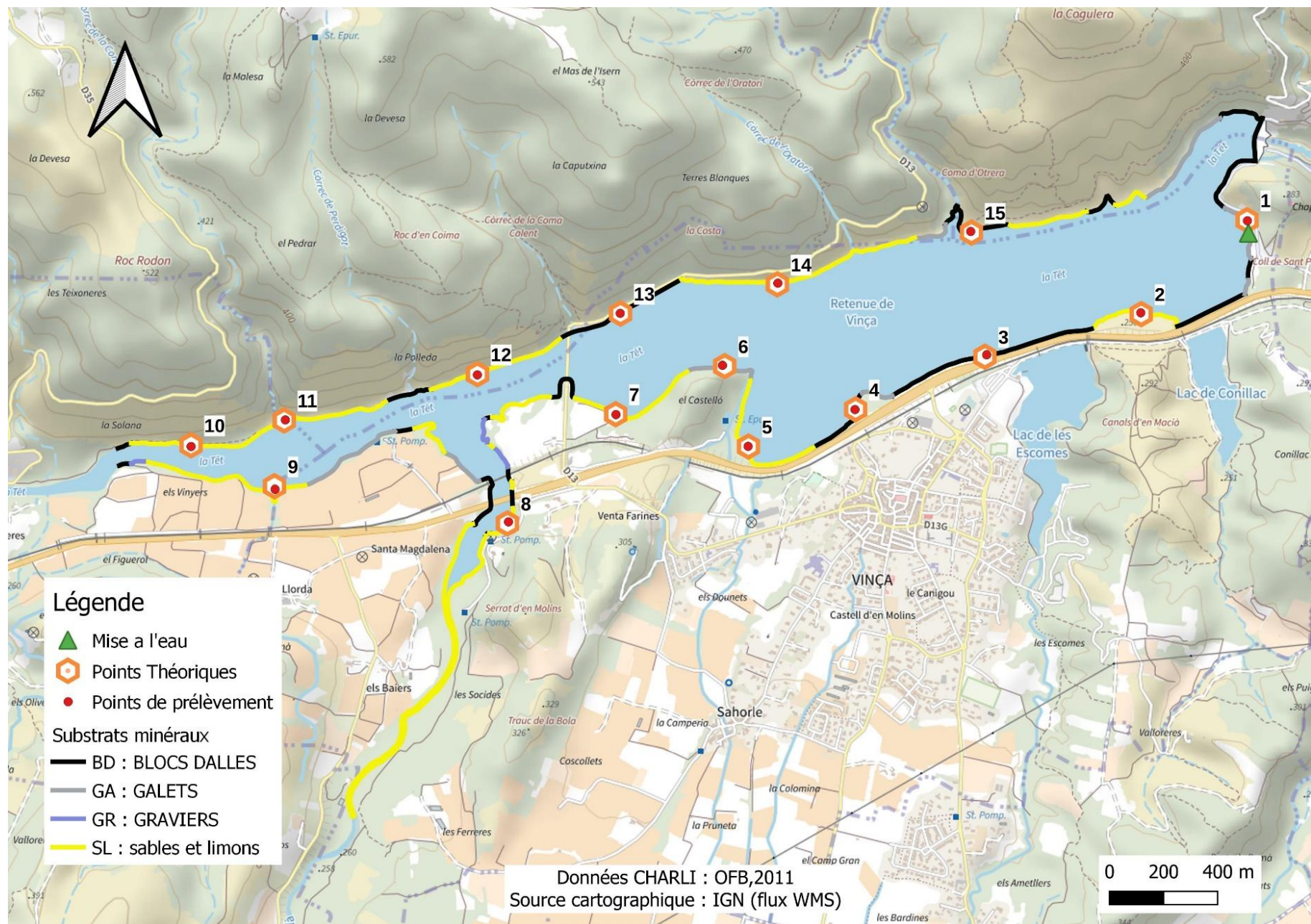
Le plan d'échantillonnage a été effectué à partir de la base de données CHARLI (données OFB 2011). Les substrats sont peu variés sur ce plan d'eau (Tableau 16) : Les sables (SL) dominent à 58% en zone littorale, des blocs/dalles sont présents à environ 28% et les galets comptent pour environ 14%. Les substrats observés et prélevés en 2024 correspondent aux substrats théoriques pour les 15 échantillons.

Tableau 16 : Recouvrements des substrats

Code lac	Code campagne	%recCHARLI	Substrat	Bryophytes	Hélophytes	Hydrophytes flottantes	Hydrophytes immergées	Litières	%rec adapté	Nombre échantillon théorique	Nombre final d'échantillons
VIN66	110607VIN66	57,23	SL	ABSENT	ABSENT	ABSENT	ABSENT	ABSENT	58,2%	8,7	9
VIN66	110607VIN66	28,32	BD	ABSENT	ABSENT	ABSENT	ABSENT	ABSENT	28,8%	4,3	4
VIN66	110607VIN66	12,85	GA	ABSENT	ABSENT	ABSENT	ABSENT	ABSENT	13,1%	2,0	2
VIN66	110607VIN66	1,6	GR	ABSENT	ABSENT	ABSENT	ABSENT	ABSENT			

Légende substrats : VA = vase (<0.002mm) ; SL = sable (<2mm) ; GR = graviers (2mm-2cm) ; GA = galets (2-20cm) ; BD = bloc-dalle (>20cm) ; HE : hélophytes, HI : hydrophytes immergées.

La carte en page suivante présente les points d'échantillonnage réalisés en 2024.



Carte 3 : Localisation des points de prélèvements IML sur la retenue de Vinça en 2024

4.3.2 LISTES FAUNISTIQUES

La détermination de la faune invertébrée (autre que *Chironomidae*) a été réalisée par STE, et celle des *Chironomidae* a été réalisé par ECOMA. Les listes obtenues sont présentées dans le Tableau 17.

Tableau 17 : Listes faunistiques du protocole IML sur la retenue de Vinça en 2024

FAMILLE	GENRE_TAXON	SANDRE	1	2	3	4	5	6	7	8	9	10	11	12	13	14	15	Eff.TOT =N
Caenidae	Caenis	457									2							2
Potamanthidae	Potamanthus	510										1						1
Corixidae	Micronectinae	20396													1			1
Elmidae (I,a)	Elmis (I,a)	618		1						2		2						5
Elmidae (I,a)	Esolus (I,a)	619										2						2
Elmidae (I,a)	Oulimnius (I,a)	622								2								2
Gyrinidae (I,a)	Gyrinus (I,a)	514								1								1
Chironomidae	indéterminés	807				2			6	5				9		14	3	39
Chironomidae	Ablabesmyia	2781					2					1						3
Chironomidae	Chironomus	817		2			11	2	5	6	49	6	10	1				92
Chironomidae	Cladotanytarsus	2862						1										1
Chironomidae	Corynoneura	2871									15	1		1		1		18
Chironomidae	Cricotopus/Orthocladius	2805	17	30		3	27	2	1	4	11	6	5	1	9	5	2	123
Chironomidae	Dicrotendipes	2839						1									1	2
Chironomidae	Glyptotendipes	2843											1					1
Chironomidae	Parachironomus	2851	4	8			2				3	1		2			1	21
Chironomidae	Paramerina	2787									1							1
Chironomidae	Paratanytarsus	2865	1			2								1			1	5
Chironomidae	Paratendipes	2853									1							1
Chironomidae	Phaenopsectra	2855									9		1					10
Chironomidae	Polydentalium	2856	4	23		1	40	3	10	3	5	56	59	32		7	1	244
Chironomidae	Procladius	2788						5				1	6	1				14
Chironomidae	Psectrocladius	2825	70	71	14	6	45	6	22	14	2	8	16	8	15	16	4	317
Chironomidae	Pseudorthocladius	2826											1					1
Chironomidae	Tanytarsus	2869					22		2	1	8	6	8	1			1	49
Chironomidae	ThienemannimyiaGroupe	2792											1					1
Ephydriidae	Ephydriidae	844								1								1
Limoniidae	Limoniidae	757								1								1
Crangonyctidae	Crangonyx	5116										5						5
Asellidae	Asellidae	880		2							9							11
Physidae	Physella	19280									1							1
Nombre de taxons par échantillon		5	7	1	4	9	6	6	11	12	13	11	10	2	6	9		31
Effectif par échantillon		96	137	14	12	156	15	46	40	114	97	109	57	24	44	15		976

4.3.3 INTERPRETATION ET INDICES

Les interprétations ci-après sont basées sur les indices calculés à l'aide de l'outil d'évaluation du SEEE. Conformément au Guide Technique IML (Avril 2022), pour les plans d'eau artificiels présentant un marnage annuel supérieur à 2m, ce qui est le cas de la retenue de Vinça, le potentiel écologique (PE) du plan d'eau doit être évalué au travers du calcul de l'IML_{PE}.

Les listes faunistiques témoignent d'une bonne diversité (31 taxons), tout comme la densité (651 ind./m²). Les échantillons contiennent en moyenne 7 taxons pour environ 65 individus.

Les indices calculés (outil d'évaluation SEEE, version 1.0.3) sont présentés dans le Tableau 18.

Tableau 18 : Indices relatifs à l'IML sur la retenue de Vinça

Nom du lac		Vinça	
Calcul de l'IML		Calcul des autres indices	
<i>Sous-indices :</i>		Densité (ind./m ²)	651
<i>sIML chimie</i>	0.529	Indice de Shannon	2.92
<i>sIML habitat</i>	0.717	Variété générique	31
<i>sIML marnage</i>	1	Variété générique <i>Chironomidae</i>	18
IML PE	0.749		
Classe d'état	Bon		

L'indice d'évaluation du potentiel écologique IML_{PE}, réservé aux lacs marnants, est bon avec une note de 0.749 sur ce plan d'eau.

Le sous-indice pour la chimie est moyen (0.529) révélant une légère altération de la qualité physico-chimique. Le sous-indice pour les habitats affiche un bon état avec une note de 0.717. Le sous-indice marnage est au plus haut avec une note de 1.

Les indices de diversité sont corrects et témoignent d'un peuplement plutôt équilibré et diversifié.

Les *Chironomidae* représentent près de 93% des effectifs sur le plan d'eau répartis en 18 genres. Parmi eux, le peuplement est dominé par des taxons très peu sensibles aux pollutions :

- Le Chironomonii *Psectrocladius* (32.5% de l'effectif global), qui est un taxon très peu sensible à la qualité physicochimique (sCHIM = 1/10) ;
- Le Chironomonii *Polypedilum* (25% de l'effectif global), qui est également très peu sensible à la qualité physicochimique (sCHIM = 1/10).
- Le Chironomonii *Cricotopus* (12.6% de l'effectif global), qui est peu sensible aux perturbations physicochimiques (sCHIM = 1/10).

Le taxon le plus sensible aux pollutions dans le peuplement de chironomes est *Pseudorthocladius* (sCHIM = 10/10), représenté par 1 seul individu.

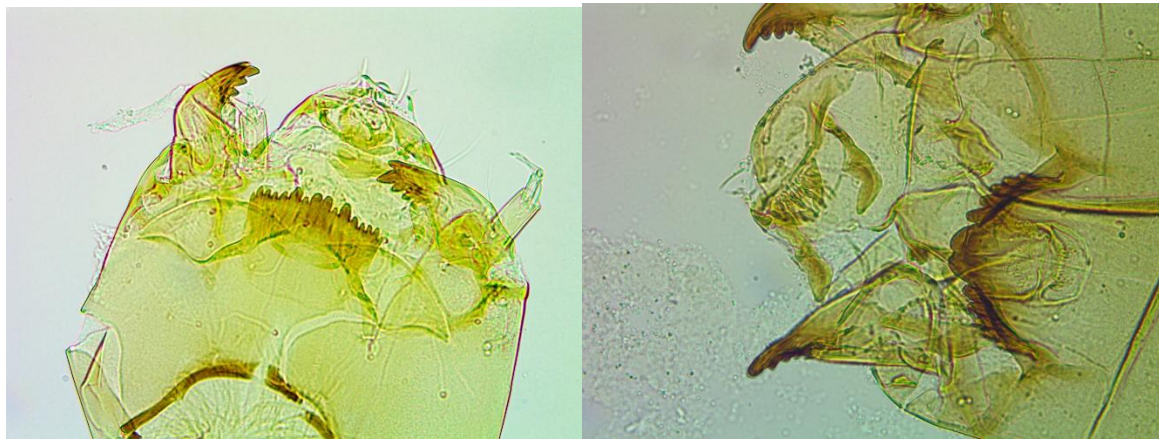


Figure 16 : à gauche : capsule céphalique de *Polypedilum* (x400), à droite : capsule céphalique de *Psectrocladius* (x400)

Le peuplement d'invertébrés hors chironomes est assez pauvre.

Deux taxons appartenant aux EPT (EPT = Ephémères, Plécoptères et Trichoptères) ont été inventoriés :

- 2 éphémères : *Caenis* et *Potamanthus* sont présents. Le 1^{er} taxon est peu exigeant, tandis que le second est sensible aux pollutions. Ce dernier n'est représenté que par un seul individu ; cela témoigne d'une qualité chimique plutôt moyenne.

Le peuplement d'invertébrés est assez diversifié mais dominé par des taxons peu sensibles aux pollutions. Les habitats littoraux restent assez pauvres sur cette retenue.

L'indice IML traduit une dégradation de la qualité physico-chimique, l'état moyen est conforme au niveau de trophie élevé du plan d'eau. Le plan d'eau subit de fortes variations de niveau d'eau entraînant brassage et déséquilibres dans l'hydrosystème. Toutefois, le sous-indice marnage qui est maximal ne traduit pas cette altération. L'indice IML apparaît ainsi surévalué.

↳ **Les résultats de l'indice IML indiquent un bon état de la faune benthique invertébrée sur la retenue de Vinça, qui apparaît cependant surévalué au regard du peuplement benthique présent et des fortes variations hydrauliques.**

4.3.4 COMPARAISON AVEC LES RESULTATS ANTERIEURS

L'IML_{PE} calculé sur les données acquises en 2021 lors du précédent échantillonnage IML conduit à une évaluation en très bon état de l'élément de qualité invertébrés (0.899). Les sous indices sIML_{CHIMIE} et sIML_{HABITAT} présentaient alors des résultats moins pénalisants (respectivement de classe BON, valeur 0.781 et de classe TB, valeur de 0.915).

L'indicateur IML calculé en 2024 est seulement bon (0.773) mais il semble plus conforme à l'état du milieu aquatique concerné. En effet, il traduit davantage la dégradation de la qualité physico-chimique de la retenue de Vinça.

5 Appréciation globale de la qualité du plan d'eau

Le suivi physicochimique et biologique 2024 sur la retenue de Vinça s'est déroulé conformément aux prescriptions de suivi de l'état écologique et l'état chimique des eaux douces de surface.

L'année 2024 a été globalement chaude et peu arrosée et la forte demande en eau pour l'irrigation, liée à la sécheresse a entraîné une importante baisse du plan d'eau durant l'été.

Les résultats obtenus sont synthétisés dans le tableau suivant.

Compartiment	Synthèse de la qualité du plan d'eau ⁴
Profils verticaux	Stratification thermique instable - brassages fréquents liés au faible temps de séjour des eaux. Eaux faiblement minéralisées. Désoxygénation marquée de l'hypolimnion en période estivale (C3) et partielle lors des autres campagnes.
Qualité physico-chimique des eaux	Charge organique faible à moyenne. Apports faibles en nitrates (0.65 mg/l) et moyens en phosphore Charge en phosphore notable sur la colonne d'eau (Ptot et PO4 systématiquement quantifiés) Charge en phosphore dans les eaux du fond -> relargage. Présence d'Arsenic dans les eaux (fond géochimique). Nombreux micropolluants organiques dont substances médicamenteuses
Qualité physico-chimique des sédiments	Charge moyenne en matière organique et faible à moyenne en nutriments. Mise en évidence d'un fort potentiel de relargage de phosphore depuis les sédiments. Sédiments riches en métaux : Al, Fe Contamination marquée en HAP. <i>Résultats d'analyses physico-chimique du compartiment sédimentaire assez atypique par rapport à l'historique sur ce plan d'eau</i>
Biologie - phytoplancton	Peuplement eutrophe (chlorophycées puis cyanobactéries). Production algale importante avec blooms algaux. IPLAC : État moyen
Biologie – macroinvertébrés	sIML_{CHIMIE} : 0.529 ; sIML_{HABITAT} : 0.717 ; sIML_{MARNAGE} = 1 IML : Bon état

L'ensemble des suivis physico-chimiques et biologiques 2024 indiquent un milieu aquatique de qualité moyenne avec une forte production primaire.

Les analyses physico-chimiques en zone euphotique montrent des apports faibles en nutriments azotés et moyens en éléments phosphorés dans le milieu aquatique. Des proliférations algales ont

⁴ il s'agit d'une interprétation des valeurs brutes observées (analyses physico-chimiques, peuplements biologiques) mais pas d'une stricte évaluation de l'Etat écologique et chimique selon les arrêtés en vigueur

encore été mises en évidence lors de ce suivi 2024 comme en témoigne la forte production primaire dans le plan d'eau (chlorophylle *a* et biomasse). Le phytoplancton présent est toujours caractéristique de milieux eutrophes.

L'analyse des micropolluants montre la présence de métaux lourds dans les eaux (Arsenic) et de nombreux micropolluants organiques (médicaments, HAP, solvants, herbicides) de manière récurrente. Le plan d'eau présente une certaine contamination chimique.

Les résultats d'analyses de sédiments obtenus pour la retenue de Vinça sont assez atypiques pour ce suivi 2024 comparativement aux suivis antérieurs ce qui interroge sur la validité de ces résultats. Ainsi, la charge en nutriments et en matière organique est étonnamment réduite, les eaux interstitielles restant cependant particulièrement chargées en phosphore. Un relargage des nutriments depuis les sédiments vers la masse d'eau est mesuré en période estivale avec des teneurs en phosphore et ammonium assez élevées mesurées dans les eaux du fond. Ce phénomène apporte des éléments azotés et phosphorés dans la masse d'eau pouvant stimuler le développement phytoplanctonique pendant l'été. Cette charge interne contribue à l'eutrophisation du milieu aquatique. La contamination élevée en HAP mise en évidence dans les sédiments pour ce suivi 2024, est peu cohérente avec les résultats antérieurs aux valeurs plus faibles. Les résultats des analyses sur sédiments seront à confirmer par de prochains suivis.

↳ **Comme lors des suivis antérieurs, les résultats du suivi 2024 montrent un milieu aquatique de qualité moyenne qui peut être qualifié d'eutrophe avec une forte production primaire et une charge interne dans les sédiments.**

6 Annexes

<u>6.1</u>	<u>Annexe 1 : Liste des micropolluants analysés sur eau</u>	49
<u>6.2</u>	<u>Annexe 2 : Liste des micropolluants analysés sur sédiments</u>	51
<u>6.3</u>	<u>Annexe 3 : Comptes-rendus des campagnes physico-chimiques et phytoplanctoniques</u>	61
<u>6.4</u>	<u>Annexe 4 : Compte rendus campagne IML</u>	63

6.1 Annexe 1 : Liste des micropolluants analysés sur eau

Code SANDRE paramètre	Libellé paramètre	Support/ Fraction d'analyse	Limite de Quantification	Unité
6751	1,7-Dimethylxanthine	Eau brute	0,02	µg/L
2934	1-(3-chloro-4-methylphenyl)uree	Eau brute	0,02	µg/L
7011	1-Hydroxy Ibuprofen	Eau brute	0,01	µg/L
8323	1-laureth sulfate	Eau brute	10	µg/L
7041	14-Hydroxyclarithromycin	Eau brute	0,005	µg/L
5399	17alpha-Estradiol	Eau brute	0,005	µg/L
1264	2 4 5 T	Eau brute	0,02	µg/L
1141	2 4 D	Eau brute	0,02	µg/L
2872	2 4 D isopropyl ester	Eau brute	0,005	µg/L
2873	2 4 D méthyl ester	Eau brute	0,005	µg/L
1142	2 4 DB	Eau brute	0,05	µg/L
1212	2 4 MCPA	Eau brute	0,005	µg/L
1213	2 4 MCPB	Eau brute	0,005	µg/L
2011	2 6 Dichlorobenzamide	Eau brute	0,005	µg/L
6649	2,4,7,9-Tetramethyl-5-decyne-4,7-diol	Eau brute	16	µg/L
7815	2,6-di-tert-butyl-4-méthylphénol	Eau brute	0,05	µg/L
6870	2-(3-trifluoromethylphenoxy)nicotinamide	Eau brute	0,005	µg/L
7012	2-Hydroxy Ibuprofen	Eau brute	0,01	µg/L
3159	2-hydroxy-desethyl-Atrazine	Eau brute	0,005	µg/L
8324	2-laureth sulfate	Eau brute	100	µg/L
2613	2-nitrotolène	Eau brute	0,02	µg/L
8327	2-éthylhexyl sulfate	Eau brute	10	µg/L
6022	2,4+2,5-dichloroanilines	Eau brute	0,05	µg/L
5695	3,4,5-Trimethacarb	Eau brute	0,005	µg/L
2820	3-Chloro-4 méthylaniline	Eau brute	0,05	µg/L
8301	4,5-dichloro-2-octyl-1,2-thiazol-3(2H)-one	Eau brute	0,05	µg/L
5367	4-Chlorobenzoic acid	Eau brute	0,1	µg/L
6536	4-Méthylbenzylidene camphor	Eau brute	0,02	µg/L
7816	4-méthoxycinnamate de 2-éthylhexyle	Eau brute	0,65	µg/L
5474	4-n-nonylphénol	Eau brute	0,1	µg/L
1958	4-nonylphénols ramifiés	Eau brute	0,1	µg/L
2610	4-tert-butylphénol	Eau brute	0,01	µg/L
1959	4-tert-octylphénol	Eau brute	0,03	µg/L
1907	AMPA	Eau brute	0,02	µg/L
2007	Abamectin	Eau brute	0,02	µg/L
6456	Acibutolol	Eau brute	0,005	µg/L
5579	Acetamiprid	Eau brute	0,005	µg/L
7136	Acetazolamide	Eau brute	0,02	µg/L
6856	Acetochlor ESA	Eau brute	0,03	µg/L
6862	Acetochlor OXA	Eau brute	0,03	µg/L
5581	Acibenzolar-S-Methyl	Eau brute	0,02	µg/L
5352	Acide (S)-6-hydroxy-alpha-méthyl-2-naphthalène acétique	Eau brute	0,1	µg/L
6735	Acide acetylsalicylique	Eau brute	0,02	µg/L
5408	Acide clofibrique	Eau brute	0,005	µg/L
6701	Acide diatrizoïque	Eau brute	0,02	µg/L
5369	Acide fenofibrique	Eau brute	0,005	µg/L
6538	Acide mefenamique	Eau brute	0,005	µg/L
1465	Acide monochloroacétique	Eau brute	0,2	µg/L
1521	Acide nitrilotriacétique (NTA)	Eau brute	5	µg/L
8618	Acide octafluoropentanoïque	Eau brute	0,01	µg/L
6549	Acide pentacosafluorotridecanoïque (PFTrDA)	Eau brute	0,01	µg/L
6509	Acide perfluoro-decanoïque (PFDA)	Eau brute	0,002	µg/L
6507	Acide perfluoro-dodecanoïque (PFDoDA)	Eau brute	0,002	µg/L
5980	Acide perfluoro-n-butanoïque (PBA)	Eau brute	0,002	µg/L
5977	Acide perfluoro-n-heptanoïque (PFHpA)	Eau brute	0,002	µg/L
5978	Acide perfluoro-n-hexanoïque (PFHxA)	Eau brute	0,002	µg/L
6508	Acide perfluoro-n-nonanoïque (PFNA)	Eau brute	0,002	µg/L
6510	Acide perfluoro-n-undecanoïque (PFUnDA)	Eau brute	0,002	µg/L
5347	Acide perfluoro-octanoïque (PFOA)	Eau brute	0,002	µg/L
6550	Acide perfluorodecane sulfonique (PFDS)	Eau brute	0,01	µg/L
8741	Acide perfluorododecane sulfonique	Eau brute	0,01	µg/L
6542	Acide perfluoroheptane sulfonique (PFHps)	Eau brute	0,002	µg/L
6830	Acide perfluorohexanesulfonique (PFHxS)	Eau brute	0,002	µg/L
8739	Acide perfluorononane sulfonique (PFNS)	Eau brute	0,01	µg/L
8738	Acide perfluoropentane sulfonique (PFPes)	Eau brute	0,001	µg/L
8742	Acide perfluorotridecane sulfonique	Eau brute	0,01	µg/L

8740	Acide perfluoroundecane sulfonique	Eau brute	0,01	µg/L
5355	Acide salicylique	Eau brute	0,05	µg/L
6025	Acide sulfonique de perfluorobutane (PFBS)	Eau brute	0,002	µg/L
6561	Acide sulfonique de perfluorooctane (Sul PFOS)	Eau brute	0,002	µg/L
8858	Acide trifluoroacétique (TFA)	Eau brute	10	µg/L
1970	Acifluorfen	Eau brute	0,02	µg/L
1688	Aclonifen	Eau brute	0,001	µg/L
1310	Acrinathrine	Eau brute	0,005	µg/L
1622	Acénaphtyène	Eau brute	0,005	µg/L
1453	Acénaphthène	Eau brute	0,005	µg/L
1100	Acéphate	Eau brute	0,005	µg/L
1454	Acétaldehyde	Eau brute	5	µg/L
1903	Acétochlore	Eau brute	0,005	µg/L
6800	Alachlor ESA	Eau brute	0,03	µg/L
6855	Alachlor OXA	Eau brute	0,03	µg/L
1101	Alachlore	Eau brute	0,005	µg/L
6740	Albendazole	Eau brute	0,005	µg/L
1102	Aldicarbe	Eau brute	0,005	µg/L
1807	Aldicarbe sulfone	Eau brute	0,02	µg/L
1806	Aldicarbe sulfoxide	Eau brute	0,02	µg/L
1103	Aldrine	Eau brute	0,001	µg/L
7501	Allyxycarbe	Eau brute	0,005	µg/L
1697	Aléthrine	Eau brute	0,03	µg/L
5370	Alprazolam	Eau brute	0,01	µg/L
1370	Aluminium	Eau filtrée ou centrifugée	2	µg(Al)/L
7842	Ametoctradine	Eau brute	0,02	µg/L
5697	Amidithion	Eau brute	0,005	µg/L
2012	Amidosulfuron	Eau brute	0,005	µg/L
5523	Aminocarbe	Eau brute	0,005	µg/L
2537	Aminochlorophénol-2,4	Eau brute	0,1	µg/L
7580	Aminopyralid	Eau brute	0,1	µg/L
1105	Aminotriazole	Eau brute	0,03	µg/L
7516	Amiprofos-méthyl	Eau brute	0,005	µg/L
1308	Amitraze	Eau brute	0,001	µg/L
6967	Amitriptyline	Eau brute	0,005	µg/L
6781	Amiodipine	Eau brute	0,05	µg/L
6719	Amoxicilline	Eau brute	0,02	µg/L
1104	Ametryne	Eau brute	0,005	µg/L
5385	Androstenedione	Eau brute	0,005	µg/L
6594	Anilofos	Eau brute	0,005	µg/L
1458	Anthracène	Eau brute	0,005	µg/L
2013	Anthraquinone	Eau brute	0,005	µg/L
1376	Antimoine	Eau filtrée ou centrifugée	0,5	µg(Sb)/L
1368	Argent	Eau filtrée ou centrifugée	0,01	µg(Ag)/L
1369	Arsenic	Eau filtrée ou centrifugée	0,05	µg(As)/L
1965	Asulame	Eau brute	0,01	µg/L
5361	Atenolol	Eau brute	0,005	µg/L
1107	Atrazine	Eau brute	0,005	µg/L
1832	Atrazine 2 hydroxy	Eau brute	0,02	µg/L
1109	Atrazine désisopropyl	Eau brute	0,005	µg/L
1108	Atrazine désothyl	Eau brute	0,005	µg/L
1830	Atrazine désothyl désisopropyl	Eau brute	0,02	µg/L
3160	Atrazine-désothyl-2-hydroxy	Eau brute	0,02	µg/L
2014	Azaconazole	Eau brute	0,005	µg/L
2015	Azaméthiphos	Eau brute	0,02	µg/L
2937	Azimsulfuron	Eau brute	0,005	µg/L
1111	Azinphos méthyl	Eau brute	0,005	µg/L
1110	Azinphos éthyl	Eau brute	0,005	µg/L
7817	Azithromycine	Eau brute	0,5	µg/L
1951	Azoxystrobine	Eau brute	0,005	µg/L
6231	BDE 181	Eau brute	0,0005	µg/L
5986	BDE 203	Eau brute	0,0015	µg/L
5997	BDE 205	Eau brute	0,0015	µg/L
2915	BDE100	Eau brute	0,0002	µg/L
2913	BDE138	Eau brute	0,0002	µg/L
2912	BDE153	Eau brute	0,0002	µg/L
2911	BDE154	Eau brute	0,0002	µg/L
2921	BDE17	Eau brute	0,0002	µg/L
2910	BDE183	Eau brute	0,0002	µg/L
2909	BDE190	Eau brute	0,0005	µg/L

1815	BDE209	Eau brute	0,005	µg/L
2920	BDE28	Eau brute	0,0002	µg/L
2919	BDE47	Eau brute	0,0002	µg/L
2918	BDE66	Eau brute	0,0002	µg/L
2917	BDE71	Eau brute	0,0002	µg/L
7437	BDE77	Eau brute	0,0002	µg/L
2914	BDE85	Eau brute	0,0002	µg/L
2916	BDE99	Eau brute	0,0002	µg/L
7423	BENALAXYL-M	Eau brute	0,005	µg/L
1396	Baryum	Eau filtrée ou centrifugée	0,5	µg(Ba)/L
7522	Beffubutamide	Eau brute	0,01	µg/L
1329	Bendiocarbe	Eau brute	0,005	µg/L
1112	Benfluraline	Eau brute	0,005	µg/L
2924	Benfuracarbe	Eau brute	0,01	µg/L
2074	Benoxacor	Eau brute	0,005	µg/L
5512	Bensulfuron-méthyl	Eau brute	0,005	µg/L
6595	Bensulide	Eau brute	0,005	µg/L
1113	Bentazone	Eau brute	0,02	µg/L
7460	Benthiavalicarbe-isopropyl	Eau brute	0,005	µg/L
1764	Benthiocarbe	Eau brute	0,005	µg/L
8306	Benzisothiazolinone	Eau brute	0,1	µg/L
1082	Benzo (a) Anthracène	Eau brute	0,001	µg/L
1115	Benzo (a) Pyrène	Eau brute	0,001	µg/L
1116	Benzo (b) Fluoranthène	Eau brute	0,0005	µg/L
1118	Benzo (ghi) Pérylène	Eau brute	0,0005	µg/L
1117	Benzo (k) Fluoranthène	Eau brute	0,0005	µg/L
7543	Benzotriazole	Eau brute	0,02	µg/L
1924	Benzyl butyl phthalate	Eau brute	0,05	µg/L
1114	Benzène	Eau brute	0,5	µg/L
1377	Beryllium	Eau filtrée ou centrifugée	0,01	µg(Be)/L
3209	Beta cyfluthrine	Eau brute	0,01	µg/L
6457	Betaxolol	Eau brute	0,005	µg/L
5366	Bezafibrate	Eau brute	0,005	µg/L
1120	Bifenthrine	Eau brute	0,005	µg/L
1119	Bifénox	Eau brute	0,005	µg/L
1502	Bioresméthrine	Eau brute	0,005	µg/L
1584	Biphényle	Eau brute	0,005	µg/L
6453	Bisoprolol	Eau brute	0,005	µg/L
7594	Bisphénol S	Eau brute	0,05	µg/L
2766	Bisphénol-A	Eau brute	0,02	µg/L
1529	Bitertanol	Eau brute	0,005	µg/L
7104	Bithionol	Eau brute	0,05	µg/L
7345	Bixafen	Eau brute	0,005	µg/L
1362	Bore	Eau filtrée ou centrifugée	10	µg(B)/L
5526	Boscalid	Eau brute	0,005	µg/L
5546	Brodifacoum	Eau brute	0,5	µg/L
1686	Bromacil	Eau brute	0,005	µg/L
1859	Bromadiolone	Eau brute	0,05	µg/L
5371	Bromazepam	Eau brute	0,01	µg/L
1121	Bromochlorméthane	Eau brute	0,5	µg/L
1122	Bromoforme	Eau brute	0,5	µg/L
1124	Bromophos méthyl	Eau brute	0,005	µg/L
1123	Bromophos éthyl	Eau brute	0,005	µg/L
1685	Bromopropylate	Eau brute	0,005	µg/L
1125	Bromoxynil	Eau brute	0,005	µg/L
1941	Bromoxynil octanoate	Eau brute	0,01	µg/L
1860	Bromoconazole	Eau brute	0,005	µg/L
1530	Bromure de méthyle	Eau brute	0,05	µg/L
7502	Bufencarbe	Eau brute	0,02	µg/L
6742	Bufomedil	Eau brute	0,005	µg/L
1861	Bupirimimate	Eau brute	0,01	µg/L
6518	Bupivacaine	Eau brute	0,005	µg/L
1862	Buprofazine	Eau brute	0,005	µg/L
5710	Butamifos	Eau brute	0,005	µg/L
1126	Butraline	Eau brute	0,005	µg/L
1531	Buturon	Eau brute	0,005	µg/L
7038	Butylate	Eau brute	0,03	µg/L
1855	Butylbenzène n	Eau brute	0,5	µg/L
1610	Butylbenzène sec	Eau brute	0,5	µg/L
1611	Butylbenzène tert	Eau brute	0,5	µg/L

1687	Bénalaxyl	Eau brute	0,005	µg/L
2729	CYCLOXYDIME	Eau brute	0,005	µg/L
1388	Cadmium	Eau filtrée ou centrifugée	0,01	µg(Cd)/L
1863	Cadusafos	Eau brute	0,005	µg/L
6519	Cafeïne	Eau brute	0,05	µg/L
1127	Captafol	Eau brute	0,01	µg/L
1128	Captane	Eau brute	0,01	µg/L
5296	Carbamazepine	Eau brute	0,005	µg/L
6725	Carbamazepine époxide	Eau brute	0,005	µg/L
1463	Carbaryl	Eau brute	0,005	µg/L
1129	Carbendazime	Eau brute	0,005	µg/L
1130	Carbofuran	Eau brute	0,005	µg/L
1805	Carbofuran 3 hydroxy	Eau brute	0,005	µg/L
1131	Carbophénothion	Eau brute	0,005	µg/L
2975	Carboxine	Eau brute	0,005	µg/L
6842	Carboxyibuprofen	Eau brute	0,1	µg/L
1333	Carbétamide	Eau brute	0,005	µg/L
2976	Carfentrazole-ethyl	Eau brute	0,005	µg/L
1865	Chinométhionate	Eau brute	0,005	µg/L
7500	Chlorantranilliprole	Eau brute	0,005	µg/L
1336	Chlorbufame	Eau brute	0,02	µg/L
7010	Chlordane alpha	Eau brute	0,005	µg/L
1757	Chlordane beta	Eau brute	0,005	µg/L
5553	Chlorefenazon	Eau brute	0,005	µg/L
2861	Chlorenapyr	Eau brute	0,01	µg/L
1464	Chlorfenvinphos	Eau brute	0,005	µg/L
2950	Chlorfluazuron	Eau brute	0,01	µg/L
1133	Chloridazone	Eau brute	0,005	µg/L
5522	Chlorimuron-ethyl	Eau brute	0,02	µg/L
5405	Chlormadinone	Eau brute	0,01	µg/L
7709	Chlormadinone-acétate	Eau brute	0,01	µg/L
5554	Chlormequat	Eau brute	0,03	µg/L
2097	Chlormequat chlorure	Eau brute	0,038	µg/L
1134	Chlorméphos	Eau brute	0,005	µg/L
1955	Chloroalcanes C10-C13	Eau brute	0,15	µg/L
1593	Chloroaniline-2	Eau brute	0,02	µg/L
1592	Chloroaniline-3	Eau brute	0,02	µg/L
1591	Chloroaniline-4	Eau brute	0,02	µg/L
1467	Chlorobenzène	Eau brute	0,5	µg/L
2016	Chlorobromuron	Eau brute	0,005	µg/L
1135	Chloroforme (Trichlorométhane)	Eau brute	0,5	µg/L
1736	Chlorométhane	Eau brute	0,5	µg/L
2821	Chlorométhylaniline-4,2	Eau brute	0,02	µg/L
1636	Chlorométhylphénol-4,3	Eau brute	0,02	µg/L
1594	Chloronitroaniline-4,2	Eau brute	0,1	µg/L
1469	Chloronitrobenzène-1,2	Eau brute	0,01	µg/L
1468	Chloronitrobenzène-1,3	Eau brute	0,01	µg/L
1470	Chloronitrobenzène-1,4	Eau brute	0,01	µg/L
1341	Chloronébre	Eau brute	0,005	µg/L
1684	Chlorophacinone	Eau brute	0,02	µg/L
1471	Chlorophénol-2	Eau brute	0,01	µg/L
1651	Chlorophénol-3	Eau brute	0,05	µg/L
1650	Chlorophénol-4	Eau brute	0,05	µg/L
2065	Chloropropène-3	Eau brute	0,5	µg/L
2611	Chloroprène	Eau brute	0,5	µg/L
1473	Chlorothalonil	Eau brute	0,001	µg/L
7717	Chlorothalonil SA	Eau brute	0,03	µg/L
7715	Chlorothalonil-4-hydroxy	Eau brute	0,005	µg/L
1602	Chlorotoluène-2	Eau brute	0,5	µg/L
1601	Chlorotoluène-3	Eau brute	0,5	µg/L
1600	Chlorotoluène-4	Eau brute	0,5	µg/L
1683	Chloroxuron	Eau brute	0,005	µg/L
1853	Chlorothiane	Eau brute	0,5	µg/L
1474	Chloroprophame	Eau brute	0,005	µg/L
1540	Chlorpyriphos méthyl	Eau brute	0,005	µg/L
1083	Chlorpyriphos éthyl	Eau brute	0,005	µg/L
1353	Chlorsulfuron	Eau brute	0,005	µg/L
6743	Chlortetracycline	Eau brute	0,1	µg/L
2966	Chlorthal diméthyl	Eau brute	0,005	µg/L
1813	Chlorthiamide	Eau brute	0,01	µg/L

5723	Chlorthiophos	Eau brute	0,02	µg/L
1136	Chlortoluron	Eau brute	0,005	µg/L
2715	Chlorure de Benzylidène	Eau brute	0,1	µg/L
2977	Chlorure de choline	Eau brute	0,1	µg/L
6636	Chlorure de diidéyl dimethyl ammonium	Eau brute	10	µg/L
1753	Chlorure de vinyle	Eau brute	0,05	µg/L
1389	Chrome	Eau filtrée ou centrifugée	0,5	µg(Cr)/L
1476	Chrysène	Eau brute	0,005	µg/L
5481	Cinosulfuron	Eau brute	0,005	µg/L
6540	Ciprofloxacine	Eau brute	0,02	µg/L
6537	Clarithromycine	Eau brute	0,005	µg/L
6968	Clenbuterol	Eau brute	0,005	µg/L
2978	Clethodim	Eau brute	0,005	µg/L
6792	Clindamycine	Eau brute	0,005	µg/L
2095	Clodinafop-propargyl	Eau brute	0,005	µg/L
1868	Clofentazine	Eau brute	0,005	µg/L
2017	Clomazone	Eau brute	0,005	µg/L
8743	Clopidol	Eau brute	1	µg/L
1810	Clopyralide	Eau brute	0,02	µg/L
2018	Clouquintocet mexyl	Eau brute	0,005	µg/L
8309	Clorophène	Eau brute	0,5	µg/L
6748	Clorsulone	Eau brute	0,01	µg/L
6389	Clotrianidine	Eau brute	0,005	µg/L
5360	Clotrimazole	Eau brute	0,005	µg/L
1379	Cobalt	Eau filtrée ou centrifugée	0,05	µg(Co)/L
6520	Cotinine	Eau brute	0,005	µg/L
2972	Coumafène	Eau brute	0,005	µg/L
1682	Coumaphos	Eau brute	0,02	µg/L
2019	Coumatétrayl	Eau brute	0,005	µg/L
3285	Crotamiton	Eau brute	0,05	µg/L
5724	Crotoxyphos	Eau brute	0,005	µg/L
5725	Crufomate	Eau brute	0,005	µg/L
1640	Crésol-ortho	Eau brute	0,01	µg/L
1638	Crésol-para	Eau brute	0,1	µg/L
1392	Cuivre	Eau filtrée ou centrifugée	0,1	µg(Cu)/L
6391	Cumyluron	Eau brute	0,005	µg/L
1137	Cyanazine	Eau brute	0,005	µg/L
5726	Cyanofenphos	Eau brute	0,005	µg/L
1084	Cyanures libres	Eau filtrée ou centrifugée	0,2	µg(CN)/L
5567	Cyazofamid	Eau brute	0,005	µg/L
5568	Cycloate	Eau brute	0,02	µg/L
6733	Cyclophosphamide	Eau brute	0,001	µg/L
1696	Cycluron	Eau brute	0,005	µg/L
1681	Cyfluthrine	Eau brute	0,005	µg/L
5569	Cyhalofop-butyl	Eau brute	0,02	µg/L
1138	Cyhalothrine	Eau brute	0,005	µg/L
1139	Cymoxanil	Eau brute	0,005	µg/L
1140	Cyperméthrine	Eau brute	0,005	µg/L
1680	Cyproconazole	Eau brute	0,005	µg/L
1359	Cyprodinil	Eau brute	0,005	µg/L
7801	Cyprosulfamide	Eau brute	0,005	µg/L
2897	Cyromazine	Eau brute	0,02	µg/L
7503	Cythiate	Eau brute	0,02	µg/L
8310	Cétolypyridium	Eau brute	10	µg/L
1929	DCPMU (métabolite du Diuron)	Eau brute	0,005	µg/L
1930	DCPU (métabolite Diuron)	Eau brute	0,005	µg/L
1143	DDD-o,p'	Eau brute	0,001	µg/L
1144	DDD-p,p'	Eau brute	0,001	µg/L
1145	DDE-o,p'	Eau brute	0,001	µg/L
1146	DDE-p,p'	Eau brute	0,001	µg/L
1147	DDT-o,p'	Eau brute	0,001	µg/L
1148	DDT-p,p'	Eau brute	0,001	µg/L
6616	DEHP	Eau brute	0,4	µg/L
1490	DNOC	Eau brute	0,02	µg/L
7515	DPU (Diphenylurée)	Eau brute	0,005	µg/L
5930	Daimuron	Eau brute	0,005	µg/L
2094	Dalapon	Eau brute	0,02	µg/L
5597	Daminozide	Eau brute	0,03	µg/L
6677	Danofloxacine	Eau brute	0,1	µg/L
1149	Deltaméthrine	Eau brute	0,001	µg/L

2980	Desmediphame	Eau brute	0,005	µg/L
2738	Desméthylisoproturon	Eau brute	0,005	µg/L
1155	Desmétryne	Eau brute	0,005	µg/L
6785	Desvenlafaxine	Eau brute	0,01	µg/L
6574	Dexamethasone	Eau brute	0,05	µg/L
2538	Di iso heptyl phthalate	Eau brute	0,1	µg/L
3342	Di-n-octyl phthalate	Eau brute	0,1	µg/L
1156	Diallate	Eau brute	0,02	µg/L
5372	Diazepam	Eau brute	0,005	µg/L
1157	Diazinon	Eau brute	0,005	µg/L
1621	Dibenzo (ah) Anthracène	Eau brute	0,001	µg/L
1479	Dibromo-1,2 chloro-3propane	Eau brute	0,5	µg/L
1738	Dibromoacétonitrile	Eau brute	5	µg/L
1158	Dibromochlorométhane	Eau brute	0,05	µg/L
1513	Dibromométhane	Eau brute	0,5	µg/L
1498	Dibromoéthane-1,2	Eau brute	0,05	µg/L
7074	Didbutyletan cation	Eau brute	0,00039	µg/L
1480	Dicamba	Eau brute	0,03	µg/L
1679	Dichlobenil	Eau brute	0,005	µg/L
1159	Dichlofenthion	Eau brute	0,005	µg/L
1360	Dichlofluoride	Eau brute	0,005	µg/L
2929	Dichlorimide	Eau brute	0,01	µg/L
1589	Dichloroaniline-2,4	Eau brute	0,02	µg/L
1588	Dichloroaniline-2,5	Eau brute	0,02	µg/L
1586	Dichloroaniline-3,4	Eau brute	0,01	µg/L
1585	Dichloroaniline-3,5	Eau brute	0,01	µg/L
1165	Dichlorobenzène-1,2	Eau brute	0,05	µg/L
1164	Dichlorobenzène-1,3	Eau brute	0,5	µg/L
1166	Dichlorobenzène-1,4	Eau brute	0,05	µg/L
1167	Dichlorobromométhane	Eau brute	0,05	µg/L
1485	Dichlorodifluorométhane	Eau brute	0,5	µg/L
1168	Dichlorométhane	Eau brute	5	µg/L
1617	Dichloronitrobenzène-2,3	Eau brute	0,02	µg/L
1616	Dichloronitrobenzène-2,4	Eau brute	0,01	µg/L
1615	Dichloronitrobenzène-2,5	Eau brute	0,01	µg/L
1614	Dichloronitrobenzène-3,4	Eau brute	0,01	µg/L
1613	Dichloronitrobenzène-3,5	Eau brute	0,02	µg/L
2981	Dichlorophène	Eau brute	0,005	µg/L
1645	Dichlorophénol-2,3	Eau brute	0,01	µg/L
1486	Dichlorophénol-2,4	Eau brute	0,02	µg/L
1649	Dichlorophénol-2,5	Eau brute	0,02	µg/L
1647	Dichlorophénol-3,4	Eau brute	0,01	µg/L
1655	Dichloropropane-1,2	Eau brute	0,2	µg/L
1654	Dichloropropane-1,3	Eau brute	0,5	µg/L
2081	Dichloropropane-2,2	Eau brute	0,05	µg/L
1834	Dichloropropylène-1,3 Cis	Eau brute	0,05	µg/L
1835	Dichloropropylène-1,3 Trans	Eau brute	0,05	µg/L
1653	Dichloropropylène-2,3	Eau brute	0,5	µg/L
2082	Dichloropropène-1,1	Eau brute	0,5	µg/L
1169	Dichlorprop	Eau brute	0,02	µg/L
2544	Dichlorprop-P	Eau brute	0,02	µg/L
1170	Dichlorvos	Eau brute	0,0002	µg/L
1160	Dichloréthane-1,1	Eau brute	0,5	µg/L
1161	Dichloréthane-1,2	Eau brute	0,5	µg/L
1162	Dichloréthylène-1,1	Eau brute	0,5	µg/L
1456	Dichloréthylène-1,2 cis	Eau brute	0,05	µg/L
1727	Dichloréthylène-1,2 trans	Eau brute	0,5	µg/L
5349	Diclofenac	Eau brute	0,005	µg/L
1171	Diclofop méthyl	Eau brute	0,005	µg/L
8308	Diclosan	Eau brute	0,5	µg/L
1172	Dicofol	Eau brute	0,005	µg/L
5525	Dicrotophos	Eau brute	0,005	µg/L
6696	Dicyclanil	Eau brute	0,01	µg/L
2847	Didéméthylisoproturon	Eau brute	0,005	µg/L
1173	Dieldrine	Eau brute	0,001	µg/L
7507	Dienestrol	Eau brute	0,005	µg/L
2628	Diethylstilbestrol	Eau brute	0,005	µg/L
2982	Difenacoum	Eau brute	0,005	µg/L
5524	Difenoxuron	Eau brute	0,005	µg/L
2983	Difethialone	Eau brute	0,02	µg/L

1488	Diflubenzuron	Eau brute	0,02	µg/L
1814	Diflufenicanil	Eau brute	0,001	µg/L
1905	Difenoconazole	Eau brute	0,005	µg/L
2539	Dihexyl phthalate	Eau brute	0,1	µg/L
6647	Dihydrocodeine	Eau brute	0,005	µg/L
5325	Diisobutyl phthalate	Eau brute	0,4	µg/L
6658	Diisodecyl phthalate	Eau brute	5	µg/L
6729	Diltiazem	Eau brute	0,005	µg/L
7142	Dimepiperate	Eau brute	0,005	µg/L
5737	Dimethametryn	Eau brute	0,005	µg/L
6865	Dimethenamid ESA	Eau brute	0,01	µg/L
5617	Dimethenamid-P	Eau brute	0,03	µg/L
6972	Dimethylvinphos	Eau brute	0,005	µg/L
1870	Diméfuron	Eau brute	0,005	µg/L
2546	Diméthachlore	Eau brute	0,005	µg/L
7727	Diméthachlore CGA 369873	Eau brute	0,02	µg/L
6381	Diméthachlore-ESA	Eau brute	0,02	µg/L
6380	Diméthachlore-OXA	Eau brute	0,01	µg/L
1175	Diméthoate	Eau brute	0,01	µg/L
1403	Diméthomorphe	Eau brute	0,005	µg/L
2773	Diméthylamine	Eau brute	10	µg/L
1641	Diméthylphénol-2,4	Eau brute	0,02	µg/L
1678	Diméthénamide	Eau brute	0,005	µg/L
7735	Diméthénamide OXA	Eau brute	0,01	µg/L
1698	Dimétilan	Eau brute	0,005	µg/L
1871	Diniconazole	Eau brute	0,005	µg/L
1578	Dinitrotoluène-2,4	Eau brute	0,5	µg/L
1577	Dinitrotoluène-2,6	Eau brute	0,5	µg/L
5619	Dinocap	Eau brute	0,05	µg/L
1491	Dinosébe	Eau brute	0,005	µg/L
1176	Dinoterbe	Eau brute	0,03	µg/L
7494	Diocetyltaïn cation	Eau brute	0,00058	µg/L
5743	Dioxacarb	Eau brute	0,005	µg/L
2540	Dipentyl phthalate	Eau brute	0,1	µg/L
7495	Diphenyltaïn cation	Eau brute	0,00046	µg/L
2541	Dipropyl phthalate	Eau brute	0,1	µg/L
1699	Diquat	Eau brute	0,03	µg/L
1492	Disulfoton	Eau brute	0,01	µg/L
5745	Ditalimfos	Eau brute	0,05	µg/L
1966	Dithianon	Eau brute	0,1	µg/L
1177	Diuron	Eau brute	0,005	µg/L
1402	Diéthofencarbe	Eau brute	0,005	µg/L
1527	Diéthyl phthalate	Eau brute	0,05	µg/L
2826	Diéthylamine	Eau brute	6	µg/L
2933	Dodine	Eau brute	0,02	µg/L
8297	Dodecyl diméthyl benzyl ammonium	Eau brute	10	µg/L
6969	Doxepine	Eau brute	0,005	µg/L
6791	Doxycycline	Eau brute	0,02	µg/L
6714	Dydrogesterone	Eau brute	0,02	µg/L
1153	Déméton S méthyl	Eau brute	0,005	µg/L
1154	Déméton S méthyl sulfone	Eau brute	0,005	µg/L
1150	Déméton-O	Eau brute	0,01	µg/L
1152	Déméton-S	Eau brute	0,01	µg/L
2051	Déséthyl-terbuméthon	Eau brute	0,005	µg/L
1493	EDTA	Eau brute	5	µg/L
1873	EPN	Eau brute	0,005	µg/L
1182	EPTC	Eau brute	0,05	µg/L
5751	Edifenphos	Eau brute	0,005	µg/L
8102	Emamectine	Eau brute	0,1	µg/L
1178	Endosulfan alpha	Eau brute	0,001	µg/L
1179	Endosulfan beta	Eau brute	0,001	µg/L
1742	Endosulfan sulfate	Eau brute	0,001	µg/L
1181	Endrine	Eau brute	0,001	µg/L
2941	Endrine aldehyde	Eau brute	0,005	µg/L
6768	Enoxacine	Eau brute	0,02	µg/L
6784	Enrofloxacine	Eau brute	0,05	µg/L
1494	Epichlorohydrine	Eau brute	0,1	µg/L
1744	Epoxiconazole	Eau brute	0,005	µg/L
7504	Equulin	Eau brute	0,005	µg/L
6522	Erythromycine	Eau brute	0,005	µg/L

1809	Esfenvalérate	Eau brute	0,005	µg/L
5397	Estradiol	Eau brute	0,005	µg/L
6446	Estriol	Eau brute	0,005	µg/L
5396	Estrone	Eau brute	0,005	µg/L
1380	Etain	Eau filtrée ou centrifugée	0,5	µg(Sn)/L
5529	Ethametsulfuron-méthyl	Eau brute	0,005	µg/L
2093	Ethephon	Eau brute	0,02	µg/L
1763	Ethidimuron	Eau brute	0,005	µg/L
5528	Ethiofencarbe sulfone	Eau brute	0,005	µg/L
6534	Ethiofencarbe sulfoxyde	Eau brute	0,02	µg/L
1183	Ethion	Eau brute	0,005	µg/L
1874	Ethiophencarbe	Eau brute	0,005	µg/L
1184	Ethofumésate	Eau brute	0,005	µg/L
1495	Ethoprophos	Eau brute	0,005	µg/L
5527	Ethoxysulfuron	Eau brute	0,005	µg/L
2673	Ethyl tert-butyl ether	Eau brute	0,5	µg/L
1497	Ethylbenzène	Eau brute	0,5	µg/L
6644	Ethylparaben	Eau brute	0,01	µg/L
5648	EthylèneThioUrée	Eau brute	0,1	µg/L
6601	EthylèneUrée	Eau brute	0,1	µg/L
2629	Ethynyl estradiol	Eau brute	0,001	µg/L
5625	Etoxazole	Eau brute	0,005	µg/L
2020	Famoxadone	Eau brute	0,005	µg/L
5761	Famphur	Eau brute	0,005	µg/L
6482	Fenbendazole	Eau brute	0,005	µg/L
1906	Fenbuconazole	Eau brute	0,005	µg/L
7513	Fenchlorazole-ethyl	Eau brute	0,1	µg/L
1186	Fenchlorphos	Eau brute	0,005	µg/L
2743	Fenhexamid	Eau brute	0,005	µg/L
5627	Fenizon	Eau brute	0,005	µg/L
5763	Fenobucarb	Eau brute	0,005	µg/L
5368	Fenofibrate	Eau brute	0,01	µg/L
6970	Fenoprofen	Eau brute	0,05	µg/L
5970	Fenothiocarbe	Eau brute	0,005	µg/L
1188	Fenpropthrine	Eau brute	0,005	µg/L
1700	Fenpropidine	Eau brute	0,01	µg/L
1189	Fenpropimorphe	Eau brute	0,005	µg/L
1190	Fenthion	Eau brute	0,005	µg/L
1701	Fenvalératé	Eau brute	0,01	µg/L
1393	Fer	Eau filtrée ou centrifugée	1	µg(Fe)/L
2009	Fipronil	Eau brute	0,005	µg/L
6260	Fipronil sulfone	Eau brute	0,01	µg/L
1840	Flamprop-isopropyl	Eau brute	0,005	µg/L
6539	Flamprop-méthyl	Eau brute	0,005	µg/L
1939	Flazasulfuron	Eau brute	0,005	µg/L
5633	Flocoumafen	Eau brute	0,2	µg/L
6393	Flonicamid	Eau brute	0,005	µg/L
2810	Florasulam	Eau brute	0,005	µg/L
6764	Florfenicol	Eau brute	0,1	µg/L
6545	Fluazifop	Eau brute	0,005	µg/L
1404	Fluazifop-P-butyl	Eau brute	0,05	µg/L
1825	Fluazifop-butyl	Eau brute	0,02	µg/L
2984	Fluazinam	Eau brute	0,005	µg/L
8564	Fluconazole	Eau brute	0,5	µg/L
2022	Fludioxonil	Eau brute	0,005	µg/L
6863	Flufenacet oxalate	Eau brute	0,01	µg/L
6864	Flufenacet sulfonic acid	Eau brute	0,01	µg/L
1676	Flufenoxuron	Eau brute	0,02	µg/L
5635	Flumequine	Eau brute	0,02	µg/L
2023	Flumioxazine	Eau brute	0,005	µg/L
1501	Fluométuron	Eau brute	0,005	µg/L
7499	Fluopicolide	Eau brute	0,005	µg/L
7649	Fluopyram	Eau brute	0,01	µg/L
1191	Fluoranthène	Eau brute	0,005	µg/L
1623	Fluoréne	Eau brute	0,005	µg/L
5373	Fluoxetine	Eau brute	0,005	µg/L
2565	Flupyralsulfuron méthyle	Eau brute	0,005	µg/L
2056	Fluquinconazole	Eau brute	0,005	µg/L
1974	Fluridone	Eau brute	0,005	µg/L
1675	Flurochloridone	Eau brute	0,005	µg/L

1765	Fluroxypyr	Eau brute	0,02	µg/L
2547	Fluroxypyr-méptyl	Eau brute	0,02	µg/L
2024	Flurprimidol	Eau brute	0,005	µg/L
2008	Flurtamone	Eau brute	0,005	µg/L
1194	Flusilazole	Eau brute	0,005	µg/L
2985	Flutolanil	Eau brute	0,005	µg/L
1503	Flutriafol	Eau brute	0,005	µg/L
6739	Fluvoxamine	Eau brute	0,01	µg/L
1192	Folpel	Eau brute	0,01	µg/L
2075	Fomesafen	Eau brute	0,05	µg/L
1674	Fonofos	Eau brute	0,005	µg/L
2806	Foramsulfuron	Eau brute	0,005	µg/L
5969	Forchlorfenuron	Eau brute	0,005	µg/L
1702	Formaldéhyde	Eau brute	1	µg/L
1816	Fosetyl	Eau brute	0,0185	µg/L
2744	Fosthiazate	Eau brute	0,005	µg/L
1975	Foséthyl aluminium	Eau brute	0,02	µg/L
1908	Furalaxyl	Eau brute	0,005	µg/L
2567	Furathiocarbe	Eau brute	0,02	µg/L
7441	Furlazole	Eau brute	0,005	µg/L
5364	Furosemide	Eau brute	0,01	µg/L
2057	Fénamidone	Eau brute	0,005	µg/L
1185	Fénarimol	Eau brute	0,005	µg/L
2742	Fénazaquin	Eau brute	0,02	µg/L
1187	Fénitrothion	Eau brute	0,001	µg/L
1973	Fénoxaprop éthyl	Eau brute	0,02	µg/L
1967	Fénoxycarbe	Eau brute	0,005	µg/L
1500	Fénuron	Eau brute	0,02	µg/L
7602	Gabapentine	Eau brute	0,01	µg/L
6618	Galaxolide	Eau brute	0,025	µg/L
5365	Gemfibrozil	Eau brute	0,01	µg/L
1526	Glufosinate	Eau brute	0,02	µg/L
1506	Glyphosate	Eau brute	0,03	µg/L
1200	HCH alpha	Eau brute	0,001	µg/L
1201	HCH beta	Eau brute	0,001	µg/L
1202	HCH delta	Eau brute	0,001	µg/L
2046	HCH epsilon	Eau brute	0,005	µg/L
1203	HCH gamma - Lindane	Eau brute	0,001	µg/L
5508	Halosulfuron-méthyl	Eau brute	0,02	µg/L
2047	Haloxypop	Eau brute	0,02	µg/L
1909	Haloxypop-R	Eau brute	0,005	µg/L
1833	Haloxypop-éthoxyéthyl	Eau brute	0,02	µg/L
1197	Heptachlore	Eau brute	0,005	µg/L
1748	Heptachlore époxyde cis	Eau brute	0,005	µg/L
1749	Heptachlore époxyde trans	Eau brute	0,005	µg/L
1910	Heptenophos	Eau brute	0,005	µg/L
1199	Hexachlorobenzène	Eau brute	0,001	µg/L
1652	Hexachlorobutadiène	Eau brute	0,02	µg/L
2612	Hexachloropentadiène	Eau brute	0,1	µg/L
1656	Hexachloroéthane	Eau brute	0,3	µg/L
1405	Hexaconazole	Eau brute	0,005	µg/L
1875	Hexaflumuron	Eau brute	0,005	µg/L
1673	Hexazinone	Eau brute	0,005	µg/L
1876	Hexythiazox	Eau brute	0,02	µg/L
5645	Hydrazide maleique	Eau brute	0,03	µg/L
6746	Hydrochlorothiazide	Eau brute	0,005	µg/L
6730	Hydroxy-metronidazole	Eau brute	0,01	µg/L
2860	IMAZAQUINE	Eau brute	0,02	µg/L
5350	Ibuprofene	Eau brute	0,01	µg/L
6727	Ifosfamide	Eau brute	0,005	µg/L
1704	Imazalil	Eau brute	0,005	µg/L
2986	Imazamox	Eau brute	0,005	µg/L
1695	Imazaméthabenz	Eau brute	0,005	µg/L
1911	Imazaméthabenz méthyl	Eau brute	0,01	µg/L
2090	Imazapyr	Eau brute	0,02	µg/L
7510	Imibenconazole	Eau brute	0,005	µg/L
1877	Imidaclopride	Eau brute	0,005	µg/L
6971	Imipramine	Eau brute	0,005	µg/L
6794	Indometacine	Eau brute	0,01	µg/L
5483	Indoxacarbe	Eau brute	0,02	µg/L

1204	Indénô(1,2,3-cd)pyrène	Eau brute	0,0005	µg/L
6706	Iobitridol	Eau brute	0,05	µg/L
2741	Iodocarbe	Eau brute	0,02	µg/L
2025	Iodofenphos	Eau brute	0,005	µg/L
2563	Iodosulfuron-méthyl	Eau brute	0,005	µg/L
5377	Iopromide	Eau brute	0,05	µg/L
1205	Ioxynil	Eau brute	0,005	µg/L
2871	Ioxynil methyl ester	Eau brute	0,005	µg/L
1942	Ioxynil octanoate	Eau brute	0,01	µg/L
7508	Ipoconazole	Eau brute	0,005	µg/L
5777	Iprobénfос	Eau brute	0,005	µg/L
1206	Iprodione	Eau brute	0,005	µg/L
2951	Ipravalicarbe	Eau brute	0,005	µg/L
6535	Irbesartan	Eau brute	0,005	µg/L
1935	Irgarol (Cybutryne)	Eau brute	0,001	µg/L
1836	Isobutylbenzène	Eau brute	0,5	µg/L
1207	Isodrine	Eau brute	0,001	µg/L
1829	Isofenphos	Eau brute	0,005	µg/L
5781	Isopropcarb	Eau brute	0,005	µg/L
1633	Isopropylbenzène	Eau brute	0,5	µg/L
2681	Isopropyltoluène o	Eau brute	0,5	µg/L
1856	Isopropyltoluène p	Eau brute	0,5	µg/L
1208	Isoproturon	Eau brute	0,005	µg/L
6643	Isouquinoline	Eau brute	0,01	µg/L
2722	Iothiocyanate de méthyle	Eau brute	0,05	µg/L
1672	Isoxaben	Eau brute	0,005	µg/L
2807	Isoxadifen-éthyle	Eau brute	0,005	µg/L
1945	Isoxafutol	Eau brute	0,005	µg/L
5784	Isoxathion	Eau brute	0,005	µg/L
7505	Karbutilate	Eau brute	0,005	µg/L
5353	Ketoprofene	Eau brute	0,005	µg/L
7669	Ketorolac	Eau brute	0,01	µg/L
1950	Kresoxim méthyl	Eau brute	0,005	µg/L
1094	Lambda Cyhalothrine	Eau brute	0,00006	µg/L
5282	Lauryl sulfate	Eau brute	50	µg/L
8330	Laurylpyridinium	Eau brute	10	µg/L
6711	Levamisole	Eau brute	0,005	µg/L
6770	Levonorgestrel	Eau brute	0,02	µg/L
7843	Lincomycine	Eau brute	0,005	µg/L
1209	Linuron	Eau brute	0,005	µg/L
1364	Lithium	Eau filtrée ou centrifugée	0,5	µg(Li)/L
5374	Lorazepam	Eau brute	0,005	µg/L
1406	Lénacile	Eau brute	0,005	µg/L
2745	MCPA-1-butyl ester	Eau brute	0,005	µg/L
2746	MCPA-2-éthylhexyl ester	Eau brute	0,005	µg/L
2747	MCPA-butoxyethyl ester	Eau brute	0,005	µg/L
2748	MCPA-ethyl-ester	Eau brute	0,01	µg/L
2749	MCPA-méthyl-ester	Eau brute	0,005	µg/L
1512	MTBE	Eau brute	0,5	µg/L
1210	Malathion	Eau brute	0,005	µg/L
5787	Malathion-o-analog	Eau brute	0,005	µg/L
1211	Manczébe	Eau brute	0,03	µg/L
6399	Mandipropamid	Eau brute	0,005	µg/L
1394	Manganèse	Eau filtrée ou centrifugée	0,5	µg(Mn)/L
1705	Manèbe	Eau brute	0,03	µg/L
6700	Marbofloxacine	Eau brute	0,1	µg/L
6048	Matières Minérales en Suspension (M.M.S)	Eau brute	100	mg/L
5789	Mecarbam	Eau brute	0,005	µg/L
2870	Mecoprop n isobutyl ester	Eau brute	0,005	µg/L
2750	Mecoprop-1-octyl ester	Eau brute	0,005	µg/L
2751	Mecoprop-2,4,4-triméthylphénylest	Eau brute	0,005	µg/L
2752	Mecoprop-2-butoxyethyl ester	Eau brute	0,005	µg/L
2753	Mecoprop-2-éthylhexyl ester	Eau brute	0,005	µg/L
2754	Mecoprop-2-octyl ester	Eau brute	0,005	µg/L
2755	Mecoprop-méthyl ester	Eau brute	0,005	µg/L
2568	Mefluidide	Eau brute	0,005	µg/L
5533	Mepanipyrim	Eau brute	0,005	µg/L
5791	Mephosfolan	Eau brute	0,005	µg/L
6521	Mepivacaine	Eau brute	0,005	µg/L
1677	Meptyldinocap	Eau brute	1	µg/L

1387	Mercure	Eau filtrée ou centrifugée	0,01	µg(Hg)/L
2578	Mesosulfuron methyle	Eau brute	0,005	µg/L
6894	Metazachlor oxalic acid	Eau brute	0,02	µg/L
6895	Metazachlor sulfonic acid	Eau brute	0,02	µg/L
1879	Metconazole	Eau brute	0,005	µg/L
6755	Metformine	Eau brute	0,005	µg/L
5792	Methacrifos	Eau brute	0,02	µg/L
6793	Methotrexate	Eau brute	0,005	µg/L
5511	Methoxyfenoside	Eau brute	0,1	µg/L
6695	Methylparaben	Eau brute	0,01	µg/L
2067	Metiram	Eau brute	0,03	µg/L
6854	Metolachlor ESA	Eau brute	0,02	µg/L
6853	Metolachlor OXA	Eau brute	0,02	µg/L
5796	Metolcarb	Eau brute	0,005	µg/L
5362	Metoprolol	Eau brute	0,005	µg/L
5654	Metrafenone	Eau brute	0,005	µg/L
6731	Metronidazole	Eau brute	0,005	µg/L
1797	Metsulfuron méthyl	Eau brute	0,02	µg/L
7143	Mexacarbate	Eau brute	0,005	µg/L
7130	Miconazole	Eau brute	0,5	µg/L
7140	Midazolam	Eau brute	0,01	µg/L
5438	Mirex	Eau brute	0,01	µg/L
1707	Molinate	Eau brute	0,005	µg/L
1395	Molybdène	Eau filtrée ou centrifugée	1	µg(Mo)/L
2542	Monobutylétain cation	Eau brute	0,0025	µg/L
1880	Monocrotophos	Eau brute	0,005	µg/L
1227	Monolinuron	Eau brute	0,005	µg/L
7496	Monooctylétain cation	Eau brute	0,00663	µg/L
7497	Monophenylétain cation	Eau brute	0,001	µg/L
1228	Monuron	Eau brute	0,005	µg/L
6671	Morphine	Eau brute	0,02	µg/L
7475	Morpholine	Eau brute	2	µg/L
6342	Musc xylène	Eau brute	0,1	µg/L
1881	Myclobutanil	Eau brute	0,005	µg/L
1214	Mécoprop	Eau brute	0,005	µg/L
2084	Mécoprop-P	Eau brute	0,005	µg/L
1968	Méfenacet	Eau brute	0,005	µg/L
2930	Méfenpyr diethyl	Eau brute	0,005	µg/L
2987	Méfonoxam	Eau brute	0,005	µg/L
1969	Mépiquat	Eau brute	0,03	µg/L
2089	Mépiquat chlorure	Eau brute	0,04	µg/L
1878	Mépronil	Eau brute	0,005	µg/L
2076	Mésotrione	Eau brute	0,03	µg/L
1706	Métalaxyl	Eau brute	0,005	µg/L
1796	Métaldéhyde	Eau brute	0,02	µg/L
1215	Métamitroné	Eau brute	0,005	µg/L
1670	Métazachlore	Eau brute	0,005	µg/L
1216	Méthabenzthiazuron	Eau brute	0,005	µg/L
1671	Méthamidophos	Eau brute	0,005	µg/L
1217	Méthidathion	Eau brute	0,005	µg/L
1510	Méthiocarbe	Eau brute	0,005	µg/L
1804	Méthiocarbe sulfoxyde	Eau brute	0,005	µg/L
1218	Méthomyl	Eau brute	0,005	µg/L
1511	Méthoxychlore	Eau brute	0,005	µg/L
8315	Méthyl nonyl kétone	Eau brute	0,1	µg/L
1619	Méthyl-2-Fluoranthène	Eau brute	0,001	µg/L
1618	Méthyl-2-Naphthalène	Eau brute	0,005	µg/L
8252	Méthylchloroisothiazolinone	Eau brute	0,2	µg/L
8253	Méthylisothiazolinone	Eau brute	0,1	µg/L
1515	Métabromuron	Eau brute	0,005	µg/L
8311	Métofluthrine	Eau brute	0,02	µg/L
1221	Métolachlore	Eau brute	0,005	µg/L
7729	Métolachlore NOA 413173	Eau brute	0,03	µg/L
1912	Métosulame	Eau brute	0,005	µg/L
1222	Métoxuron	Eau brute	0,005	µg/L
1225	Métribuzine	Eau brute	0,005	µg/L
1226	Mévinphos	Eau brute	0,005	µg/L
5797	N,N-Diethyl-m-toluamide	Eau brute	0,1	µg/L
6384	N,N-Dimethylsulfamide	Eau brute	0,05	µg/L
5299	N-Butylbenzenesulfonamide	Eau brute	0,1	µg/L

8326	N-[3-(diméthylamino)propyl]octadécanamide	Eau brute	10	µg/L
6443	Nadolol	Eau brute	0,005	µg/L
1516	Naled	Eau brute	0,005	µg/L
1517	Naphthalène	Eau brute	0,005	µg/L
1519	Napropamide	Eau brute	0,005	µg/L
5351	Naproxene	Eau brute	0,02	µg/L
1937	Naftalamé	Eau brute	0,05	µg/L
1386	Nickel	Eau filtrée ou centrifugée	0,5	µg(Ni)/L
1882	Nicosulfuron	Eau brute	0,005	µg/L
5657	Nicotine	Eau brute	0,05	µg/L
2614	Nitrobenzène	Eau brute	0,1	µg/L
1229	Nitrofène	Eau brute	0,005	µg/L
1637	Nitrophénol-2	Eau brute	0,02	µg/L
5400	Norethindrone	Eau brute	0,001	µg/L
6761	Norfloxacine	Eau brute	0,1	µg/L
6772	Norfloxetine	Eau brute	0,005	µg/L
1669	Norfurazon	Eau brute	0,005	µg/L
2737	Norfurazon desméthyl	Eau brute	0,005	µg/L
1883	Nuarimol	Eau brute	0,005	µg/L
1520	Néburon	Eau brute	0,005	µg/L
6767	O-Demethyltramadol	Eau brute	0,005	µg/L
8302	Octylisothiazolinone	Eau brute	0,1	µg/L
6533	Ofloxacine	Eau brute	0,02	µg/L
2027	Ofurace	Eau brute	0,005	µg/L
1230	Ométhoate	Eau brute	0,0005	µg/L
2781	Orthophénylphénol	Eau brute	0,3	µg/L
1668	Oryzalin	Eau brute	0,02	µg/L
2068	Oxadiargyl	Eau brute	0,005	µg/L
1667	Oxadiazon	Eau brute	0,005	µg/L
1666	Oxadixyl	Eau brute	0,005	µg/L
1850	Oxamyl	Eau brute	0,02	µg/L
5510	Oxasulfuron	Eau brute	0,005	µg/L
5375	Oxazepam	Eau brute	0,005	µg/L
7107	Oxyclozanide	Eau brute	0,005	µg/L
6682	Oxycodone	Eau brute	0,01	µg/L
1231	Oxydéméton méthyl	Eau brute	0,005	µg/L
1952	Oxyfluorfène	Eau brute	0,002	µg/L
6532	Oxytetracycline	Eau brute	0,02	µg/L
1242	PCB 101	Eau brute	0,0012	µg/L
1627	PCB 105	Eau brute	0,0003	µg/L
5433	PCB 114	Eau brute	0,0003	µg/L
1243	PCB 118	Eau brute	0,0012	µg/L
5434	PCB 123	Eau brute	0,0003	µg/L
2943	PCB 125	Eau brute	0,005	µg/L
1089	PCB 126	Eau brute	0,00006	µg/L
1884	PCB 128	Eau brute	0,0012	µg/L
1244	PCB 138	Eau brute	0,0012	µg/L
1885	PCB 149	Eau brute	0,0012	µg/L
1245	PCB 153	Eau brute	0,0012	µg/L
2032	PCB 156	Eau brute	0,00012	µg/L
5435	PCB 157	Eau brute	0,000018	µg/L
5436	PCB 167	Eau brute	0,00003	µg/L
1090	PCB 169	Eau brute	0,00006	µg/L
1626	PCB 170	Eau brute	0,0012	µg/L
1246	PCB 180	Eau brute	0,0012	µg/L
5437	PCB 189	Eau brute	0,000012	µg/L
1625	PCB 194	Eau brute	0,0012	µg/L
1624	PCB 209	Eau brute	0,005	µg/L
1239	PCB 28	Eau brute	0,0012	µg/L
1886	PCB 31	Eau brute	0,005	µg/L
1240	PCB 35	Eau brute	0,005	µg/L
2031	PCB 37	Eau brute	0,005	µg/L
1628	PCB 44	Eau brute	0,0012	µg/L
1241	PCB 52	Eau brute	0,0012	µg/L
2048	PCB 54	Eau brute	0,005	µg/L
5803	PCB 66	Eau brute	0,005	µg/L
1091	PCB 77	Eau brute	0,00006	µg/L
5432	PCB 81	Eau brute	0,00006	µg/L
2545	Pacllobutrazole	Eau brute	0,005	µg/L
5354	Paracetamol	Eau brute	0,025	µg/L

5806	Paraoxon	Eau brute	0,005	µg/L
1233	Parathion méthyl	Eau brute	0,005	µg/L
1232	Parathion éthyl	Eau brute	0,01	µg/L
6753	Parconazole	Eau brute	0,01	µg/L
1762	Pencconazole	Eau brute	0,005	µg/L
1887	Pencycuron	Eau brute	0,005	µg/L
1234	Pendiméthaline	Eau brute	0,005	µg/L
6394	Penoxulam	Eau brute	0,005	µg/L
1888	Pentachlorobenzène	Eau brute	0,0005	µg/L
5924	Pentachloroethane	Eau brute	0,01	µg/L
1235	Pentachlorophénol	Eau brute	0,03	µg/L
7670	Pentoxifylline	Eau brute	0,005	µg/L
6219	Perchlorate	Eau filtrée ou centrifugée	0,1	µg/L
6548	Perfluorooctanesulfonamide (PFOSA)	Eau brute	0,01	µg/L
1523	Permethrine	Eau brute	0,01	µg/L
7519	Pethoxamide	Eau brute	0,005	µg/L
8590	Pethoxamide ESA	Eau brute	0,05	µg/L
1499	Phenamiphos	Eau brute	0,005	µg/L
1236	Phenméphame	Eau brute	0,02	µg/L
5813	Phenthionate	Eau brute	0,005	µg/L
7708	Phentytoin	Eau brute	0,05	µg/L
1525	Phorate	Eau brute	0,005	µg/L
1237	Phosalone	Eau brute	0,005	µg/L
1971	Phosmet	Eau brute	0,005	µg/L
1238	Phosphamidon	Eau brute	0,005	µg/L
1665	Phoxime	Eau brute	0,005	µg/L
1489	Phtalate de diméthyle	Eau brute	0,4	µg/L
1524	Phénanthrène	Eau brute	0,005	µg/L
5420	Phénazone	Eau brute	0,005	µg/L
1708	Piclorame	Eau brute	0,03	µg/L
5665	Picolinafen	Eau brute	0,02	µg/L
2669	Picoxystrobine	Eau brute	0,005	µg/L
7057	Pinoxaden	Eau brute	0,05	µg/L
1709	Piperonil butoxide	Eau brute	0,005	µg/L
5819	Piperophos	Eau brute	0,005	µg/L
1528	Pirimicarbe	Eau brute	0,01	µg/L
5531	Pirimicarbe Desmethyl	Eau brute	0,005	µg/L
5532	Pirimicarbe Formamido Desmethyl	Eau brute	0,005	µg/L
7668	Piroxicam	Eau brute	0,02	µg/L
1382	Plomb	Eau filtrée ou centrifugée	0,05	µg(Pb)/L
6771	Pravastatine	Eau brute	0,02	µg/L
6734	Prednisolone	Eau brute	0,02	µg/L
1949	Pretilachlore	Eau brute	0,005	µg/L
6531	Prilocaine	Eau brute	0,005	µg/L
7961	Primidone	Eau brute	0,02	µg/L
6847	Pristinamycine IIA	Eau brute	0,02	µg/L
1253	Prochloraze	Eau brute	0,001	µg/L
1664	Procymidone	Eau brute	0,005	µg/L
1889	Profénofos	Eau brute	0,005	µg/L
5402	Progesterone	Eau brute	0,02	µg/L
1710	Promécarbe	Eau brute	0,005	µg/L
1711	Prométon	Eau brute	0,005	µg/L
1254	Prometryne	Eau brute	0,005	µg/L
6887	Propachlor ethane sulfonic acid	Eau brute	0,02	µg/L
1712	Propachlore	Eau brute	0,01	µg/L
7736	Propachlore OXA	Eau brute	0,05	µg/L
6398	Propamocarb	Eau brute	0,005	µg/L
1532	Propanil	Eau brute	0,005	µg/L
6964	Propaphos	Eau brute	0,005	µg/L
1972	Propaquizafop	Eau brute	0,02	µg/L
1255	Propargite	Eau brute	0,005	µg/L
1256	Propazine	Eau brute	0,02	µg/L
5968	Propazine 2-hydroxy	Eau brute	0,005	µg/L
1534	Prophame	Eau brute	0,02	µg/L
1257	Propiconazole	Eau brute	0,005	µg/L
1535	Propoxur	Eau brute	0,005	µg/L
5602	Propoxycarbazone-sodium	Eau brute	0,02	µg/L
5363	Propranolol	Eau brute	0,005	µg/L
1837	Propylbenzène	Eau brute	0,5	µg/L
6214	Propylène thiouree	Eau brute	0,5	µg/L

6693	Propylparaben	Eau brute	0,01	µg/L
5421	Propyphénazole	Eau brute	0,005	µg/L
1414	Propyzamide	Eau brute	0,005	µg/L
1533	Propétamphos	Eau brute	0,005	µg/L
7422	Proquinazid	Eau brute	0,005	µg/L
1092	Prosulfocarbe	Eau brute	0,005	µg/L
2534	Prosulfuron	Eau brute	0,005	µg/L
5603	Prothioconazole	Eau brute	0,05	µg/L
7442	Proxiphamp	Eau brute	0,005	µg/L
5416	Pymétrozine	Eau brute	0,005	µg/L
6611	Pyraclofos	Eau brute	0,005	µg/L
2576	Pyraclostrobine	Eau brute	0,005	µg/L
5509	Pyraflufen-ethyl	Eau brute	0,005	µg/L
1258	Pyrazophos	Eau brute	0,005	µg/L
6386	Pyrazosulfuron-ethyl	Eau brute	0,005	µg/L
6530	Pyrazoxyfen	Eau brute	0,005	µg/L
5826	Pyributicarb	Eau brute	0,005	µg/L
1890	Pyridabène	Eau brute	0,005	µg/L
5606	Pyridaphenthion	Eau brute	0,005	µg/L
1259	Pyridate	Eau brute	0,01	µg/L
1663	Pyrénox	Eau brute	0,01	µg/L
1261	Pyrimiphos méthyl	Eau brute	0,005	µg/L
1260	Pyrimiphos éthyl	Eau brute	0,02	µg/L
1432	Pyriméthanal	Eau brute	0,005	µg/L
5499	Pyriproxyfène	Eau brute	0,005	µg/L
7340	Pyroxulam	Eau brute	0,005	µg/L
1537	Pyrène	Eau brute	0,005	µg/L
1891	Quinalphos	Eau brute	0,005	µg/L
2087	Quinmerac	Eau brute	0,005	µg/L
2028	Quinoxylén	Eau brute	0,005	µg/L
1538	Quintozène	Eau brute	0,01	µg/L
2069	Quizalofop	Eau brute	0,02	µg/L
2070	Quizalofop éthyl	Eau brute	0,005	µg/L
7049	RS-10pamadol	Eau brute	0,05	µg/L
6529	Ranitidine	Eau brute	0,005	µg/L
1892	Rimsulfuron	Eau brute	0,005	µg/L
2029	Roténone	Eau brute	0,005	µg/L
5423	Roxythromycine	Eau brute	0,05	µg/L
2974	S Métolachlore	Eau brute	0,005	µg/L
6527	Salbutamol	Eau brute	0,005	µg/L
6101	Sebutylazine 2-hydroxy	Eau brute	0,005	µg/L
5981	Sebutylazine desethyl	Eau brute	0,005	µg/L
1262	Secbumeton	Eau brute	0,005	µg/L
7724	Sedaxane	Eau brute	0,01	µg/L
6769	Sertraline	Eau brute	0,005	µg/L
1893	Siduron	Eau brute	0,005	µg/L
5609	Silthiopham	Eau brute	0,005	µg/L
1539	Silvex	Eau brute	0,02	µg/L
1263	Simazine	Eau brute	0,005	µg/L
1831	Simazine hydroxy	Eau brute	0,005	µg/L
5477	Simétryne	Eau brute	0,005	µg/L
5855	Somme de Méthylphénol-3 et de Méthylphénol-4	Eau brute	0,02	µg/L
6326	Somme du 1,2,3,5 tetrachlorobenzene et 1,2,4,5 tetrachlorobenzene	Eau brute	0,02	µg/L
6541	Somme du 3-Chlorophenol et du 4-Chlorophenol	Eau brute	0,05	µg/L
3336	Somme du Dichlorophénol-2,4 et du Dichlorophénol-2,5	Eau brute	0,02	µg/L
5424	Sotolol	Eau brute	0,005	µg/L
5610	Spinosad	Eau brute	0,01	µg/L
7438	Spinosyne A	Eau brute	0,01	µg/L
7439	Spinosyne D	Eau brute	0,01	µg/L
7506	Spirotetramat	Eau brute	0,005	µg/L
2664	Spiroxamine	Eau brute	0,005	µg/L
1541	Styrène	Eau brute	0,5	µg/L
1662	Sulcotriione	Eau brute	0,02	µg/L
6758	Sulfadiazine	Eau brute	0,02	µg/L
6525	Sulfamethazine	Eau brute	0,005	µg/L
6795	Sulfamethizole	Eau brute	0,005	µg/L
5356	Sulfamethoxazole	Eau brute	0,005	µg/L
6575	Sulfaquinoxaline	Eau brute	0,05	µg/L
6572	Sulfathiazole	Eau brute	0,005	µg/L
5507	Sulfomethuron-methyl	Eau brute	0,005	µg/L

2085	Sulfosufuron	Eau brute	0,005	µg/L
1894	Sulfotep	Eau brute	0,005	µg/L
5831	Sulprofos	Eau brute	0,02	µg/L
1923	Sébutylazine	Eau brute	0,005	µg/L
1385	Sélénium	Eau filtrée ou centrifugée	0,1	µg(Se)/L
1808	Séthoxydime	Eau brute	0,02	µg/L
5834	TCMTB	Eau brute	0,01	µg/L
1193	Tafluvalinate	Eau brute	0,005	µg/L
5413	Tecnazène	Eau brute	0,01	µg/L
2559	Tellure	Eau filtrée ou centrifugée	0,5	µg(Te)/L
7086	Tembtrione	Eau brute	0,05	µg/L
1659	Terbacile	Eau brute	0,005	µg/L
1266	Terburuméton	Eau brute	0,005	µg/L
1267	Terbuphos	Eau brute	0,005	µg/L
6963	Terbutaline	Eau brute	0,02	µg/L
1268	Terbutylazine	Eau brute	0,005	µg/L
7150	Terbutylazine desethyl-2-hydroxy	Eau brute	0,005	µg/L
2045	Terbutylazine deséthyl	Eau brute	0,005	µg/L
1954	Terbutylazine hydroxy	Eau brute	0,02	µg/L
1269	Terbutryne	Eau brute	0,005	µg/L
5384	Testostérone	Eau brute	0,005	µg/L
1936	Tetrabutyletain	Eau brute	0,00058	µg/L
6750	Tetracycline	Eau brute	0,1	µg/L
5837	Tetrasul	Eau brute	0,01	µg/L
2555	Thallium	Eau filtrée ou centrifugée	0,01	µg(Tl)/L
1713	Thiabendazole	Eau brute	0,005	µg/L
5671	Thiacloprid	Eau brute	0,005	µg/L
1940	Thiafluamide	Eau brute	0,005	µg/L
6390	Thiamethoxam	Eau brute	0,005	µg/L
1714	Thiazasulfuron	Eau brute	0,02	µg/L
5934	Thiadiazuron	Eau brute	0,005	µg/L
7517	Thien carbazole-méthyl	Eau brute	0,02	µg/L
1913	Thifensulfuron méthyl	Eau brute	0,005	µg/L
7512	Thiocyclam hydrogen oxalate	Eau brute	0,01	µg/L
1093	Thiodicarbe	Eau brute	0,02	µg/L
1715	Thiofanox	Eau brute	0,05	µg/L
5476	Thiofanox sulfone	Eau brute	0,005	µg/L
5475	Thiofanox sulfoxyde	Eau brute	0,005	µg/L
2071	Thiométon	Eau brute	0,005	µg/L
5838	Thionazin	Eau brute	0,05	µg/L
7514	Thiophanate-ethyl	Eau brute	0,05	µg/L
1717	Thiophanate-méthyl	Eau brute	0,02	µg/L
1718	Thirame	Eau brute	0,1	µg/L
6524	Ticlopidine	Eau brute	0,005	µg/L
7965	Timolol	Eau brute	0,005	µg/L
5922	Tiocarbazil	Eau brute	0,005	µg/L
1373	Titane	Eau filtrée ou centrifugée	0,5	µg(Ti)/L
5675	Tolclofos-méthyl	Eau brute	0,005	µg/L
1278	Toluène	Eau brute	0,5	µg/L
1719	Tolylfluanide	Eau brute	0,005	µg/L
6660	Tolyltriazole	Eau brute	0,005	µg/L
6720	Tramadol	Eau brute	0,005	µg/L
1544	Triadiméfon	Eau brute	0,005	µg/L
1280	Triadiméol	Eau brute	0,005	µg/L
1281	Triallate	Eau brute	0,005	µg/L
1914	Triasulfuron	Eau brute	0,005	µg/L
1901	Triazamate	Eau brute	0,005	µg/L
1657	Triazophos	Eau brute	0,005	µg/L
2064	Tribenuron-Méthyle	Eau brute	0,02	µg/L
5840	Tributyl phosphorothioite	Eau brute	0,02	µg/L
2879	Tributyletain cation	Eau brute	0,0001	µg/L
1847	Tributylphosphate	Eau brute	0,005	µg/L
1288	Trichlopyr	Eau brute	0,02	µg/L
1630	Trichlorobenzène-1,2,3	Eau brute	0,05	µg/L
1283	Trichlorobenzène-1,2,4	Eau brute	0,05	µg/L
1629	Trichlorobenzène-1,3,5	Eau brute	0,05	µg/L
1195	Trichlorofluorométhane	Eau brute	0,05	µg/L
1548	Trichlorophénol-2,4,5	Eau brute	0,01	µg/L
1549	Trichlorophénol-2,4,6	Eau brute	0,02	µg/L
1854	Trichloropropane-1,2,3	Eau brute	0,5	µg/L

1196	Trichlorotrifluoroéthane-1,1,2	Eau brute	0,5	µg/L
1284	Trichloréthane-1,1,1	Eau brute	0,05	µg/L
1285	Trichloréthane-1,1,2	Eau brute	0,2	µg/L
1286	Trichloréthylène	Eau brute	0,5	µg/L
6989	Triclocarban	Eau brute	0,005	µg/L
5430	Tricosan	Eau brute	0,02	µg/L
2898	Tricyclazole	Eau brute	0,005	µg/L
2885	Tricyclohexyletain cation	Eau brute	0,0005	µg/L
5842	Trietazine	Eau brute	0,005	µg/L
6102	Trietazine 2-hydroxy	Eau brute	0,005	µg/L
5971	Trietazine desethyl	Eau brute	0,005	µg/L
2678	Trifloxystrobine	Eau brute	0,005	µg/L
1902	Triflumuron	Eau brute	0,005	µg/L
1289	Trifluraline	Eau brute	0,005	µg/L
2991	Triflusulfuron-methyl	Eau brute	0,005	µg/L
1802	Triforine	Eau brute	0,005	µg/L
6732	Trimetazidine	Eau brute	0,005	µg/L
5357	Triméthoprime	Eau brute	0,005	µg/L
1857	Triméthylbenzène-1,2,3	Eau brute	1	µg/L
1609	Triméthylbenzène-1,2,4	Eau brute	1	µg/L
1509	Triméthylbenzène-1,3,5	Eau brute	1	µg/L
2096	Trinexpac-ethyl	Eau brute	0,02	µg/L
2886	Trioctyletain cation	Eau brute	0,0005	µg/L
6372	Triphenyletain cation	Eau brute	0,0059	µg/L
2992	Triticonazole	Eau brute	0,02	µg/L
8322	Triton X-100	Eau brute	100	µg/L
1694	Tébuconazole	Eau brute	0,005	µg/L
1896	Tébufenpyrad	Eau brute	0,005	µg/L
1895	Tébuénazole	Eau brute	0,005	µg/L
7511	Tébupirimfos	Eau brute	0,02	µg/L
1661	Tébutame	Eau brute	0,005	µg/L
1542	Tébutiuron	Eau brute	0,005	µg/L
1897	Téfubenzuron	Eau brute	0,005	µg/L
1953	Téfuthrine	Eau brute	0,005	µg/L
1898	Téméphos	Eau brute	0,02	µg/L
2735	Tétrachlorobenzène	Eau brute	0,02	µg/L
2010	Tétrachlorobenzène-1,2,3,4	Eau brute	0,01	µg/L
2536	Tétrachlorobenzène-1,2,3,5	Eau brute	0,01	µg/L
1631	Tétrachlorobenzène-1,2,4,5	Eau brute	0,01	µg/L
1276	Tétrachlorure de C	Eau brute	0,5	µg/L
1277	Tétrachlorvinphos	Eau brute	0,005	µg/L
1270	Tétrachloréthane-1,1,1,2	Eau brute	0,5	µg/L
1271	Tétrachloréthane-1,1,2,2	Eau brute	0,02	µg/L
1272	Tétrachloréthylène	Eau brute	0,5	µg/L
1660	Tétraconazole	Eau brute	0,005	µg/L
1900	Tétradrifon	Eau brute	0,005	µg/L
8298	Tétradéyl diméthyl benzyl ammonium	Eau brute	10	µg/L
5249	Tétraphenyletain	Eau brute	0,005	µg/L
7482	Uniconazole	Eau brute	0,005	µg/L
1361	Uranium	Eau filtrée ou centrifugée	0,05	µg(U)/L
1290	Vamidothion	Eau brute	0,005	µg/L
1384	Vanadium	Eau filtrée ou centrifugée	0,1	µg(V)/L
7611	Venlafaxine	Eau brute	1	µg/L
1291	Vinclozoline	Eau brute	0,005	µg/L
1293	Xylène-meta	Eau brute	0,1	µg/L
1292	Xylène-ortho	Eau brute	0,05	µg/L
1294	Xylène-para	Eau brute	0,1	µg/L
1383	Zinc	Eau filtrée ou centrifugée	1	µg(Zn)/L
5376	Zolpidem	Eau brute	0,005	µg/L
2858	Zoxamide	Eau brute	0,005	µg/L
6651	alpha-Hexabromocyclododecane	Eau brute	0,05	µg/L
6652	beta-Hexabromocyclododecane	Eau brute	0,05	µg/L
7748	cylflufenamide	Eau brute	0,05	µg/L
5748	dimoxystrobine	Eau brute	0,005	µg/L
7342	fluxapyroxade	Eau brute	0,005	µg/L
6653	gamma-Hexabromocyclododecane	Eau brute	0,05	µg/L
7747	metaflumizone	Eau brute	0,02	µg/L
1462	n-Butyl Phthalate	Eau brute	0,05	µg/L
5821	p-Nitrotoluene	Eau brute	0,02	µg/L

6.2 Annexe 2 : Liste des micropolluants analysés sur sédiments

Code SANDRE paramètre	Libellé paramètre	Limite de Quantification	Unité
2595	1-Butanol	1000	µg/(kg MS)
2725	1-Methylnaphthalene	2	µg/(kg MS)
2617	1-Propanol	1000	µg/(kg MS)
2872	2,4-D isopropyl ester	5	µg/(kg MS)
2873	2,4-D méthyl ester	5	µg/(kg MS)
2011	2,6-Dichlorobenzamide	4	µg/(kg MS)
3164	2,2',5-Trichlorobiphenyl	1	µg/(kg MS)
2666	2,2-Dimethylbutane	2	µg/(kg MS)
2761	2,3,4-Trichloroanisole	50	µg/(kg MS)
2667	2,3-Dimethylbutane	2	µg/(kg MS)
2668	2,3-Dimethylpentane	2	µg/(kg MS)
2570	2-Butanol	1000	µg/(kg MS)
5263	2-Ethylhexanol	1000	µg/(kg MS)
2619	2-Heptanone	1000	µg/(kg MS)
2627	2-Hexanone	1000	µg/(kg MS)
2577	2-Methyl-1-Butanol	1000	µg/(kg MS)
2630	2-Methylcyclohexanone	1000	µg/(kg MS)
2683	2-Methylpentane	2	µg/(kg MS)
2631	2-Nonanone	1000	µg/(kg MS)
2584	2-Pentanol	1000	µg/(kg MS)
2633	2-Pentanone	1000	µg/(kg MS)
2820	3-Chloro-4 méthylaniline	50	µg/(kg MS)
2636	3-methyl-cyclohexanone	1000	µg/(kg MS)
2634	3-Octanone	1000	µg/(kg MS)
2587	3-Pentanol	1000	µg/(kg MS)
2638	4-Heptanone	1000	µg/(kg MS)
6536	4-Methylbenzylidene camphor	5	µg/(kg MS)
5474	4-n-nonylphénol	5	µg/(kg MS)
6369	4-nonylphenol diethoxylate (mélange d'is)	10	µg/(kg MS)
1958	4-nonylphénols ramifiés	10	µg/(kg MS)
7101	4-sec-Butyl-2,6-di-tert-butylphenol	20	µg/(kg MS)
2610	4-tert-butylphénol	5	µg/(kg MS)
1959	4-tert-octylphénol	20	µg/(kg MS)
7155	5-Methylchrysène	10	µg/(kg MS)
2640	5-Nonanone	1000	µg/(kg MS)
1453	Acénaphthène	10	µg/(kg MS)

Code SANDRE paramètre	Libellé paramètre	Limite de Quantification	Unité
1622	Acénaphtylène	10	µg/(kg MS)
2711	Acetate de butyle	1000	µg/(kg MS)
6241	Acetate de vinyle	1000	µg/(kg MS)
1496	Acétate d'éthyl	1000	µg/(kg MS)
2710	Acétochlore	1000	µg/(kg MS)
1903	Acétochlore	4	µg/(kg MS)
1455	Acétone	1000	µg/(kg MS)
5316	Acetonitrile	1000	µg/(kg MS)
5581	Acibenzolar-S-Methyl	5	µg/(kg MS)
6509	Acide perfluoro-decanoïque (PFDA)	50	µg/(kg MS)
6830	Acide perfluorohexanesulfonique (PFHxS)	50	µg/(kg MS)
5978	Acide perfluoro-n-hexanoïque (PFHxA)	50	µg/(kg MS)
5347	Acide perfluoro-octanoïque (PFOA)	50	µg/(kg MS)
6561	Acide sulfonique de perfluorooctane (Sul PFOS)	5	µg/(kg MS)
1688	Aclonifen	10	µg/(kg MS)
1310	Acrinathrine	10	µg/(kg MS)
2707	Acrylate de méthyle	1000	µg/(kg MS)
2708	Acrylate d'éthyle	1000	µg/(kg MS)
1101	Alachlore	5	µg/(kg MS)
1103	Aldrine	5	µg/(kg MS)
6651	alpha-Hexabromocyclododecane	10	µg/(kg MS)
1812	Alphaméthrine	4	µg/(kg MS)
1370	Aluminium	5	mg/(kg MS)
1104	Amétryne	4	µg/(kg MS)
1308	Amitraze	5	µg/(kg MS)
2582	Amylene hydrate	1000	µg/(kg MS)
7102	Anthanthrene	10	µg/(kg MS)
1458	Anthracène	10	µg/(kg MS)
2013	Anthraquinone	4	µg/(kg MS)
1376	Antimoine	0.1	mg/(kg MS)
1368	Argent	0.1	mg/(kg MS)
1369	Arsenic	0.2	mg/(kg MS)
1107	Atrazine	1	µg/(kg MS)
1109	Atrazine déisopropyl	5	µg/(kg MS)
1108	Atrazine déséthyl	10	µg/(kg MS)

Code SANDRE paramètre	Libellé paramètre	Limite de Quantification	Unité
2014	Azaconazole	10	µg/(kg MS)
2015	Azaméthiphos	5	µg/(kg MS)
1110	Azinphos éthyl	5	µg/(kg MS)
1111	Azinphos méthyl	10	µg/(kg MS)
1951	Azoxystrobine	10	µg/(kg MS)
1396	Baryum	0.4	mg/(kg MS)
5989	BDE 196	5	µg/(kg MS)
5990	BDE 197	5	µg/(kg MS)
5991	BDE 198	5	µg/(kg MS)
5986	BDE 203	5	µg/(kg MS)
5996	BDE 204	5	µg/(kg MS)
5997	BDE 205	5	µg/(kg MS)
2915	BDE100	2	µg/(kg MS)
2913	BDE138	2	µg/(kg MS)
2912	BDE153	2	µg/(kg MS)
2911	BDE154	2	µg/(kg MS)
2910	BDE183	2	µg/(kg MS)
1815	BDE209	5	µg/(kg MS)
2920	BDE28	2	µg/(kg MS)
2919	BDE47	2	µg/(kg MS)
7437	BDE77	2	µg/(kg MS)
2916	BDE99	2	µg/(kg MS)
7522	Beflubutamide	10	µg/(kg MS)
1687	Bénalaxyl	5	µg/(kg MS)
1329	Bendiocarbe	10	µg/(kg MS)
1112	Benfluraline	4	µg/(kg MS)
2074	Benoxacor	4	µg/(kg MS)
7460	Benthiavalicarbe-isopropyl	10	µg/(kg MS)
1764	Benthiocarbe	10	µg/(kg MS)
1114	Benzène	2	µg/(kg MS)
2717	Benzene, 1-ethyl-2-methyl	2	µg/(kg MS)
1082	Benzo (a) Anthracène	10	µg/(kg MS)
1115	Benzo (a) Pyrène	10	µg/(kg MS)
1116	Benzo (b) Fluoranthène	10	µg/(kg MS)
1118	Benzo (ghi) Pérylène	10	µg/(kg MS)
1117	Benzo (k) Fluoranthène	10	µg/(kg MS)
7279	Benzo(c)fluorène	10	µg/(kg MS)
1460	Benzo(e)pyrène	10	µg/(kg MS)

Code SANDRE paramètre	Libellé paramètre	Limite de Quantification	Unité
1924	Benzyl butyl phtalate	50	µg/(kg MS)
1377	Beryllium	0.1	mg/(kg MS)
6652	beta-Hexabromocyclododecane	10	µg/(kg MS)
1119	Bifénox	10	µg/(kg MS)
1120	Bifenthrine	10	µg/(kg MS)
1502	Bioresméthrine	10	µg/(kg MS)
1584	Biphényle	10	µg/(kg MS)
1529	Bitertanol	10	µg/(kg MS)
1362	Bore	1	mg/(kg MS)
5526	Boscalid	4	µg/(kg MS)
1686	Bromacil	4	µg/(kg MS)
1632	Bromobenzène	2	µg/(kg MS)
1121	Bromochlorométhane	10	µg/(kg MS)
1122	Bromoforme	10	µg/(kg MS)
1123	Bromophos éthyl	5	µg/(kg MS)
1124	Bromophos méthyl	5	µg/(kg MS)
1685	Bromopropylate	5	µg/(kg MS)
1530	Bromure de méthyle	2	µg/(kg MS)
1861	Bupirimate	5	µg/(kg MS)
1126	Butraline	5	µg/(kg MS)
1855	Butylbenzène n	5	µg/(kg MS)
1610	Butylbenzène sec	5	µg/(kg MS)
1611	Butylbenzène tert	5	µg/(kg MS)
1388	Cadmium	0.1	mg/(kg MS)
1863	Cadusafos	4	µg/(kg MS)
1463	Carbaryl	10	µg/(kg MS)
1333	Carbétamide	10	µg/(kg MS)
1130	Carbofuran	5	µg/(kg MS)
1131	Carbophénothion	5	µg/(kg MS)
1864	Carbosulfan	5	µg/(kg MS)
2975	Carboxine	10	µg/(kg MS)
2976	Carfentrazone-ethyl	5	µg/(kg MS)
1865	Chinométhionate	5	µg/(kg MS)
1336	Chlorbufame	5	µg/(kg MS)
7010	Chlordane alpha	5	µg/(kg MS)
1757	Chlordane beta	5	µg/(kg MS)
7527	Chlordécol	13	µg/(kg MS)
1866	Chlordécone	10	µg/(kg MS)

Code SANDRE paramètre	Libellé paramètre	Limite de Quantification	Unité
6577	Chlordecone-5b-hydro	10	µg/(kg MS)
5553	Chlorefenizon	5	µg/(kg MS)
1464	Chlorfenvinphos	5	µg/(kg MS)
2950	Chlorfluazuron	10	µg/(kg MS)
1133	Chloridazone	10	µg/(kg MS)
1134	Chlorméphos	5	µg/(kg MS)
1955	Chloroalcanes C10-C13	2000	µg/(kg MS)
1593	Chloroaniline-2	50	µg/(kg MS)
1592	Chloroaniline-3	20	µg/(kg MS)
1591	Chloroaniline-4	20	µg/(kg MS)
1467	Chlorobenzène	2	µg/(kg MS)
2016	Chlorobromuron	10	µg/(kg MS)
1135	Chloroforme (Trichlorométhane)	2	µg/(kg MS)
1341	Chloronène	5	µg/(kg MS)
1594	Chloronitroaniline-4,2	50	µg/(kg MS)
1469	Chloronitrobenzène-1,2	5	µg/(kg MS)
1468	Chloronitrobenzène-1,3	5	µg/(kg MS)
1470	Chloronitrobenzène-1,4	5	µg/(kg MS)
2611	Chloroprène	2	µg/(kg MS)
2695	Chloropropane-2	2	µg/(kg MS)
2065	Chloropropène-3	2	µg/(kg MS)
1602	Chlorotoluène-2	2	µg/(kg MS)
1601	Chlorotoluène-3	2	µg/(kg MS)
1600	Chlorotoluène-4	2	µg/(kg MS)
1683	Chloroxuron	10	µg/(kg MS)
1474	Chlorprophame	4	µg/(kg MS)
1083	Chlorpyriphos éthyl	5	µg/(kg MS)
1540	Chlorpyriphos méthyl	5	µg/(kg MS)
2966	Chlorthal diméthyl	5	µg/(kg MS)
1136	Chlortoluron	20	µg/(kg MS)
1579	Chlorure de Benzyle	100	µg/(kg MS)
1753	Chlorure de vinyle	10	µg/(kg MS)
1389	Chrome	0.2	mg/(kg MS)
1476	Chrysène	10	µg/(kg MS)
2938	cinidon-éthyl	10	µg/(kg MS)
2095	Clodinafop-propargyl	5	µg/(kg MS)
1868	Clofentézine	1	µg/(kg MS)
2017	Clomazone	4	µg/(kg MS)

Code SANDRE paramètre	Libellé paramètre	Limite de Quantification	Unité
5360	Clotrimazole	10	µg/(kg MS)
1379	Cobalt	0.2	mg/(kg MS)
1682	Coumaphos	5	µg/(kg MS)
1639	Crésol-méta	20	µg/(kg MS)
1640	Crésol-ortho	20	µg/(kg MS)
1638	Crésol-para	20	µg/(kg MS)
1392	Cuivre	0.2	mg/(kg MS)
1137	Cyanazine	1	µg/(kg MS)
5567	Cyazofamid	5	µg/(kg MS)
1583	Cyclohexane	2	µg/(kg MS)
1696	Cycluron	5	µg/(kg MS)
1681	Cyfluthrine	10	µg/(kg MS)
1140	Cyperméthrine	4	µg/(kg MS)
1680	Cyproconazole	1	µg/(kg MS)
1359	Cyprodinil	2	µg/(kg MS)
1929	DCPMU (métabolite du Diuron)	10	µg/(kg MS)
1930	DCPU (métabolite Diuron)	10	µg/(kg MS)
1143	DDD-o,p'	5	µg/(kg MS)
1144	DDD-p,p'	5	µg/(kg MS)
1145	DDE-o,p'	5	µg/(kg MS)
1146	DDE-p,p'	5	µg/(kg MS)
1147	DDT-o,p'	5	µg/(kg MS)
1148	DDT-p,p'	5	µg/(kg MS)
2665	Décane (C10)	2	µg/(kg MS)
6616	DEHP	50	µg/(kg MS)
1149	Deltaméthrine	2	µg/(kg MS)
1153	Déméton S méthyl	50	µg/(kg MS)
1154	Déméton S méthyl sulfone	10	µg/(kg MS)
1150	Déméton-O	16	µg/(kg MS)
1152	Déméton-S	20	µg/(kg MS)
2980	Desmediphame	5	µg/(kg MS)
2738	Desméthylisoproturon	10	µg/(kg MS)
1155	Desmétryne	5	µg/(kg MS)
1156	Diallate	5	µg/(kg MS)
1157	Diazinon	5	µg/(kg MS)
1621	Dibenzo (ah) Anthracène	10	µg/(kg MS)
7105	Dibenzo(a,c)anthracene	10	µg/(kg MS)
2763	Dibenzofuran	5	µg/(kg MS)

Code SANDRE paramètre	Libellé paramètre	Limite de Quantification	Unité
1158	Dibromochlorométhane	10	µg/(kg MS)
1498	Dibromoéthane-1,2	10	µg/(kg MS)
1513	Dibromométhane	10	µg/(kg MS)
7074	Dibutyletai cation	10	µg/(kg MS)
1679	Dichlobénil	5	µg/(kg MS)
1159	Dichlofenthion	5	µg/(kg MS)
1160	Dichloréthane-1,1	2	µg/(kg MS)
1161	Dichloréthane-1,2	10	µg/(kg MS)
1162	Dichloréthylène-1,1	2	µg/(kg MS)
1456	Dichloréthylène-1,2 cis	2	µg/(kg MS)
1727	Dichloréthylène-1,2 trans	2	µg/(kg MS)
1590	Dichloroaniline-2,3	20	µg/(kg MS)
1589	Dichloroaniline-2,4	50	µg/(kg MS)
1588	Dichloroaniline-2,5	50	µg/(kg MS)
1587	Dichloroaniline-2,6	20	µg/(kg MS)
1586	Dichloroaniline-3,4	20	µg/(kg MS)
1585	Dichloroaniline-3,5	20	µg/(kg MS)
1165	Dichlorobenzène-1,2	2	µg/(kg MS)
1164	Dichlorobenzène-1,3	2	µg/(kg MS)
1166	Dichlorobenzène-1,4	2	µg/(kg MS)
1167	Dichlorobromométhane	2	µg/(kg MS)
1168	Dichlorométhane	10	µg/(kg MS)
1617	Dichloronitrobenzène-2,3	5	µg/(kg MS)
1616	Dichloronitrobenzène-2,4	5	µg/(kg MS)
1615	Dichloronitrobenzène-2,5	5	µg/(kg MS)
1614	Dichloronitrobenzène-3,4	5	µg/(kg MS)
1613	Dichloronitrobenzène-3,5	5	µg/(kg MS)
1486	Dichlorophénol-2,4	20	µg/(kg MS)
1655	Dichloropropane-1,2	10	µg/(kg MS)
1654	Dichloropropane-1,3	2	µg/(kg MS)
2081	Dichloropropane-2,2	2	µg/(kg MS)
2082	Dichloropropène-1,1	2	µg/(kg MS)
1834	Dichloropropylène-1,3 Cis	10	µg/(kg MS)
1835	Dichloropropylène-1,3 Trans	10	µg/(kg MS)
1653	Dichloropropylène-2,3	10	µg/(kg MS)
1171	Diclofop méthyl	5	µg/(kg MS)
1172	Dicofol	5	µg/(kg MS)
1173	Dieldrine	5	µg/(kg MS)

Code SANDRE paramètre	Libellé paramètre	Limite de Quantification	Unité
1402	Diéthofencarbe	10	µg/(kg MS)
1527	Diéthyl phtalate	50	µg/(kg MS)
2637	Diethylcetone	1000	µg/(kg MS)
1905	Difénoconazole	1	µg/(kg MS)
1488	Diflubenzuron	10	µg/(kg MS)
1814	Diflufenicanil	2	µg/(kg MS)
5325	Diisobutyl phthalate	50	µg/(kg MS)
6658	Diisodecyl phthalate	10000	µg/(kg MS)
6215	Diisononyl phtalate	5000	µg/(kg MS)
1870	Diméfuron	5	µg/(kg MS)
2546	Diméthachlore	4	µg/(kg MS)
1678	Diméthénamide	4	µg/(kg MS)
1175	Diméthoate	50	µg/(kg MS)
1403	Diméthomorphe	1	µg/(kg MS)
1641	Diméthylphénol-2,4	20	µg/(kg MS)
1698	Dimétilan	10	µg/(kg MS)
5748	dimoxystrobine	1	µg/(kg MS)
1871	Diniconazole	1	µg/(kg MS)
1578	Dinitrotoluène-2,4	5	µg/(kg MS)
1577	Dinitrotoluène-2,6	5	µg/(kg MS)
7494	Diocytetain cation	100	µg/(kg MS)
1580	Dioxane-1,4	1000	µg/(kg MS)
5478	Diphenylamine	5	µg/(kg MS)
7495	Diphenyletai cation	10	µg/(kg MS)
1177	Diuron	10	µg/(kg MS)
1554	Dodécane (C12)	10	µg/(kg MS)
2688	Durene	2	µg/(kg MS)
1178	Endosulfan alpha	5	µg/(kg MS)
1179	Endosulfan beta	5	µg/(kg MS)
1742	Endosulfan sulfate	5	µg/(kg MS)
1181	Endrine	10	µg/(kg MS)
1744	Epoxiconazole	1	µg/(kg MS)
1182	EPTC	5	µg/(kg MS)
1809	Esfenvalérate	20	µg/(kg MS)
1380	Etain	0.2	mg/(kg MS)
1745	Ethanol	1000	µg/(kg MS)
1763	Etidimuron	20	µg/(kg MS)
1183	Ethion	5	µg/(kg MS)

Code SANDRE paramètre	Libellé paramètre	Limite de Quantification	Unité
1184	Ethofumésate	5	µg/(kg MS)
1495	Ethoprophos	4	µg/(kg MS)
2673	Ethyl tert-butyl ether	2	µg/(kg MS)
1497	Ethylbenzène	2	µg/(kg MS)
2635	Ethyl-butyl-cetone	1000	µg/(kg MS)
5760	Etrimfos	5	µg/(kg MS)
2020	Famoxadone	5	µg/(kg MS)
2057	Fénamidone	10	µg/(kg MS)
1185	Fénarimol	20	µg/(kg MS)
2742	Fénazaquin	4	µg/(kg MS)
1906	Fenbuconazole	5	µg/(kg MS)
1186	Fenchlorphos	5	µg/(kg MS)
1843	Fenfurame	20	µg/(kg MS)
1187	Fénitrothion	5	µg/(kg MS)
2061	Fenothrine	16	µg/(kg MS)
1973	Fénoxaprop éthyl	5	µg/(kg MS)
1967	Fénoxycarbe	1	µg/(kg MS)
1188	Fenpropothrine	5	µg/(kg MS)
5630	Fenpyroximate	1	µg/(kg MS)
1190	Fenthion	5	µg/(kg MS)
1500	Fénuron	1	µg/(kg MS)
1393	Fer	5	mg/(kg MS)
2009	Fipronil	10	µg/(kg MS)
1840	Flamprop-isopropyl	5	µg/(kg MS)
1404	Fluazifop-P-butyl	5	µg/(kg MS)
2984	Fluazinam	10	µg/(kg MS)
2022	Fludioxonil	4	µg/(kg MS)
1676	Flufénoxuron	10	µg/(kg MS)
1501	Fluométuron	10	µg/(kg MS)
1191	Fluoranthène	10	µg/(kg MS)
1623	Fluorène	10	µg/(kg MS)
1974	Fluridone	5	µg/(kg MS)
1675	Flurochloridone	4	µg/(kg MS)
2547	Fluroxypyr-meptyl	20	µg/(kg MS)
2024	Flurprimidol	10	µg/(kg MS)
2008	Flurtamone	10	µg/(kg MS)
1194	Flusilazole	10	µg/(kg MS)
1503	Flutriafol	5	µg/(kg MS)

Code SANDRE paramètre	Libellé paramètre	Limite de Quantification	Unité
1674	Fonofos	5	µg/(kg MS)
2744	Fosthiazate	20	µg/(kg MS)
1908	Furalaxyl	5	µg/(kg MS)
2567	Furathiocarbe	5	µg/(kg MS)
6618	Galaxolide	5	µg/(kg MS)
6653	gamma-Hexabromocyclododecane	10	µg/(kg MS)
1200	HCH alpha	5	µg/(kg MS)
1201	HCH beta	5	µg/(kg MS)
1202	HCH delta	5	µg/(kg MS)
2046	HCH epsilon	5	µg/(kg MS)
1203	HCH gamma - Lindane	5	µg/(kg MS)
1197	Heptachlore	5	µg/(kg MS)
1748	Heptachlore époxyde cis	5	µg/(kg MS)
1749	Heptachlore époxyde trans	5	µg/(kg MS)
2674	Heptane (C7)	2	µg/(kg MS)
1910	Heptenophos	5	µg/(kg MS)
1199	Hexachlorobenzène	5	µg/(kg MS)
1652	Hexachlorobutadiène	1	µg/(kg MS)
1656	Hexachloroéthane	10	µg/(kg MS)
2612	Hexachloropentadiène	2	µg/(kg MS)
1405	Hexaconazole	10	µg/(kg MS)
1875	Hexaflumuron	10	µg/(kg MS)
1673	Hexazinone	5	µg/(kg MS)
1876	Hexythiazox	5	µg/(kg MS)
1911	Imazaméthabenz méthyl	20	µg/(kg MS)
2676	Indane	2	µg/(kg MS)
2677	Indène	2	µg/(kg MS)
1204	Indéno(1,2,3-cd)pyrène	10	µg/(kg MS)
5483	Indoxacarbe	5	µg/(kg MS)
2025	Iodofenphos	5	µg/(kg MS)
1206	Iprodione	10	µg/(kg MS)
2951	Iprovalicarbe	10	µg/(kg MS)
7129	Irganox 1076	20	µg/(kg MS)
1935	Irgarol (Cybutryne)	5	µg/(kg MS)
1976	Isazofos	4	µg/(kg MS)
2579	Isobutyl alcool	1000	µg/(kg MS)
1836	Isobutylbenzène	2	µg/(kg MS)
1207	Isodrine	4	µg/(kg MS)

Code SANDRE paramètre	Libellé paramètre	Limite de Quantification	Unité
2689	Isodurene	2	µg/(kg MS)
1829	Isofenphos	4	µg/(kg MS)
1581	Isooctane	2	µg/(kg MS)
2682	Isopentane	2	µg/(kg MS)
2590	Isopentyl alcool	1000	µg/(kg MS)
2585	Isopropyl alcool [USAN]	1000	µg/(kg MS)
1633	Isopropylbenzène	2	µg/(kg MS)
2680	Isopropyltoluène m	2	µg/(kg MS)
2681	Isopropyltoluène o	2	µg/(kg MS)
1856	Isopropyltoluène p	2	µg/(kg MS)
1208	Isoproturon	20	µg/(kg MS)
1672	Isoxaben	10	µg/(kg MS)
2807	Isoxadifen-éthyle	10	µg/(kg MS)
1945	Isoxaflutol	5	µg/(kg MS)
1950	Kresoxim méthyl	5	µg/(kg MS)
1094	Lambda Cyhalothrine	10	µg/(kg MS)
1406	Lénacile	5	µg/(kg MS)
1209	Linuron	20	µg/(kg MS)
1364	Lithium	0.2	mg/(kg MS)
2026	Lufénuron	10	µg/(kg MS)
1210	Malathion	5	µg/(kg MS)
1394	Manganèse	0.4	mg/(kg MS)
5789	Mecarbam	10	µg/(kg MS)
1968	Méfenacet	5	µg/(kg MS)
2930	Méfenpyr diethyl	5	µg/(kg MS)
5533	Mepanipyrim	5	µg/(kg MS)
1878	Mépronil	5	µg/(kg MS)
1387	Mercure	0.01	mg/(kg MS)
1706	Métalaxy	4	µg/(kg MS)
1215	Métamitrone	5	µg/(kg MS)
1670	Métazachlore	5	µg/(kg MS)
1879	Metconazole	1	µg/(kg MS)
1216	Méthabenzthiazuron	1	µg/(kg MS)
5792	Methacrifos	5	µg/(kg MS)
2723	Methacrylate de méthyle	1000	µg/(kg MS)
2052	Méthanol	5000	µg/(kg MS)
1217	Méthidathion	1	µg/(kg MS)
1510	Méthiocarbe	4	µg/(kg MS)

Code SANDRE paramètre	Libellé paramètre	Limite de Quantification	Unité
1511	Méthoxychlore	5	µg/(kg MS)
5506	Méthyl cyclohexane	2	µg/(kg MS)
1514	Méthyl éthyl cétone	1000	µg/(kg MS)
1508	Méthyl isobutyl cétone	1000	µg/(kg MS)
6664	Methyl triclosan	5	µg/(kg MS)
1619	Méthyl-2-Fluoranthène	10	µg/(kg MS)
1618	Méthyl-2-Naphtalène	10	µg/(kg MS)
2639	Methyl-4 cyclohexanone-1	1000	µg/(kg MS)
1515	Métobromuron	1	µg/(kg MS)
1221	Métolachlore	4	µg/(kg MS)
1222	Métoxuron	20	µg/(kg MS)
5654	Metafenone	5	µg/(kg MS)
1225	Métribuzine	10	µg/(kg MS)
1226	Mévinphos	5	µg/(kg MS)
5438	Mirex	5	µg/(kg MS)
1707	Molinate	5	µg/(kg MS)
1395	Molybdène	0.2	mg/(kg MS)
2542	Monobutyletaien cation	75	µg/(kg MS)
1227	Monolinuron	1	µg/(kg MS)
7496	Mono{octyletaien cation}	40	µg/(kg MS)
7497	Monophenyletaien cation	40	µg/(kg MS)
1228	Monuron	1	µg/(kg MS)
1512	MTBE	2	µg/(kg MS)
6342	Musc xylène	5	µg/(kg MS)
1881	Myclobutanil	10	µg/(kg MS)
1517	Naphtalène	10	µg/(kg MS)
1519	Napropamide	5	µg/(kg MS)
2712	n-Butyl acrylate	1000	µg/(kg MS)
1462	n-Butyl Phtalate	50	µg/(kg MS)
1520	Néburon	10	µg/(kg MS)
2675	n-Hexane	10	µg/(kg MS)
1386	Nickel	0.2	mg/(kg MS)
2709	Nitrile acrylique	1000	µg/(kg MS)
1229	Nitrofène	5	µg/(kg MS)
2684	Nonane (C9)	2	µg/(kg MS)
6598	Nonylphénols linéaire ou ramifiés	10	µg/(kg MS)
1669	Norflurazon	4	µg/(kg MS)
2737	Norflurazon desméthyl	5	µg/(kg MS)

Code SANDRE paramètre	Libellé paramètre	Limite de Quantification	Unité
2598	n-Pentanol	1000	µg/(kg MS)
1883	Nuarimol	5	µg/(kg MS)
2609	Octabromodiphénylether	10	µg/(kg MS)
2679	Octane (C8)	2	µg/(kg MS)
6686	Octocrylene	5	µg/(kg MS)
2027	Ofurace	4	µg/(kg MS)
2781	Orthophénylphénol	5	µg/(kg MS)
2068	Oxadiargyl	25	µg/(kg MS)
1667	Oxadiazon	5	µg/(kg MS)
1666	Oxadixyl	1	µg/(kg MS)
1850	Oxamyl	20	µg/(kg MS)
1848	Oxychlordane	5	µg/(kg MS)
3357	Oxyde de biphenyle	10	µg/(kg MS)
1952	Oxyfluorfène	5	µg/(kg MS)
2545	Paclobutrazole	1	µg/(kg MS)
1232	Parathion éthyl	5	µg/(kg MS)
1233	Parathion méthyl	5	µg/(kg MS)
1242	PCB 101	1	µg/(kg MS)
1627	PCB 105	1	µg/(kg MS)
5433	PCB 114	1	µg/(kg MS)
1243	PCB 118	1	µg/(kg MS)
5434	PCB 123	1	µg/(kg MS)
1089	PCB 126	1	µg/(kg MS)
6463	PCB 132	1	µg/(kg MS)
1244	PCB 138	1	µg/(kg MS)
1885	PCB 149	1	µg/(kg MS)
1245	PCB 153	1	µg/(kg MS)
2032	PCB 156	1	µg/(kg MS)
5435	PCB 157	1	µg/(kg MS)
5436	PCB 167	1	µg/(kg MS)
1090	PCB 169	1	µg/(kg MS)
1626	PCB 170	1	µg/(kg MS)
1246	PCB 180	1	µg/(kg MS)
5437	PCB 189	1	µg/(kg MS)
6465	PCB 193	1	µg/(kg MS)
1625	PCB 194	1	µg/(kg MS)
1624	PCB 209	1	µg/(kg MS)
1239	PCB 28	1	µg/(kg MS)

Code SANDRE paramètre	Libellé paramètre	Limite de Quantification	Unité
1886	PCB 31	1	µg/(kg MS)
1240	PCB 35	1	µg/(kg MS)
1628	PCB 44	1	µg/(kg MS)
8260	PCB 50	1	µg/(kg MS)
1241	PCB 52	1	µg/(kg MS)
1091	PCB 77	1	µg/(kg MS)
5432	PCB 81	1	µg/(kg MS)
1762	Penconazole	5	µg/(kg MS)
1234	Pendiméthaline	5	µg/(kg MS)
8259	Pentabromodiphényl éther (congénère 119)	1	µg/(kg MS)
5808	Pentachloroaniline	5	µg/(kg MS)
1888	Pentachlorobenzène	5	µg/(kg MS)
1235	Pentachlorophénol	50	µg/(kg MS)
2686	Pentane (C5)	10	µg/(kg MS)
7509	Penthiopyrad	5	µg/(kg MS)
1523	Perméthrine	5	µg/(kg MS)
1620	Pérylène	10	µg/(kg MS)
1499	Phenamiphos	10	µg/(kg MS)
1524	Phénanthrène	10	µg/(kg MS)
1236	Phenmédiphame	5	µg/(kg MS)
5813	Phenthioate	5	µg/(kg MS)
1525	Phorate	5	µg/(kg MS)
7149	Phorate sulfone	4	µg/(kg MS)
1237	Phosalone	5	µg/(kg MS)
1238	Phosphamidon	1	µg/(kg MS)
1665	Phoxime	10	µg/(kg MS)
1489	Phtalate de diméthyle	50	µg/(kg MS)
7587	Phtalimide	25	µg/(kg MS)
2669	Picoxystrobine	5	µg/(kg MS)
1709	Piperonil butoxide	1	µg/(kg MS)
1528	Pirimicarbe	5	µg/(kg MS)
1382	Plomb	0.2	mg/(kg MS)
1949	Pretilachlore	5	µg/(kg MS)
1253	Prochloraze	5	µg/(kg MS)
1664	Procymidone	5	µg/(kg MS)
1889	Profénofos	5	µg/(kg MS)
1710	Promécarbe	1	µg/(kg MS)
1711	Prométon	5	µg/(kg MS)

Code SANDRE paramètre	Libellé paramètre	Limite de Quantification	Unité
1254	Prométryne	4	µg/(kg MS)
1712	Propachlore	4	µg/(kg MS)
1532	Propanil	4	µg/(kg MS)
1972	Propaquizafop	20	µg/(kg MS)
1255	Propargite	10	µg/(kg MS)
1256	Propazine	1	µg/(kg MS)
1533	Propétamphos	5	µg/(kg MS)
1534	Prophame	5	µg/(kg MS)
1257	Propiconazole	5	µg/(kg MS)
1535	Propoxur	5	µg/(kg MS)
1837	Propylbenzène	2	µg/(kg MS)
7422	Proquinazid	5	µg/(kg MS)
1092	Prosulfocarbe	10	µg/(kg MS)
5824	Prothiofos	5	µg/(kg MS)
2576	Pyraclostrobine	10	µg/(kg MS)
5509	Pyraflufen-ethyl	1	µg/(kg MS)
1258	Pyrazophos	4	µg/(kg MS)
1537	Pyrène	10	µg/(kg MS)
1890	Pyridabène	10	µg/(kg MS)
1259	Pyridate	20	µg/(kg MS)
1663	Pyrifénox	5	µg/(kg MS)
1432	Pyriméthanal	5	µg/(kg MS)
1260	Pyrimiphos éthyl	5	µg/(kg MS)
1261	Pyrimiphos méthyl	5	µg/(kg MS)
5499	Pyriproxyfène	5	µg/(kg MS)
1891	Quinalphos	5	µg/(kg MS)
2028	Quinoxifen	5	µg/(kg MS)
1538	Quintozène	5	µg/(kg MS)
2070	Quizalofop éthyl	5	µg/(kg MS)
2859	Resmethrine	5	µg/(kg MS)
2029	Roténone	10	µg/(kg MS)
1923	Sébuthylazine	1	µg/(kg MS)
1262	Secbumeton	5	µg/(kg MS)
1385	Sélénium	2	mg/(kg MS)
1893	Siduron	1	µg/(kg MS)
5609	Sittliopham	5	µg/(kg MS)
1263	Simazine	1	µg/(kg MS)
5477	Simétryne	20	µg/(kg MS)

Code SANDRE paramètre	Libellé paramètre	Limite de Quantification	Unité
1541	Styrène	2	µg/(kg MS)
1894	Sulfotep	5	µg/(kg MS)
1193	Taufluvalinate	5	µg/(kg MS)
1694	Tébuconazole	10	µg/(kg MS)
1895	Tébufénozide	1	µg/(kg MS)
1896	Tébufenpyrad	4	µg/(kg MS)
1661	Tébutame	4	µg/(kg MS)
5413	Tecnazène	5	µg/(kg MS)
1897	Téflubenzuron	10	µg/(kg MS)
2559	Tellure	0.1	mg/(kg MS)
1898	Téméphos	5	µg/(kg MS)
1659	Terbacile	4	µg/(kg MS)
1266	Terbuméton	1	µg/(kg MS)
1267	Terbuphos	5	µg/(kg MS)
1268	Terbuthylazine	1	µg/(kg MS)
1269	Terbutryne	4	µg/(kg MS)
2583	tert-Butyl alcool	1000	µg/(kg MS)
1936	Tetrabutyletaine	15	µg/(kg MS)
1270	Tétrachloréthane-1,1,1,2	10	µg/(kg MS)
1271	Tétrachloréthane-1,1,2,2	10	µg/(kg MS)
1272	Tétrachloréthylène	2	µg/(kg MS)
2010	Tétrachlorobenzène-1,2,3,4	1	µg/(kg MS)
2536	Tétrachlorobenzène-1,2,3,5	1	µg/(kg MS)
1631	Tétrachlorobenzène-1,2,4,5	5	µg/(kg MS)
2704	Tétrachloropropane-1,1,1,2	2	µg/(kg MS)
2705	Tétrachloropropane-1,1,1,3	10	µg/(kg MS)
1276	Tétrachlorure de C	2	µg/(kg MS)
1277	Tétrachlorvinphos	5	µg/(kg MS)
1660	Tétraconazole	5	µg/(kg MS)
1900	Tétradifon	5	µg/(kg MS)
1582	Tétrahydrofurane	1000	µg/(kg MS)
5921	Tetraméthrin	5	µg/(kg MS)
5249	Tétraphénylétain	15	µg/(kg MS)
5837	Tetrasul	5	µg/(kg MS)
2555	Thallium	0.1	mg/(kg MS)
1940	Thiafluamide	5	µg/(kg MS)
1714	Thiazasulfuron	10	µg/(kg MS)
2071	Thiométon	20	µg/(kg MS)

Code SANDRE paramètre	Libellé paramètre	Limite de Quantification	Unité
1373	Titane	1	mg/(kg MS)
1278	Toluène	2	µg/(kg MS)
1658	Tralométhrine	4	µg/(kg MS)
7097	trans-Nonachlor	5	µg/(kg MS)
1544	Triadiméfon	5	µg/(kg MS)
1281	Triallate	5	µg/(kg MS)
2879	Tributyletaine cation	25	µg/(kg MS)
1847	Tributylphosphate	4	µg/(kg MS)
1284	Trichloréthane-1,1,1	2	µg/(kg MS)
1285	Trichloréthane-1,1,2	10	µg/(kg MS)
1286	Trichloréthylène	2	µg/(kg MS)
2732	Trichloroaniline-2,4,5	50	µg/(kg MS)
1595	Trichloroaniline-2,4,6	50	µg/(kg MS)
1630	Trichlorobenzène-1,2,3	2	µg/(kg MS)
1283	Trichlorobenzène-1,2,4	2	µg/(kg MS)
1629	Trichlorobenzène-1,3,5	2	µg/(kg MS)
1195	Trichlorofluorométhane	1	µg/(kg MS)
1854	Trichloropropane-1,2,3	10	µg/(kg MS)
6506	Trichlorotrifluoroéthane	2	µg/(kg MS)
6989	Triclocarban	10	µg/(kg MS)
5430	Triclosan	5	µg/(kg MS)
2885	Tricyclohexyletaine cation	15	µg/(kg MS)
2678	Trifloxystrobine	5	µg/(kg MS)
5843	Triflumizole	5	µg/(kg MS)
1902	Triflumuron	10	µg/(kg MS)
1289	Trifluraline	5	µg/(kg MS)
1857	Triméthylbenzène-1,2,3	2	µg/(kg MS)
1609	Triméthylbenzène-1,2,4	2	µg/(kg MS)
1509	Triméthylbenzène-1,3,5	2	µg/(kg MS)
2886	Trioctyletaine cation	100	µg/(kg MS)
7124	Triphénylène	10	µg/(kg MS)
6372	Triphényletaine cation	15	µg/(kg MS)
2690	Undecane (C11)	10	µg/(kg MS)
1361	Uranium	0.2	mg/(kg MS)
1384	Vanadium	0.2	mg/(kg MS)
1291	Vinclozoline	5	µg/(kg MS)
1293	Xylène-meta	2	µg/(kg MS)
1292	Xylène-ortho	2	µg/(kg MS)

Code SANDRE paramètre	Libellé paramètre	Limite de Quantification	Unité
1294	Xylène-para	2	µg/(kg MS)
1383	Zinc	0.4	mg/(kg MS)
2858	Zoxamide	5	µg/(kg MS)

6.3 Annexe 3 : Comptes-rendus des campagnes physico-chimiques et phytoplanctoniques

Relevé phytoplanctonique et physico-chimique en plan d'eau

DONNEES GENERALES PLAN D'EAU

Plan d'eau :	Vinça	Date :	19/03/2024
Types (naturel, artificiel ...):	Naturel	Code lac :	Y0455043
Organisme / opérateur :	STE : Marthe Moiron & Alexandre Pot	Campagne :	1
Organisme demandeur :	Agence de l'Eau RMC	Marché n° :	200000017

Page 1/6

LOCALISATION PLAN D'EAU

Commune :	Vinça (66)	Type :	A6b	
Lac marnant :	oui	retenues de basse altitude, non calcaires, profondes		
Temps de séjour :	32 jours			
Superficie du plan d'eau :	155 ha			
Profondeur maximale :	36 m			

Carte (extrait IGN)



Photo du site :



Relevé phytoplanctonique et physico-chimique en plan d'eau

DONNEES GENERALES PLAN D'EAU

Plan d'eau :	Vinça	Date :	19/03/24
Types (naturel, artificiel ...):	Naturel	Code lac :	Y0455043
Organisme / opérateur :	STE : Marthe Moiron & Alexandre Pot	Campagne :	1
Organisme demandeur :	Agence de l'Eau RMC	Marché n° :	200000017

Page 2/6

STATION

Coordonnée de la station :	<input checked="" type="checkbox"/> Système de Géolocalisation Portable	<input type="checkbox"/> Carte IGN		
Lambert 93 :	X : 662370	Y : 6173103 alt. : 244 m		
WGS 84 (syst.international GPS °'") :	2°32'29.9"E	42°39'23.7"N		
Profondeur mesurée :	24 m	Disque Secchi : 3.7 m		
Météo :	<input checked="" type="checkbox"/> 1- temps sec ensoleillé <input type="checkbox"/> 4- pluie fine <input type="checkbox"/> 7- gel	<input type="checkbox"/> 2- faiblement nuageux <input type="checkbox"/> 5- orage-pluie forte <input type="checkbox"/> 8- fortement nuageux	<input type="checkbox"/> 3- temps humide <input type="checkbox"/> 6- neige	
Patm. :	1009 hPa			
Vent :	<input type="checkbox"/> 0- nul	<input checked="" type="checkbox"/> 1- faible	<input type="checkbox"/> 2- moyen	<input type="checkbox"/> 3- fort
Conditions d'observation :				
Surface de l'eau :	<input type="checkbox"/> 1- lisse	<input checked="" type="checkbox"/> 2- faiblement agitée	<input type="checkbox"/> 3- agitée	<input type="checkbox"/> 4- très agitée
Hauteur de vagues :	0.03 m			
Bloom algal :	NON			
Marnage :	OUI	Hauteur de bande : 11 m	Côte échelle : 233.08 m	

Campagne	1	Campagne de fin d'hiver : homothermie du plan d'eau avant démarrage de l'activité biologique
----------	---	--

REMARQUES ET OBSERVATIONS

Contact préalable :

BRL Exploitation
DDTM Pyrénées-Orientales

Observation :

Stratification thermique installée (thermocline entre 6 m et 10 m de profondeur).
Épilimnion à 12,1°C, et hypolimnion à 9,4°C.
Conductivité homogène à 112 µS/cm.
Légère sursaturation en oxygène en surface (111 %sat), puis oxygénéation optimale à partir de 9 m de profondeur.
Faible désoxygénéation au fond de la retenue (92 %sat).
Teneur en chlorophylle proche de 3 µg/l jusqu'à 6 m de profondeur.

Remarques :

Relevé phytoplanctonique et physico-chimique en plan d'eau

DONNEES GENERALES PLAN D'EAU

Plan d'eau : **Vinça**
 Types (naturel, artificiel ...) : Naturel
 Organisme / opérateur : STE : Marthe Moiron & Alexandre Pot
 Organisme demandeur : Agence de l'Eau RMC

Date : 19/03/24
 Code lac : Y0455043
 Campagne : 1
 Marché n° : 200000017
 Page : 3/6

PRELEVEMENTS ZONE EUPHOTIQUE

Prélèvement pour analyses physico-chimiques et phytoplancton

OUI

Organisme/opérateur : STE
 Heure de relevé : 9:20
 Profondeur : 0 à 9.3 m
 Volume prélevé : 8 L
 Matériel employé : Tuyau intégrateur 10 m
 Nbre prélevements : 3
 Chlorophylle : OUI

Phytoplancton : OUI Ajout de lugol : 5 ml

Prélèvement pour analyses micropolluants

OUI

Heure de relevé : 9:30
 Profondeur : 0 à 9.3 m
 Prélèvement : 1 prélèvement tous les 1 m
 Volume prélevé : 12 L
 Matériel employé : Bouteille téflon 1,2L
 Nbre prélevements : 10

PRELEVEMENTS DE FOND

OUI

Prélèvement pour analyses physico-chimiques et micropolluants

Heure de relevé : 9:00
 Profondeur : 22 m
 Volume prélevé : 15 L
 Matériel employé : Bouteille téflon 2,5 L
 Nbre prélevements : 6

Remarques prélèvement :

RAS

REMISE DES ECHANTILLONS

Code prélèvement ZE : 859418 Bon de transport : 6919057006287642
 Code prélèvement de fond : 869446 Bon de transport : 6919057006287659

Dépôt : TNT Chronopost CARSO Ville : Narbonne
 Date : 19/03/24 Heure : 16:30
 Réception au laboratoire le : 20/03/24

Relevé phytoplanctonique et physico-chimique en plan d'eau

DONNEES PHYSICO-CHIMIQUES

Plan d'eau : **Vinça**
 Types (naturel, artificiel ...) : Naturel
 Organisme / opérateur : STE : Marthe Moiron & Alexandre Pot
 Organisme demandeur : Agence de l'Eau RMC

Date : 19/03/24
 Code lac : Y0455043
 Campagne : 1
 Marché n° : 200000017
 Page : 4/6

TRANSPARENCE

Disque Secchi =

3.7 m

Zone euphotique (x 2,5 secchi) =

9.3 m

PROFIL VERTICAL

Moyen de mesure utilisé : in-situ à chaque profondeur en surface dans un récipient

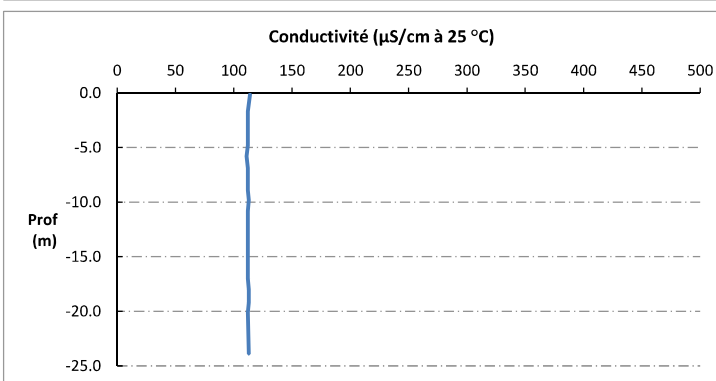
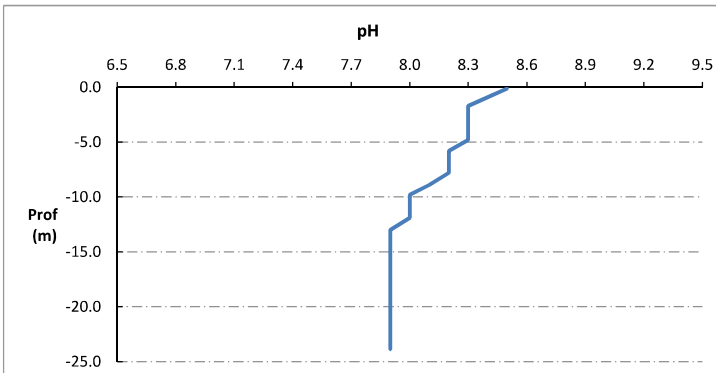
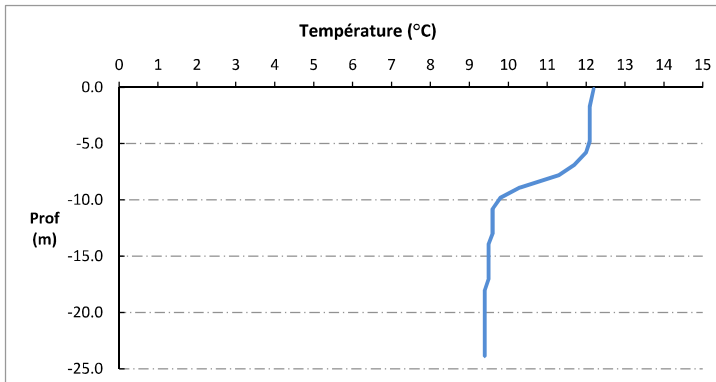
Type de pvt	Prof. (m)	Temp. (°C)	pH	Cond. (µS/cm 25°)	O2 (%)	O2 (mg/l)	Chloro a µg/l	Heure
Plvt zone euphotique	-0.1	12.2	8.5	114	108	11.6	3.1	8:50
	-1.7	12.1	8.3	112	111	11.9	3.0	
	-2.8	12.1	8.3	112	111	11.9	2.8	
	-3.8	12.1	8.3	112	111	11.9	2.7	
	-4.8	12.1	8.3	112	111	11.9	2.8	
	-5.8	12.0	8.2	111	111	11.9	2.7	
	-6.9	11.7	8.2	112	109	11.8	1.9	
	-7.8	11.3	8.2	112	108	11.7	1.3	
	-8.9	10.3	8.1	112	103	11.5	1.5	
	-9.8	9.8	8.0	113	100	11.2	1.4	
	-10.8	9.6	8.0	112	97	11.1	1.0	
	-11.9	9.6	8.0	112	97	11.0	1.1	
	-13.0	9.6	7.9	112	96	10.9	1.3	
	-13.9	9.5	7.9	112	96	10.9	1.2	
	-14.9	9.5	7.9	112	95	10.8	1.1	
	-15.9	9.5	7.9	112	95	10.8	0.9	
	-17.0	9.5	7.9	112	94	10.7	0.8	
	-18.0	9.4	7.9	113	94	10.7	0.9	
	-19.2	9.4	7.9	113	93	10.6	0.8	
	-20.1	9.4	7.9	112	93	10.6	0.8	
	-23.9	9.4	7.9	113	92	10.5		

Relevé phytoplanctonique et physico-chimique en plan d'eau

DONNEES PHYSICO-CHIMIQUES / GRAPHIQUE

Plan d'eau : **Vinça**
 Types (naturel, artificiel ...) : Naturel
 Organisme / opérateur : STE : Marthe Moiron & Alexandre Pot
 Organisme demandeur : Agence de l'Eau RMC

Date : 19/03/24
 Code lac : Y0455043
 Campagne : 1
 Marché n° : 200000017
 Page 5/6

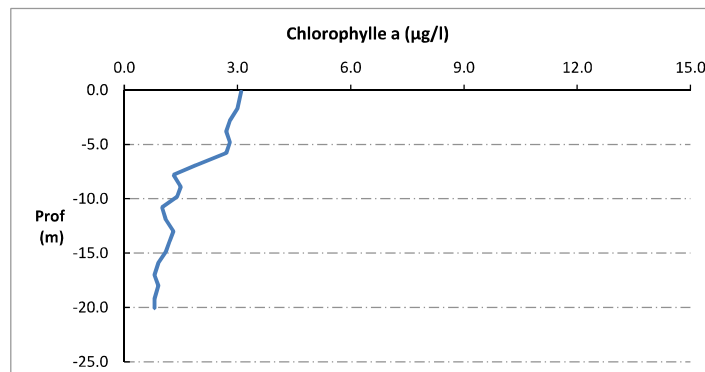
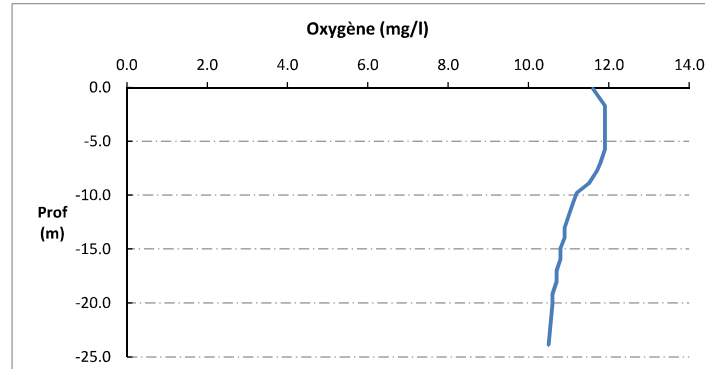
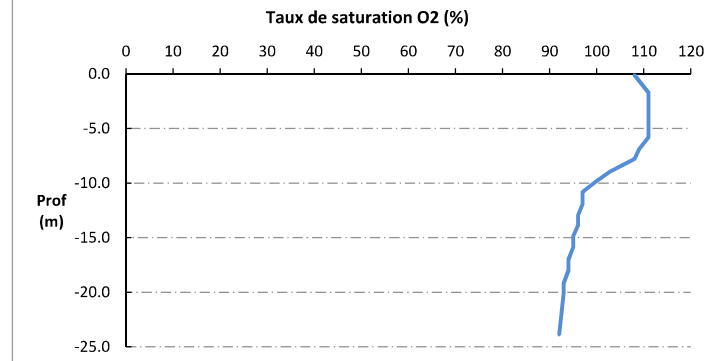


Relevé phytoplanctonique et physico-chimique en plan d'eau

DONNEES PHYSICO-CHIMIQUES / GRAPHIQUE

Plan d'eau : **Vinça**
 Types (naturel, artificiel ...) : Naturel
 Organisme / opérateur : STE : Marthe Moiron & Alexandre Pot
 Organisme demandeur : Agence de l'Eau RMC

Date : 19/03/24
 Code lac : Y0455043
 Campagne : 1
 Marché n° : 200000017
 Page 6/6



Relevé phytoplanctonique et physico-chimique en plan d'eau

DONNEES GENERALES PLAN D'EAU

Plan d'eau : **Vinça** Date : 13/05/2024
 Types (naturel, artificiel ...) : Naturel Code lac : Y0455043
 Organisme / opérateur : STE : Aurélien Morin & Alexandre Pot
 Organisme demandeur : Agence de l'Eau RMC Campagne : 2
 Marché n° : 200000017
 Page 1/6

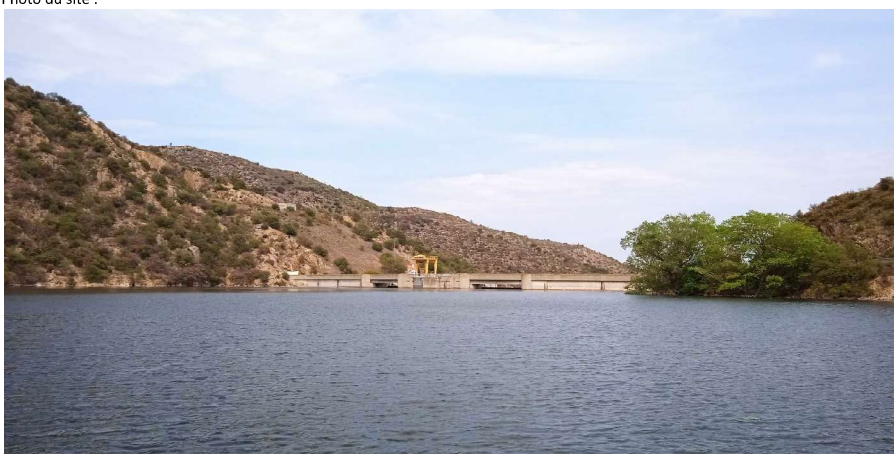
LOCALISATION PLAN D'EAU

Commune : Vinça (66) Type : A6b
 Lac marrant : oui retenues de basse altitude, non calcaires, profondes
 Temps de séjour : 32 jours
 Superficie du plan d'eau : 155 ha
 Profondeur maximale : 36 m

Carte (extrait IGN)



Photo du site :



Relevé phytoplanctonique et physico-chimique en plan d'eau

DONNEES GENERALES PLAN D'EAU

Plan d'eau : **Vinça** Date : 13/05/24
 Types (naturel, artificiel ...) : Naturel Code lac : Y0455043
 Organisme / opérateur : STE : Aurélien Morin & Alexandre Pot
 Organisme demandeur : Agence de l'Eau RMC Campagne : 2
 Marché n° : 200000017
 Page 2/6

STATION

Coordonnée de la station : Système de Géolocalisation Portable Carte IGN
 Lambert 93 : X : 662376 Y : 6173109 alt. : 244 m
 WGS 84 (syst.international GPS °'') : 2°32'30.2"E 42°39'23.9"N
 Profondeur mesurée : **32.8 m** Disque Secchi : **4.4 m**
 Météo : 1- temps sec ensoleillé 2- faiblement nuageux
 4- pluie fine 5- orage-pluie forte
 7- gel 8- fortement nuageux
 Patm. : 981 hPa
 Vent : 0- nul 1- faible 2- moyen 3- fort
 Conditions d'observation : Surface de l'eau : 1- lisse 2- faiblement agitée 3- agitée 4- très agitée
 Hauteur de vagues : 0 m
 Bloom algal : **OUI**
 Marnage : **OUI** Hauteur de bande : **0.5 m** Côte échelle : 243.6 m

Campagne	2	Campagne printanière de croissance du phytoplancton : mise en place de la thermocline
----------	----------	---

REMARQUES ET OBSERVATIONS

Contact préalable :
 BRL Exploitation
 DDTM Pyrénées-Orientales

Observation :
 Réchauffement de la colonne d'eau (12,3 à 17,3°C, contre 9,4 à 12,2°C mi-mars).
 pH alcalin en surface (8,6 u pH). Il diminue ensuite légèrement avec la profondeur (7,9 u pH au fond).
 Faible minéralisation (112 à 126 µS/cm à 25°C).
 Légère sursaturation en oxygène en surface (115 %sat), puis oxygénéation optimale jusqu'à 5,5 m de profondeur. Désoxygénéation progressive ensuite ; le fond de la masse d'eau est saturé à 82 %.
 Teneur en chlorophylle de 4,1 µg/l en surface (bloom => eaux verdâtres). Les teneurs en chlorophylle sont très faibles sur le reste de la colonne d'eau.

Remarques :
 Livraison 48h.
 Léger bloom algal.

Relevé phytoplanctonique et physico-chimique en plan d'eau

DONNEES GENERALES PLAN D'EAU

Plan d'eau : **Vinça**
 Types (naturel, artificiel ...) : Naturel
 Organisme / opérateur : STE : Aurélien Morin & Alexandre Pot
 Organisme demandeur : Agence de l'Eau RMC

Date : 13/05/24
 Code lac : Y0455043
Campagne : 2
 Marché n° : 200000017
 Page 3/6

PRELEVEMENTS ZONE EUPHOTIQUE

Prélèvement pour analyses physico-chimiques et phytoplancton

OUI

Organisme/opérateur : STE
 Heure de relevé : 16:30
 Profondeur : 0 à 11 m
 Volume prélevé : 7 L
 Nbre prélèvements : 10
 Matériel employé : Tuyau intégrateur 15 m
 Chlorophylle : **OUI**
 Phytoplancton : **OUI** Ajout de lugol : 5 ml

Prélèvement pour analyses micropolluants

OUI

Heure de relevé : 16:00
 Profondeur : 0 à 11 m
 Prélèvement : 1 prélèvement tous les 1 m
 Nbre prélèvements : 11
 Volume prélevé : 13.2 L
 Matériel employé : Bouteille téflon 1,2L

PRELEVEMENTS DE FOND

OUI

Prélèvement pour analyses physico-chimiques et micropolluants

Heure de relevé : 15:40
 Profondeur : 31 m
 Nbre prélèvements : 6
 Volume prélevé : 15 L
 Matériel employé : Bouteille téflon 2,5 L

Remarques prélèvement :

RAS

REMISE DES ECHANTILLONS

Code prélèvement ZE : 869419 Bon de transport : 
 Code prélèvement de fond : 869447 Bon de transport : 

Dépôt : TNT Chronopost CARSO Ville : Perpignan
 Date : 13/05/24 Heure : 17:45
 Réception au laboratoire le : 15/05/24

Relevé phytoplanctonique et physico-chimique en plan d'eau

DONNEES PHYSICO-CHIMIQUES

Plan d'eau : **Vinça**
 Types (naturel, artificiel ...) : Naturel
 Organisme / opérateur : STE : Aurélien Morin & Alexandre Pot
 Organisme demandeur : Agence de l'Eau RMC

Date : 13/05/24
 Code lac : Y0455043
Campagne : 2
 Marché n° : 200000017
 Page 4/6

TRANSPARENCE

Disque Secchi = **4.4 m** Zone euphotique (x 2,5 secchi) = **11 m**

PROFIL VERTICAL

Moyen de mesure utilisé : *in-situ* à chaque profondeur en surface dans un récipient

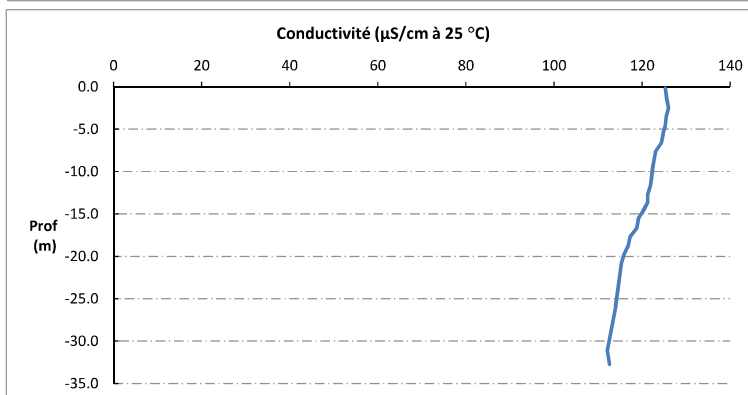
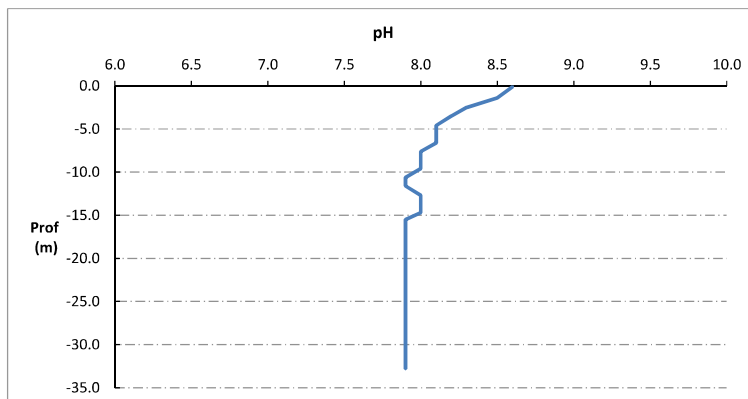
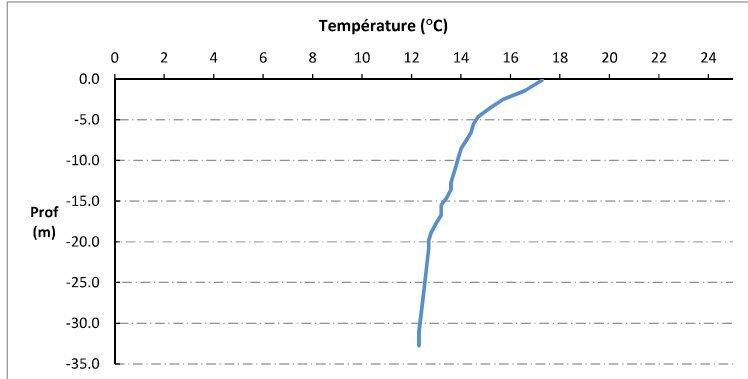
Type de pvt	Prof. (m)	Temp (°C)	pH	Cond. (µS/cm 25°)	O2 (%)	O2 (mg/l)	Chloro a µg/l	Heure
Pvt zone euphotique	-0.1	17.3	8.6	125	115	10.6	4.1	15:40
	-1.4	16.6	8.5	126	112	10.5	0.9	
	-2.5	15.7	8.3	126	106	10.1	0.1	
	-3.5	15.2	8.2	126	103	10.0	0.0	
	-4.6	14.7	8.1	125	100	9.8	0.0	
	-5.5	14.5	8.1	125	99	9.7	0.0	
	-6.6	14.4	8.1	124	98	9.7	0.0	
	-7.6	14.2	8.0	123	97	9.6	0.0	
	-8.6	14.0	8.0	123	96	9.5	0.0	
	-9.6	13.9	8.0	122	94	9.4	0.0	
	-10.6	13.8	7.9	122	94	9.4	0.0	
	-11.6	13.7	7.9	122	93	9.4	0.0	
	-12.7	13.6	8.0	121	93	9.3	0.0	
	-13.6	13.6	8.0	121	93	9.3	0.0	
	-14.7	13.4	8.0	120	92	9.3	0.0	
	-15.5	13.2	7.9	119	91	9.2	0.0	
	-16.7	13.2	7.9	119	91	9.2	0.1	
	-17.7	13.0	7.9	117	90	9.2	0.1	
	-18.8	12.8	7.9	117	90	9.2	0.1	
	-19.8	12.7	7.9	116	89	9.1	0.1	
	-20.8	12.7	7.9	115	89	9.1	0.1	
	-26.0	12.5	7.9	114	88	9.1	0.3	
	-31.1	12.3	7.9	112	86	8.9	0.2	
	-32.8	12.3	7.9	113	82	8.5		

Relevé phytoplanctonique et physico-chimique en plan d'eau

DONNEES PHYSICO-CHIMIQUES / GRAPHIQUE

Plan d'eau : **Vinça**
 Types (naturel, artificiel ...) : Naturel
 Organisme / opérateur : STE : Aurélien Morin & Alexandre Pot
 Organisme demandeur : Agence de l'Eau RMC

Date : 13/05/24
 Code lac : Y0455043
 Campagne : 2
 Marché n° : 200000017
 Page 5/6

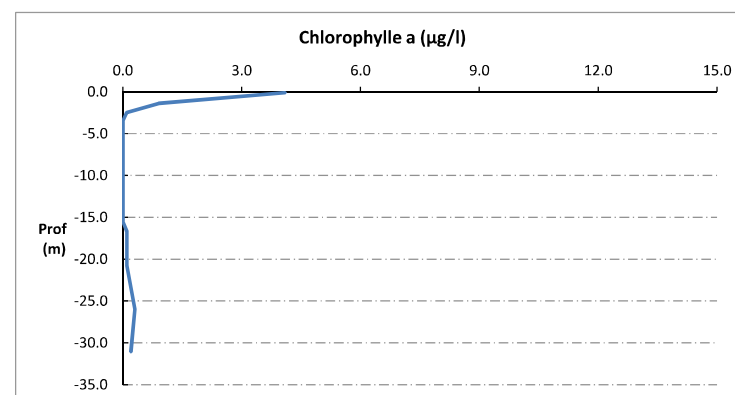
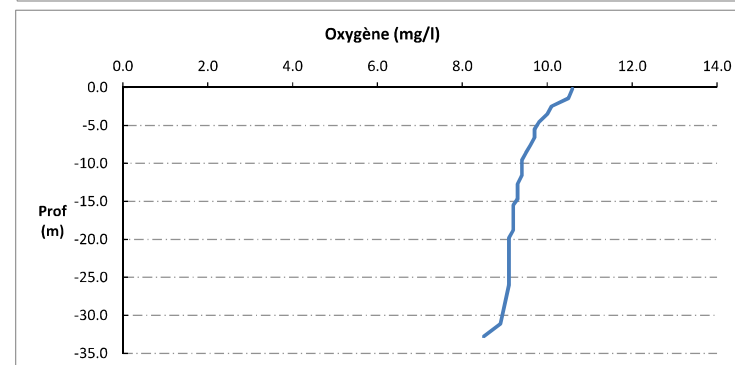
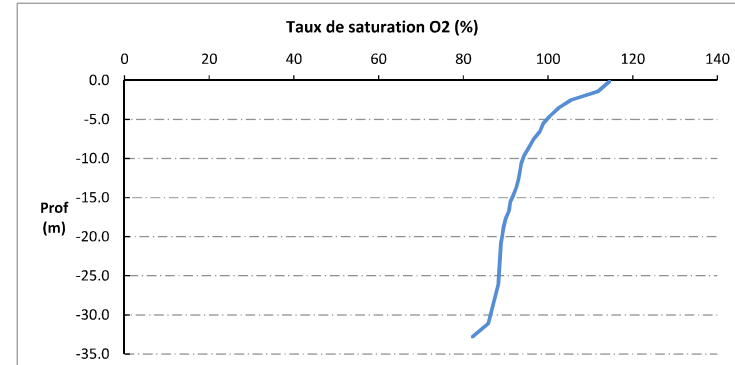


Relevé phytoplanctonique et physico-chimique en plan d'eau

DONNEES PHYSICO-CHIMIQUES / GRAPHIQUE

Plan d'eau : **Vinça**
 Types (naturel, artificiel ...) : Naturel
 Organisme / opérateur : STE : Aurélien Morin & Alexandre Pot
 Organisme demandeur : Agence de l'Eau RMC

Date : 13/05/24
 Code lac : Y0455043
 Campagne : 2
 Marché n° : 200000017
 Page 6/6



Relevé phytoplanctonique et physico-chimique en plan d'eau

DONNEES GENERALES PLAN D'EAU

Plan d'eau : **Vinça** Date : 30/07/2024
 Types (naturel, artificiel ...) : Naturel Code lac : Y0455043
 Organisme / opérateur : STE : Marthe Moiron & Coline Costel Campagne : 3
 Organisme demandeur : Agence de l'Eau RMC Marché n° : 200000017
 Page 1/6

LOCALISATION PLAN D'EAU

Commune : Vinça (66) Type : A6b
 Lac marrant : oui retenues de basse altitude, non calcaires, profondes
 Temps de séjour : 32 jours
 Superficie du plan d'eau : 155 ha
 Profondeur maximale : 36 m

Carte (extrait IGN)



Angle de prise de vue

STATION

Photo du site :



Relevé phytoplanctonique et physico-chimique en plan d'eau

DONNEES GENERALES PLAN D'EAU

Plan d'eau : **Vinça** Date : 30/07/24
 Types (naturel, artificiel ...) : Naturel Code lac : Y0455043
 Organisme / opérateur : STE : Marthe Moiron & Coline Costel Campagne : 3
 Organisme demandeur : Agence de l'Eau RMC Marché n° : 200000017
 Page 2/6

STATION

Coordonnée de la station : Système de Géolocalisation Portable Carte IGN

Lambert 93 : X : 662369 Y : 6173099 alt. : 244 m

WGS 84 (syst.internationnal GPS ° ' ") : 2°32'29.8"E 42°39'23.6"N

Profondeur mesurée : **26.3 m**

Disque Secchi : **2 m**

Météo : 1- temps sec ensoleillé 2- faiblement nuageux
 4- pluie fine 5- orage-pluie forte
 7- gel 8- fortement nuageux
 3- temps humide 6- neige

P atm. : 986 hPa

Vent : 0- nul 1- faible 2- moyen 3- fort

Conditions d'observation : Surface de l'eau : 1- lisse 2- faiblement agitée 3- agitée 4- très agitée

Hauteur de vagues : 0.05 m

Bloom algal : **OUI**

Marnage : **OUI** Hauteur de bande : **6.7 m** Côte échelle : **237.3 m**

Campagne	3	Campagne estivale : thermocline bien installée, deuxième phase de croissance des phytoplanctons
-----------------	----------	--

REMARQUES ET OBSERVATIONS

Contact préalable :

BRL Exploitation
 DDTM Pyrénées-Orientales

Observation :

Réchauffement important des eaux (27,2°C, contre 17,3°C fin mai).
 pH très alcalin en surface (9,6 u pH) : Bloom algal. Il diminue ensuite avec la profondeur (7,2 u pH au fond).
 Minéralisation homogène (\approx 150 μ S/cm à 25°C).

Importante sursaturation en oxygène sur les trois premiers mètres de colonne d'eau (135-140 %sat), puis désoxygénéation progressive dès -4,5 m environ (79 %sat). Le fond de la masse d'eau est anoxique (5 %sat et 0,4 mg/l).

Teneur en chlorophylle maximale de 10-12,7 μ g/l entre 2,5 et 3,5 m de profondeur. Le bloom apparaît moins développé que fin mai. Les teneurs en chlorophylle sont plus faibles sur le reste de la colonne d'eau (2,5 à 6 μ g/l).

Remarques :

Bloom algal - eaux bien vertes. le destockage du plan d'eau a déjà bien commencé.

Relevé phytoplanctonique et physico-chimique en plan d'eau

DONNEES GENERALES PLAN D'EAU

Plan d'eau : **Vinça**
 Types (naturel, artificiel ...) : Naturel
 Organisme / opérateur : STE : Marthe Moiron & Coline Costel
 Organisme demandeur : Agence de l'Eau RMC

Date : 30/07/24
 Code lac : Y0455043
 Campagne : 3
 Marché n° : 200000017
 Page 3/6

PRELEVEMENTS ZONE EUPHOTIQUE

Prélèvement pour analyses physico-chimiques et phytoplancton

OUI

Organisme/opérateur : STE
 Heure de relevé : 14:30
 Profondeur : 0 à 5 m
 Nbre prélèvements : 7
 Volume prélevé : 7 L
 Matériel employé : Tuyau intégrateur 10 m
 Chlorophylle : OUI
 Phytoplancton : OUI Ajout de lugol : 5 ml

Prélèvement pour analyses micropolluants

OUI

Heure de relevé : 14:30
 Profondeur : 0 à 5 m
 Prélèvement : 1 tous les 0,5 m
 Nbre prélèvements : 10
 Volume prélevé : 12 L
 Matériel employé : Bouteille téflon 1,2L

PRELEVEMENTS DE FOND

OUI

Prélèvement pour analyses physico-chimiques et micropolluants

Heure de relevé : 14:00
 Profondeur : 24 m
 Volume prélevé : 15 L
 Nbre prélèvements : 6
 Matériel employé : Bouteille téflon 2,5 L

Remarques prélèvement :

RAS

REMISE DES ECHANTILLONS

Code prélèvement ZE : 869420 Bon de transport : 6919057007226188
 Code prélèvement de fond : 869448 Bon de transport : 6919057007220653

Dépôt : TNT Chronopost CARSO Ville : Perpignan
 Date : 30/07/24 Heure : 16:00
 Réception au laboratoire le : 31/07/24

Relevé phytoplanctonique et physico-chimique en plan d'eau

DONNEES PHYSICO-CHIMIQUES

Plan d'eau : **Vinça**
 Types (naturel, artificiel ...) : Naturel
 Organisme / opérateur : STE : Marthe Moiron & Coline Costel
 Organisme demandeur : Agence de l'Eau RMC

Date : 30/07/24
 Code lac : Y0455043
 Campagne : 3
 Marché n° : 200000017
 Page 4/6

TRANSPARENCE

Disque Secchi = **2 m** Zone euphotique (x 2,5 secchi) = **5 m**

PROFIL VERTICAL

Moyen de mesure utilisé : in-situ à chaque profondeur en surface dans un récipient

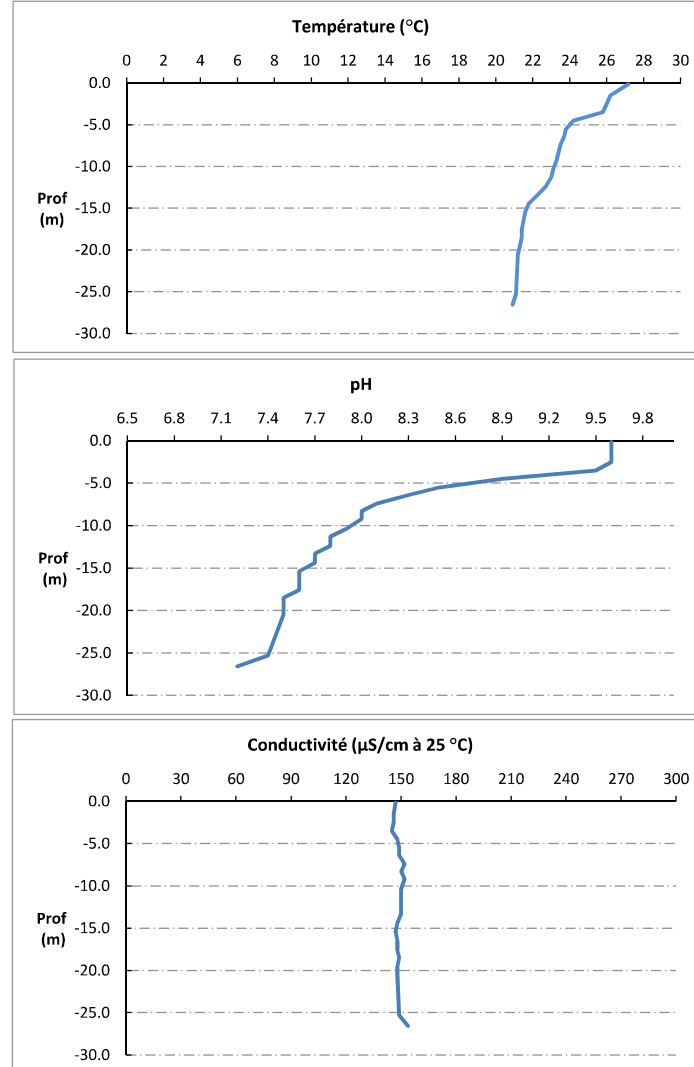
Type de pvt	Prof. (m)	Temp. (°C)	pH	Cond. (µS/cm 25°)	O2 (%)	O2 (mg/l)	Chloro a µg/l	Heure
Plvt zone euphotique	-0.1	27.2	9.6	147	134	10.4	1.8	14:00
	-1.5	26.2	9.6	146	140	11.0	4.4	
	-2.5	26.0	9.6	146	141	11.2	12.7	
	-3.5	25.8	9.5	145	134	10.7	10.5	
	-4.5	24.2	8.9	148	79	6.5	6.4	
	-5.5	23.8	8.5	149	58	4.7	4.6	
	-6.4	23.7	8.3	149	50	4.1	6.3	
	-7.4	23.5	8.1	152	46	3.8	5.1	
	-8.3	23.4	8.0	150	41	3.4	2.7	
	-9.2	23.3	8.0	152	40	3.3	3.7	
	-10.4	23.1	7.9	150	35	2.9	3.3	
	-11.3	23.0	7.8	150	32	2.7	2.8	
	-12.4	22.7	7.8	150	28	2.3	2.9	
	-13.3	22.3	7.7	150	24	2.0	2.1	
	-14.4	21.8	7.7	148	17	1.5	1.5	
	-15.4	21.6	7.6	147	15	1.2	0.8	
	-16.5	21.5	7.6	148	13	1.1	0.6	
	-17.6	21.4	7.6	148	11	1.0	0.5	
	-18.5	21.4	7.5	149	10	0.8	0.4	
	-19.6	21.3	7.5	148	8	0.7	0.5	
	-20.5	21.2	7.5	148	6	0.6	0.4	
	-25.3	21.1	7.4	149	6	0.5	0.6	
	-26.6	20.9	7.2	154	5	0.4		

Relevé phytoplanctonique et physico-chimique en plan d'eau

DONNEES PHYSICO-CHIMIQUES / GRAPHIQUE

Plan d'eau : **Vinça** Date : 30/07/24
 Types (naturel, artificiel ...) : Naturel Code lac : Y0455043
 Organisme / opérateur : STE : Marthe Moiron & Coline Costel Campagne : 3
 Organisme demandeur : Agence de l'Eau RMC Marché n° : 2000000017

Page 5/6

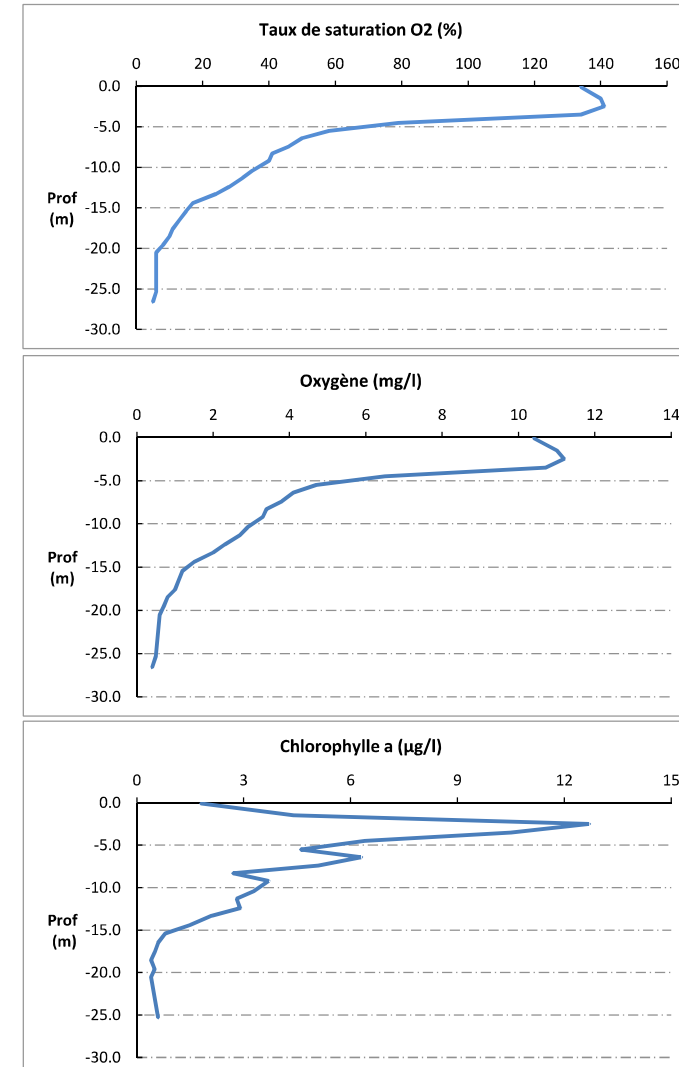


Relevé phytoplanctonique et physico-chimique en plan d'eau

DONNEES PHYSICO-CHIMIQUES / GRAPHIQUE

Plan d'eau : **Vinça** Date : 30/07/24
 Types (naturel, artificiel ...) : Naturel Code lac : Y0455043
 Organisme / opérateur : STE : Marthe Moiron & Coline Costel Campagne : 3
 Organisme demandeur : Agence de l'Eau RMC Marché n° : 2000000017

Page 6/6



Relevé phytoplanctonique et physico-chimique en plan d'eau

DONNEES GENERALES PLAN D'EAU

Plan d'eau : **Vinça**
 Types (naturel, artificiel ...) : Naturel
 Organisme / opérateur : STE : Marthe Moiron & Coline Costel
 Organisme demandeur : Agence de l'Eau RMC

Date : 25/09/2024
 Code lac : Y0455043
 Campagne : 4
 Marché n° : 200000017
 Page 1/7

LOCALISATION PLAN D'EAU

Commune : Vinça (66) Type : A6b
 Lac marrant : oui retenues de basse altitude, non calcaires, profondes
 Temps de séjour : 32 jours
 Superficie du plan d'eau : 155 ha
 Profondeur maximale : 36 m

Carte (extrait IGN)



Angle de prise de vue

Photo du site :



Relevé phytoplanctonique et physico-chimique en plan d'eau

DONNEES GENERALES PLAN D'EAU

Plan d'eau : **Vinça**
 Types (naturel, artificiel ...) : Naturel
 Organisme / opérateur : STE : Marthe Moiron & Coline Costel
 Organisme demandeur : Agence de l'Eau RMC

Date : 25/09/24
 Code lac : Y0455043
 Campagne : 4
 Marché n° : 200000017
 Page 2/7

STATION

Coordonnée de la station : Système de Géolocalisation Portable Carte IGN
 Lambert 93 : X : 662377 Y : 6173101 alt. : 244 m
 WGS 84 (syst.international GPS " "): 2°32'30.2"E 42°39'23.7"N

Profondeur mesurée : **14.4 m**

Disque Secchi : **1.4 m**

Météo : 1- temps sec ensoleillé 2- faiblement nuageux 3- temps humide
 4- pluie fine 5- orage-pluie forte 6- neige
 7- gel 8- fortement nuageux

Patm. : 1007 hPa

Vent : 0- nul 1- faible 2- moyen 3- fort

Conditions d'observation :
 Surface de l'eau : 1- lisse 2- faiblement agitée 3- agitée 4- très agitée

Hauteur de vagues : 0 m

Bloom algal : **OUI**

Marnage : **OUI** Hauteur de bande : **18.3 m** Côte échelle : **225.7 m**

Campagne	4	Campagne de fin d'été : fin de stratification avant baisse de la température
----------	----------	--

REMARQUES ET OBSERVATIONS

Contact préalable :
 BRL Exploitation
 DDTM Pyrénées-Orientales

Observation :
 Destockage important de la retenue : -18 m. la profondeur maximale est de 14 m seulement contre 36 m théorique brassage de la masse d'eau. Colonne d'eau homogène thermiquement (18°C). Réoxygénéation de la colonne d'eau. L'oxygénéation est quasi optimale en surface (98%sat). La désoxygénéation est progressive et le fond est saturé à 73%. Teneurs en chlorophylle comprises entre 4 et 9 µg/l.

Remarques :
 Bloom algal (flocs en surface) - Le niveau de la retenue est très bas.



Relevé phytoplanctonique et physico-chimique en plan d'eau

DONNEES GENERALES PLAN D'EAU

Plan d'eau : **Vinça**
 Types (naturel, artificiel ...) : Naturel
 Organisme / opérateur : STE : Marthe Moiron & Coline Costel
 Organisme demandeur : Agence de l'Eau RMC

Date : 25/09/24
 Code lac : Y0455043
 Campagne : 4
 Marché n° : 200000017
 Page 3/7

PRELEVEMENTS ZONE EUPHOTIQUE

Prélèvement pour analyses physico-chimiques et phytoplancton

OUI

Organisme/opérateur : STE
 Heure de relevé : 8:50
 Profondeur : 0 à 3.5 m
 Nbre prélèvements : 9
 Volume prélevé : 7 L
 Matériel employé : Tuyau intégrateur 10 m
 Chlorophylle : OUI
 Phytoplancton : OUI Ajout de lugol : 5 ml

Prélèvement pour analyses micropolluants

OUI

Heure de relevé : 8:50
 Profondeur : 0 à 3.5 m
 Prélèvement : 2 prélèvements tous les 0.5m
 Nbre prélèvements : 14
 Volume prélevé : 16.8 L
 Matériel employé : Bouteille téflon 1,2L

PRELEVEMENTS DE FOND

Prélèvement pour analyses physico-chimiques et micropolluants

OUI

Heure de relevé : 8:30
 Profondeur : 12 m
 Nbre prélèvements : 6
 Volume prélevé : 15 L
 Matériel employé : Bouteille téflon 2,5 L

Remarques prélèvement :

RAS

REMISE DES ECHANTILLONS

Code prélèvement ZE : 869421 Bon de transport : 6919057007687348
 Code prélèvement de fond : 869449 Bon de transport : 6919057007687365

Dépôt : TNT Chronopost
 Date : 25/09/24
 Réception au laboratoire le : 26/09/24

CARSO Ville : Perpignan

Heure : 16:20

Relevé phytoplanctonique et physico-chimique en plan d'eau

DONNEES PHYSICO-CHIMIQUES

Plan d'eau : **Vinça**
 Types (naturel, artificiel ...) : Naturel
 Organisme / opérateur : STE : Marthe Moiron & Coline Costel
 Organisme demandeur : Agence de l'Eau RMC

Date : 25/09/24
 Code lac : Y0455043
 Campagne : 4
 Marché n° : 200000017
 Page 4/7

TRANSPARENCE

Disque Secchi =

1.4 m

Zone euphotique (x 2,5 secchi) =

3.5 m

PROFIL VERTICAL

Moyen de mesure utilisé : in-situ à chaque profondeur en surface dans un récipient

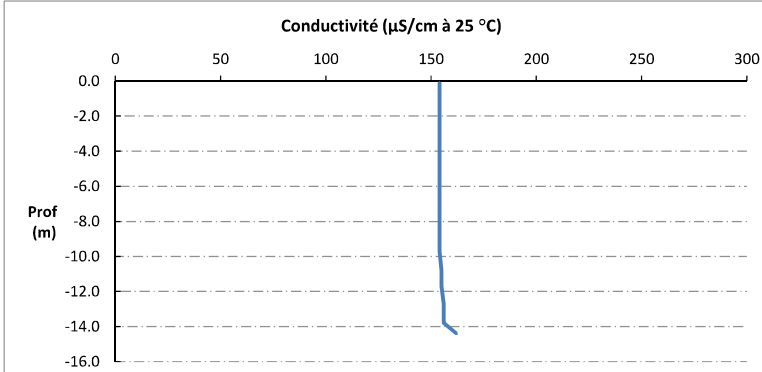
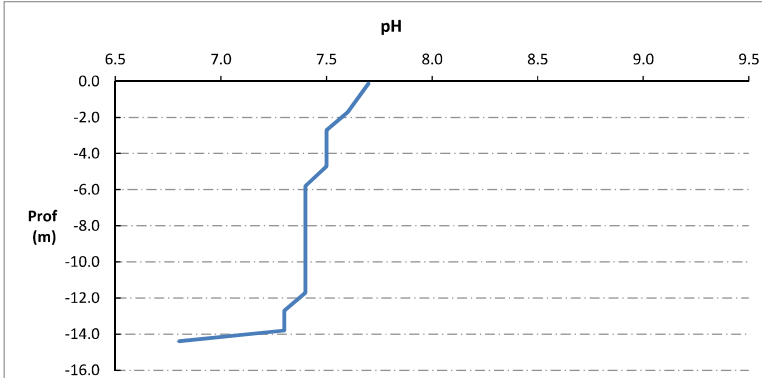
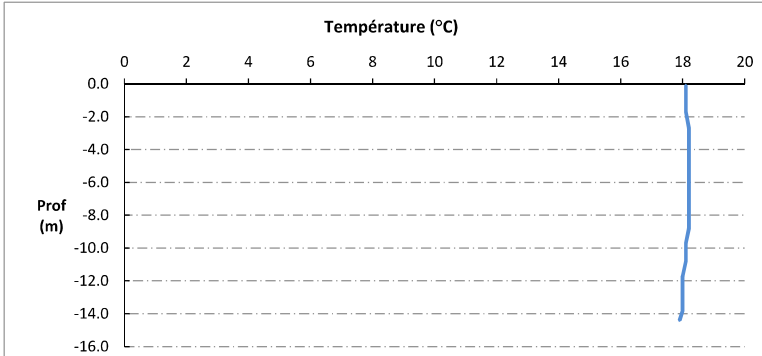
Type de pvt	Prof. (m)	Temp. (°C)	pH	Cond. (µs/cm 25°)	O2 (%)	O2 (mg/l)	Chloro a µg/l	Heure
Pvt zone euphotique	-0.1	18.1	7.7	154	98	9.5	7.5	8:30
	1.7	18.1	7.6	154	97	9.4	7.2	
	-2.7	18.2	7.5	154	93	8.9	7.3	
	-3.6	18.2	7.5	154	92	8.9	7.9	
	-4.7	18.2	7.5	154	92	8.8	7.5	
	-5.8	18.2	7.4	154	91	8.8	7.2	
	-6.8	18.2	7.4	154	91	8.8	9.0	
	-7.7	18.2	7.4	154	91	8.7	8.6	
	-8.8	18.2	7.4	154	90	8.7	7.4	
	-9.7	18.1	7.4	154	89	8.6	4.7	
	-10.8	18.1	7.4	155	86	8.3	6.2	
	-11.7	18.0	7.4	155	83	8.1	6.1	
	-12.7	18.0	7.3	156	83	8.0	6.6	
	-13.8	18.0	7.3	156	82	7.9	7.7	
	-14.4	17.9	6.8	162	73	7.0		

Relevé phytoplanctonique et physico-chimique en plan d'eau

DONNEES PHYSICO-CHIMIQUES / GRAPHIQUE

Plan d'eau : **Vinça** Date : 25/09/24
 Types (naturel, artificiel ...) : Naturel Code lac : Y0455043
 Organisme / opérateur : STE : Marthe Moiron & Coline Costel
 Organisme demandeur : Agence de l'Eau RMC Campagne : 4
 Marché n° : 200000017

Page 5/7

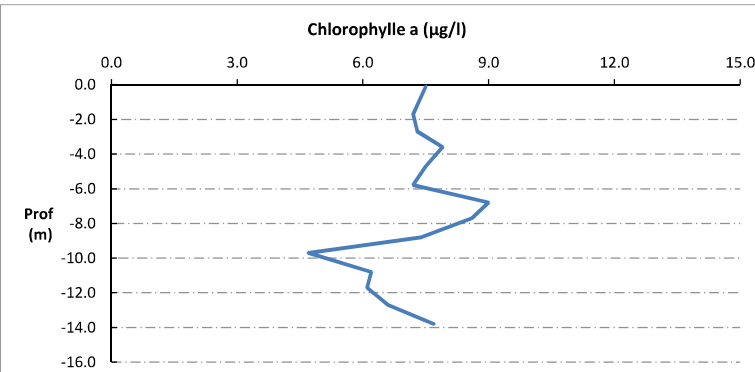
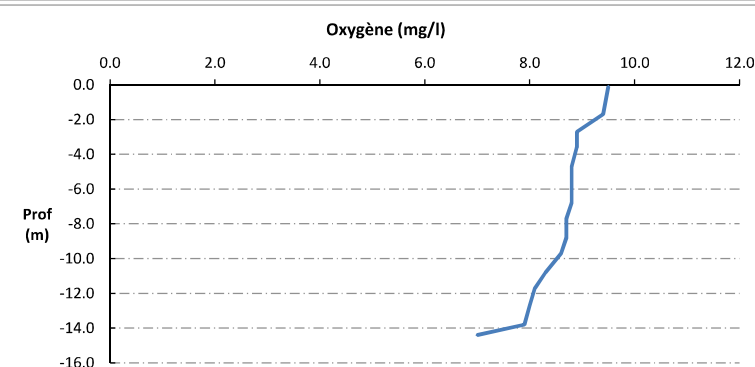
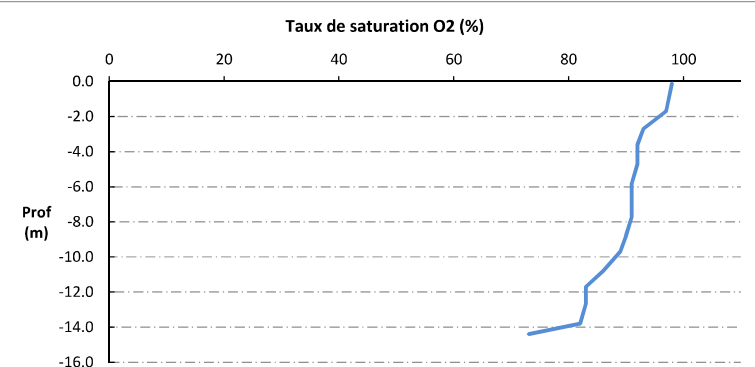


Relevé phytoplanctonique et physico-chimique en plan d'eau

DONNEES PHYSICO-CHIMIQUES / GRAPHIQUE

Plan d'eau : **Vinça** Date : 25/09/24
 Types (naturel, artificiel ...) : Naturel Code lac : Y0455043
 Organisme / opérateur : STE : Marthe Moiron & Coline Costel
 Organisme demandeur : Agence de l'Eau RMC Campagne : 4
 Marché n° : 200000017

Page 6/7



Prélèvement de sédiments pour analyses physico-chimiques

Plan d'eau : **Vinça** Date : **25/09/24**
 Types (naturel, artificiel ...) : **Naturel** Code lac : **Y0455043**
 Organisme / opérateur : **STE : Marthe Moiron & Coline Costel** Campagne : **4**
 Organisme demandeur : **Agence de l'Eau RMC** Marché n° : **200000017**
 Page **7/7**

CONDITIONS DU MILIEU

Météo	<input checked="" type="checkbox"/> 1- Temps sec ensoleillé	<input type="checkbox"/> 4- Pluie fine	<input type="checkbox"/> 7- Gel	
	<input type="checkbox"/> 2- Faiblement nuageux	<input type="checkbox"/> 5- Orage-pluie forte	<input type="checkbox"/> 8- Fortement nuageux	
	<input type="checkbox"/> 3- Temps humide	<input type="checkbox"/> 6- Neige		
Vent :	<input checked="" type="checkbox"/> 0- Nul	<input type="checkbox"/> 2- Moyen	<input type="checkbox"/> 4- Brise	
	<input type="checkbox"/> 1- Faible	<input type="checkbox"/> 3- Fort	<input type="checkbox"/> 5- Brise modérée	
Surface de l'eau :	<input checked="" type="checkbox"/> 1- Lisse	<input type="checkbox"/> 2- Faiblement agitée	<input type="checkbox"/> 3- Agitée	<input type="checkbox"/> 4- Très agitée

Période estimée favorable à :

- Mort et sédimentation du plancton
- Sédimentation de MES de toute nature

MATERIEL

Benne Ekmann Pelle à main Autre :

PRELEVEMENTS

Localisation générale de la zone de prélèvement (X, Y Lambert 93)

(correspond au point de plus grande profondeur de C4)

X : **662377**

Y : **6173101**

Pélèvements	1	2	3	4	5
Profondeur (en m)	14.4	14.4	14.4		
Epaisseur échantillonnée					
Récents (< 2cm)	X	X	X		
Anciens (> 2cm)					
Granulométrie dominante					
Graviers					
Sables					
Limons	X	X	X		
Vases	X	X	X		
Argiles					
Aspect du sédiments					
Homogène	X	X	X		
Hétérogène					
Couleur	NOIR	NOIR	NOIR		
Odeur	NON	NON	NON		
Présence de débris végétaux non décomposés					
NON	NON	NON			
Présence d'hydrocarbures					
NON	NON	NON			
Présence d'autres débris					
NON	NON	NON			

REMISE DES ECHANTILLONS

Bon de transport : **XY117206324**

Chrono LDA 26
 Dépôt : Date : **25/09/24** Ville : **Perpignan**
 Réception au laboratoire le : **26/09/24** Heure : **17:00**

6.4 Annexe 4 : Compte rendus campagne IML

Description des prélèvements réalisés																																																																																																																							
Nom du lac :	Vinça																																																																																																																						
Code lac :	Y0455043																																																																																																																						
Opérateurs :	Aurélien Morin et Coline Costel																																																																																																																						
Date :	28/05/2024																																																																																																																						
CONDITIONS DE PRELEVEMENT																																																																																																																							
<u>Météo :</u>	ensoleillé	<input checked="" type="checkbox"/>																																																																																																																					
	fai. ^t nuageux	<input type="checkbox"/>																																																																																																																					
	humide	<input type="checkbox"/>																																																																																																																					
	pluie fine	<input type="checkbox"/>																																																																																																																					
	orage	<input type="checkbox"/>																																																																																																																					
	fort. ^t nuageux	<input type="checkbox"/>																																																																																																																					
	crépuscule	<input type="checkbox"/>																																																																																																																					
<u>Lépidité :</u>	Limpide	<input type="checkbox"/>																																																																																																																					
	Trouble +	<input checked="" type="checkbox"/>																																																																																																																					
	Trouble ++	<input type="checkbox"/>																																																																																																																					
<u>Visibilité du substrat :</u>	Bonne	<input type="checkbox"/>																																																																																																																					
	Moyenne	<input checked="" type="checkbox"/>																																																																																																																					
	Faible	<input type="checkbox"/>																																																																																																																					
	Non visible	<input type="checkbox"/>																																																																																																																					
<u>Signes d'émergence :</u>	oui	<input type="checkbox"/>																																																																																																																					
	non	<input checked="" type="checkbox"/>																																																																																																																					
<u>Marnage :</u>	oui	<input checked="" type="checkbox"/>																																																																																																																					
	non	<input type="checkbox"/>																																																																																																																					
si oui h estim. :	0,4																																																																																																																						
cote (en m) :	243,7																																																																																																																						
si connue																																																																																																																							
Remarques :																																																																																																																							
Important bloom algal - eaux très vertes. le plan d'eau a atteint sa cote normale depuis une vingtaine de jours T° surface =17°C																																																																																																																							
<table border="1"> <thead> <tr> <th>Echantillon</th> <th>Sub. théorique</th> <th>Sub. observé</th> <th>Profondeur (m)</th> <th>Coord. X (L93)</th> <th>Coord. Y (L93)</th> <th>Commentaires / obs.</th> </tr> </thead> <tbody> <tr><td>1</td><td>GA</td><td>GA</td><td>0,5</td><td>662538</td><td>6172910</td><td></td></tr> <tr><td>2</td><td>SL</td><td>SL</td><td>0,5</td><td>662143</td><td>6172569</td><td></td></tr> <tr><td>3</td><td>BD</td><td>BD</td><td>1</td><td>661573</td><td>6172413</td><td></td></tr> <tr><td>4</td><td>BD</td><td>BD</td><td>0,5</td><td>661085</td><td>6172210</td><td></td></tr> <tr><td>5</td><td>SL</td><td>SL</td><td>0,5</td><td>660689</td><td>6172074</td><td></td></tr> <tr><td>6</td><td>GA</td><td>GA</td><td>0,8</td><td>660594</td><td>6172374</td><td></td></tr> <tr><td>7</td><td>SL</td><td>SL</td><td>0,5</td><td>660199</td><td>6172192</td><td></td></tr> <tr><td>8</td><td>SL</td><td>SL</td><td>1</td><td>659801</td><td>6171794</td><td></td></tr> <tr><td>9</td><td>SL</td><td>SL</td><td>0,6</td><td>658936</td><td>6171915</td><td></td></tr> <tr><td>10</td><td>SL</td><td>SL</td><td>0,7</td><td>658625</td><td>6172073</td><td></td></tr> <tr><td>11</td><td>SL</td><td>SL</td><td>1</td><td>658974</td><td>6172172</td><td></td></tr> <tr><td>12</td><td>SL</td><td>SL</td><td>0,6</td><td>659686</td><td>6172339</td><td></td></tr> <tr><td>13</td><td>BD</td><td>BD</td><td>0,7</td><td>660215</td><td>6172567</td><td></td></tr> <tr><td>14</td><td>SL</td><td>BD</td><td>0,8</td><td>660799</td><td>6172678</td><td>substrat dalle à la place de galets</td></tr> <tr><td>15</td><td>BD</td><td>BD</td><td>1</td><td>661513</td><td>6172870</td><td></td></tr> </tbody> </table>								Echantillon	Sub. théorique	Sub. observé	Profondeur (m)	Coord. X (L93)	Coord. Y (L93)	Commentaires / obs.	1	GA	GA	0,5	662538	6172910		2	SL	SL	0,5	662143	6172569		3	BD	BD	1	661573	6172413		4	BD	BD	0,5	661085	6172210		5	SL	SL	0,5	660689	6172074		6	GA	GA	0,8	660594	6172374		7	SL	SL	0,5	660199	6172192		8	SL	SL	1	659801	6171794		9	SL	SL	0,6	658936	6171915		10	SL	SL	0,7	658625	6172073		11	SL	SL	1	658974	6172172		12	SL	SL	0,6	659686	6172339		13	BD	BD	0,7	660215	6172567		14	SL	BD	0,8	660799	6172678	substrat dalle à la place de galets	15	BD	BD	1	661513	6172870	
Echantillon	Sub. théorique	Sub. observé	Profondeur (m)	Coord. X (L93)	Coord. Y (L93)	Commentaires / obs.																																																																																																																	
1	GA	GA	0,5	662538	6172910																																																																																																																		
2	SL	SL	0,5	662143	6172569																																																																																																																		
3	BD	BD	1	661573	6172413																																																																																																																		
4	BD	BD	0,5	661085	6172210																																																																																																																		
5	SL	SL	0,5	660689	6172074																																																																																																																		
6	GA	GA	0,8	660594	6172374																																																																																																																		
7	SL	SL	0,5	660199	6172192																																																																																																																		
8	SL	SL	1	659801	6171794																																																																																																																		
9	SL	SL	0,6	658936	6171915																																																																																																																		
10	SL	SL	0,7	658625	6172073																																																																																																																		
11	SL	SL	1	658974	6172172																																																																																																																		
12	SL	SL	0,6	659686	6172339																																																																																																																		
13	BD	BD	0,7	660215	6172567																																																																																																																		
14	SL	BD	0,8	660799	6172678	substrat dalle à la place de galets																																																																																																																	
15	BD	BD	1	661513	6172870																																																																																																																		

Légende substrats : VA = vase (<0.002mm); SL = sable (>2mm); GR = graviers (2mm-2cm); GA = galets (2-20cm) ; BD = bloc-dalle (>20cm)
HI = Hydrophytes immergés; HE = Hélophytes

Informations hydrologiques du plan d'eau

Region	Occitanie
Numero_Dept	66
Nom_Dept	Pyrénées Orientales
code_lac	Y0455043
Nom_Lac	Vinça
Typologie nationale DCE	Retenue profonde de basse altitude, non calcaire
Type Lac (Naturel, Artif., Reserv.)	Artificiel
Superficie (ha)	155
Profondeur max théorique (m)	46
Temps de séjour (j)	32
Altitude (m)	244
Cote maximale 2023-2024	243,99
Mois cote maximale 2023-2024	juil-23
Cote minimale 2023-2024	219,2
Mois cote minimale 2023-2024	janv-24
Cote jour du prélèvement (m)	243,7
Durée d'immersion permanente jour du prélèvement (j)	22 jours

